

# СПб ВШЭ, 3-й курс, весна 2025

## Конспект лекций по алгоритмам

Собрано 2 июня 2025 г. в 13:18

---

## Содержание

<b>1. FFT и его друзья</b>	<b>1</b>
1.1. FFT	1
1.1.1. Прелюдия	1
1.1.2. Собственно FFT	1
1.1.3. Крутая нерекурсивная реализация FFT	2
1.1.4. Обратное преобразование	2
1.1.5. Два в одном	3
1.1.6. Умножение чисел, оценка погрешности	3
1.2. Разделяй и властвуй	4
1.2.1. Перевод между системами счисления	4
1.2.2. Деление многочленов с остатком	4
1.2.3. Вычисление значений в произвольных точках	4
1.2.4. Интерполяция	5
1.2.5. Извлечение корня	5
1.3. Литература	5
<b>1. Действия над многочленами</b>	<b>5</b>
1.4. Над $\mathbb{F}_2$	6
1.5. Умножение многочленов	6
<b>2. Деление многочленов</b>	<b>8</b>
2.1. Быстрое деление многочленов	8
2.2. (*) Быстрое деление чисел	9
2.3. (*) Быстрое извлечение корня для чисел	9
2.4. (*) Обоснование метода Ньютона	9
2.5. Линейные рекуррентные соотношения	10
2.5.1. Через матрицу в степени	10
2.5.2. Через умножение многочленов	10
<b>2. Применение умножения многочленов</b>	<b>11</b>
2.6. Факторизация целых чисел	11
2.7. CRC-32	11
2.8. Кодирование бит с одной ошибкой	11
2.9. Коды Рида-Соломона	12
2.10. Применения FFT в комбинаторике	13
2.10.1. Покраска вершин графа в $k$ цветов	13
2.10.2. Счастливые билеты	13
2.10.3. 3-SUM	13
2.10.4. Применение к задаче о рюкзаке	13

2.10.5. (*) Сверхбыстрый рюкзак за $\tilde{O}(\sqrt{n}S)$	14
2.10.6. (*) Сверхбыстрый рюкзак за $\tilde{O}(n + S)$	14
2.11. Литература	14
<b>3. Автоматы</b>	<b>14</b>
3.1. Определения, детерминизация	15
3.2. Эквивалентность	15
3.3. Минимизация	16
3.4. Хопкрофт за $\mathcal{O}(VE)$	16
3.5. Хопкрофт за $\mathcal{O}(E \log V)$	17
3.6. Изоморфность	17
3.7. Литература	18
<b>4. Суффиксный автомат</b>	<b>18</b>
4.1. Введение, основные леммы	19
4.2. Алгоритм построения за линейное время	20
4.3. Реализация	20
4.4. Линейность размера автомата, линейность времени построения	21
4.5. Решение задач	21
4.5.1. LZSS за $\mathcal{O}(n)$	21
4.5.2. Общая подстрока $k$ строк	21
4.6. Связь автоматов и деревьев	23
4.7. Литература и история	23
<b>5. Линейное программирование</b>	<b>24</b>
5.1. Применение LP и ILP	24
5.2. Сложность задач LP и ILP	25
5.3. Нормальные формы задачи, сведения	25
5.4. Симплекс метод	25
5.4.1. Кошерный вид задачи	25
5.4.2. Поиск начального решения	25
5.4.3. Основной шаг оптимизации	26
5.5. Геометрия и алгебра симплекс-метода	26
5.6. Литература, полезные ссылки	26
5.7. Перебор базисных планов	27
5.8. Обучение перцептрона	27
5.9. Метод эллипсоидов (Хачаян'79)	27
5.10. Литература, полезные ссылки	29
<b>6. Суффиксный массив</b>	<b>30</b>
6.1. Сортировка строк	30
6.2. SA-IS за $\mathcal{O}(n)$	30
6.3. BWT и $\text{BWT}^{-1}$ за $\mathcal{O}(n)$	31
6.4. Поиск подстроки в строке и fm-index	32
6.4.1. fm-index	32
<b>7. Алгоритмы на графах</b>	<b>32</b>
7.1. Рёберная 3-связность за $\mathcal{O}(E)$	33

7.2. Алгоритм Эпштейна для $k$ -го пути . . . . .	34
7.3. Алгоритм двух Китайцев (Chu, Liu) . . . . .	35
7.4. Dynamic Graphs . . . . .	36
7.5. Dynamic Connectivity в ориентированном графе . . . . .	36
7.6. Dynamic Connectivity и MST в Offline . . . . .	37
7.7. Dynamic Connectivity Online . . . . .	38
7.8. Дерево доминаторов . . . . .	39
<b>8. Факторизация</b> . . . . .	<b>40</b>
8.1. Метод Крайчика . . . . .	40
8.2. Оценки времени, математическая часть . . . . .	41
8.3. Литература . . . . .	41
<b>9. Паросочетание в произвольном графе</b> . . . . .	<b>41</b>
9.1. Полезные данные из прошлого . . . . .	42
9.2. Алгоритм Эдмондса сжатия соцветий . . . . .	42
9.3. Реализация за $\mathcal{O}(V^3)$ . . . . .	43
9.4. Красивая простая реализация Эдмондса (Габов'1976) . . . . .	44
9.5. Оптимизации . . . . .	45
9.6. DSU и $\mathcal{O}(VE \cdot \alpha)$ . . . . .	45
9.7. Реализации через <code>dfs</code> . . . . .	45
9.8. Альтернативное понимание реализации . . . . .	46
9.9. Задача про чётный путь . . . . .	46
9.10. Литература, полезные ссылки . . . . .	47
9.11. Исторический экскурс . . . . .	47
<b>10. Геометрия</b> . . . . .	<b>48</b>
10.1. Локализация точки за $[\mathcal{O}(n), \mathcal{O}(\log n)]$ . . . . .	48
10.2. «Выпуклая оболочка» $\Leftrightarrow$ «Пересечение полуплоскостей» . . . . .	48
10.3. Алгоритмы построения выпуклой оболочки . . . . .	48
10.3.1. Грэхем, Эндрю и $\mathcal{O}(\text{sort}(n))$ . . . . .	48
10.3.2. Джарвис и $\mathcal{O}(nk)$ . . . . .	49
10.3.3. Чен и $\mathcal{O}(n \log k)$ . . . . .	49
10.3.4. Точнее оцениваем Чена . . . . .	49
10.4. Рандомизированные алгоритмы . . . . .	49
10.4.1. Две ближайшие точки за $\mathcal{O}(n)$ . . . . .	49
10.4.2. Минимальный покрывающий точки круг за $\mathcal{O}(n)$ . . . . .	50
10.5. Диаграмма Вороного и триангуляция Делоне . . . . .	50
10.5.1. Диаграмма Вороного за $\mathcal{O}(n^2)$ . . . . .	50
10.5.2. Триангуляция Делоне . . . . .	50
10.5.3. Триангуляция Делоне за $\mathcal{O}(n \log n)$ . . . . .	51
10.6. Задачи . . . . .	52
10.6.1. Применения диаграммы Вороного . . . . .	52
10.6.2. $k$ -точек минимального диаметра . . . . .	53
10.6.3. Все пары точек на расстоянии не более $R$ . . . . .	53
10.7. Сумма Минковского . . . . .	53
10.8. Motion planning . . . . .	53

10.9. Dynamic Convex Hull . . . . .	54
10.10. Число точек под прямой (в полуплоскости) . . . . .	54
10.11. Не раскрытые темы . . . . .	55
<b>11. Планарность</b> . . . . .	<b>55</b>
11.1. Основные определения и теоремы . . . . .	56
11.2. Алгоритмы проверки на планарность . . . . .	57
11.2.1. Исторический экскурс . . . . .	57
11.2.2. Алгоритм Демукрона . . . . .	57
11.3. Алгоритмы отрисовки графа прямыми отрезками . . . . .	57
11.4. Планарный сепаратор . . . . .	58
11.4.1. Решение NP-трудных задач на планарных графах . . . . .	59
11.5. Системы уравнений . . . . .	59
11.5.1. $k$ -диагональная матрица . . . . .	60
11.5.2. Правило Кирхгофа . . . . .	60
11.5.3. Nested dissection . . . . .	60
11.6. Выделение граней плоского графа . . . . .	61
11.7. Поток в планарном графе . . . . .	61
11.8. Литература . . . . .	61

# Лекция #1: FFT и его друзья

1-я пара, весна 2025

## 1.1. FFT

### 1.1.1. Прелюдия

Пусть есть многочлены  $A(x) = \sum a_i x^i$  и  $B(x) = \sum b_i x^i$ .

Посчитаем их значения в точках  $x_1, x_2, \dots, x_n$ :  $A(x_i) = f a_i, B(x_i) = f b_i$ .

Значения  $C(x) = A(x)B(x)$  в точках  $x_i$  можно получить за линейное время:

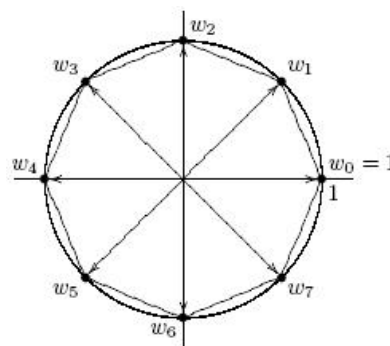
$$f c_i = C(x_i) = A(x_i)B(x_i) = f a_i f b_i$$

Схема быстрого умножения многочленов:

$$a_i, b_i \xrightarrow{\mathcal{O}(n \log n)} f a_i, f b_i \xrightarrow{\mathcal{O}(n)} f c_i = f a_i f b_i \xrightarrow{\mathcal{O}(n \log n)} c_i$$

Осталось подобрать правильные точки  $x_i$ .

FFT расшифровывается Fast Fourier Transform и за  $\mathcal{O}(n \log n)$  вычисляет значения многочлена в комплексных точках  $w_j = e^{\frac{2\pi i j}{n}}$  для  $n = 2^k$  (то есть, только для степеней двойки).



Что нужно помнить про комплексные числа?

При умножении комплексных чисел углы

складываются, длины перемножаются.

В частности, если обозначить  $w = e^{\frac{2\pi i}{n}} = \cos \frac{2\pi i}{n} + i \sin \frac{2\pi i}{n}$ , то  $w_j = w^j$  (все корни из единицы – это степени главного корня, и они образуют циклическую группу). Также  $w^{-j} = w^{n-j}$ .

### 1.1.2. Собственно FFT

$A(x) = \sum a_i x^i = (a_0 + x^2 a_2 + x^4 a_4 + \dots) + x(a_1 x + a_3 x^3 + a_5 x^5 + \dots) = B(x^2) + x C(x^2)$  – обозначили все чётные коэффициенты многочлена  $A$  многочленом  $B$ , а нечётные соответственно  $C$ .

Посчитаем рекурсивно  $B(w_j)$  и  $C(w_j)$ , зная их, за  $\mathcal{O}(n)$  посчитаем  $A(w_j) = B(w_j) + w_j C(w_j)$ .

Заметим, что  $\forall j \ w_j = w_{j \bmod n} \Rightarrow \forall j \ w_j^2 = w_{n/2+j}^2 \Rightarrow B$  и  $C$  нужно считать только в  $\frac{n}{2}$  точках.

Итого алгоритм:

```

1 def FFT(a):
2     n = len(a)
3     if n == 1: return a[0] # посчитать значение многочлена A(x) ≡ a[0] в точке x = 1
4     for j=0..n-1: (j%2 ? c : b)[j / 2] = a[j]
5     b, c = FFT(b), FFT(c) # самое важное - две ветки рекурсии
6     for j=0..n-1: a[j] = b[j % (n/2)] + exp(2πi*j/n) * c[j % (n/2)]
7     return a

```

Время работы  $T(n) = 2T(n/2) + \mathcal{O}(n) = \mathcal{O}(n \log n)$ .

### 1.1.3. Крутая нерекурсивная реализация FFT

Чтобы преобразование работало быстро, нужно заранее предподсчитать все  $w_j = e^{\frac{2\pi i j}{n}}$ .

Заметим, что  $b$  и  $c$  можно хранить прямо в массиве  $a$ . Тогда получается, что на прямом ходу рекурсии мы просто переставляем местами элементы  $a$ , на обратном ходу рекурсии делаем какие-то полезные действия. Число  $a_i$  перейдёт на позицию  $a_{rev(i)}$ , где  $rev(i)$  – перевёрнутая битовая запись  $i$ . Кстати,  $rev(i)$  мы уже умеем считать динамикой для всех  $i$ .

При реализации на C++ можно использовать стандартные комплексные числа `complex<double>`, но свои рукописные будут работать немного быстрее.

```
1 const int K = 20, N = 1 << K; // N - ограничение на длину результата умножения многочленов
2 complex<double> root[N];
3 int rev[N];
4 void init():
5     for (int j = 0; j < N; j++):
6         root[j] = exp(2*pi*j/N); // cos(2*pi*j/N), sin(2*pi*j/N)
7         rev[j] = rev[j >> 1] + ((j & 1) << (K - 1));
```

Теперь, корни из единицы степени  $k$  хранятся в `root[j*N/k]`,  $j \in [0, k)$ .

Доступ к памяти при этом не последовательный, проблемы с кешом.

Чтобы посчитать все корни, мы  $2N$  раз вычисляли тригонометрические функции.

#### • Улучшенная версия вычисления корней

```
1 for (int k = 1; k < N; k *= 2):
2     num tmp = exp(pi/k);
3     root[k] = {1, 0}; // в root[k..2k] хранятся первые k корней степени 2k
4     for (int i = 1; i < k; i++)
5         root[k+i] = (i&1) ? root[(k+i) >> 1] * tmp : root[(k+i) >> 1];
```

Теперь код собственно преобразования Фурье может выглядеть так:

```
1 FFT(a): // a → f = FFT(a)
2     vector<complex> f(N);
3     for (int i = 0; i < N; i++) // прямой ход рекурсии превратился в один for =)
4         f[rev[i]] = a[i];
5     for (int k = 1; k < N; k *= 2) // пусть уже посчитаны FFT от кусков длины k
6         for (int i = 0; i < N; i += 2 * k) // [i..i+k) [i+k..i+2k) → [i..i+2k)
7             for (int j = 0; j < k; j++): // оптимально написанный главный цикл FFT
8                 num tmp = root[k + j] * f[i + j + k]; // root[] из «улучшенной версии»
9                 f[i + j + k] = f[i + j] - tmp; // w_{j+k} = -w_j при n = 2k
10                f[i + j] = f[i + j] + tmp;
11     return f;
```

### 1.1.4. Обратное преобразование

Обозначим  $w = e^{2\pi i/n}$ . Нам нужно из

$$f_0 = a_0 + a_1 + a_2 + a_3 + \dots$$

$$f_1 = a_0 + a_1 w + a_2 w^2 + a_3 w^3 + \dots$$

$$f_2 = a_0 + a_1 w^2 + a_2 w^4 + a_3 w^3 + \dots$$

научиться восстанавливать коэффициенты  $a_0, a_1, a_2, \dots$ .

Заметим, что  $\forall j \neq 0 \sum_{k=0}^{n-1} w^{jk} = 0$  (сумма геометрической прогрессии).

И напротив при  $j = 0$  получаем  $\sum_{k=0}^{n-1} w^{jk} = \sum 1 = n$ .

Поэтому  $f_0 + f_1 + f_2 + \dots = a_0 n + a_1 \sum_k w^k + a_2 \sum_k w^{2k} + \dots = \boxed{a_0 n}$

Аналогично  $f_0 + f_1 w^{-1} + f_2 w^{-2} + \dots = \sum_k a_0 w^{-k} + a_1 n + a_2 \sum_k w^k + \dots = \boxed{a_1 n}$

И в общем случае  $\sum_k f_k w^{-jk} = \boxed{a_j n}$

Рассмотрим  $F(x) = f_0 + x f_1 + x^2 f_2 + \dots \Rightarrow F(w^{-j}) = a_j n$ , похоже на  $\text{FFT}(f)$ .

Осталось заметить, что множества чисел  $w^{-j} = w^{n-j} \Rightarrow$

```
1 FFT_inverse(f): // f → a
2   a = FFT(f)
3   reverse(a + 1, a + N) // w^j ↔ w^{-j}
4   for (int i = 0; i < N; i++) a[i] /= N;
5   return a;
```

### 1.1.5. Два в одном

Часто коэффициенты многочленов – вещественные или даже целые числа.

Если у нас есть многочлены  $A(x), B(x) \in \mathbb{R}[x]$ , возьмём числа  $c_j = a_j + ib_j$ , коэффициенты  $C(x) = A(x) + iB(x)$ , посчитаем  $fc = \text{FFT}(c)$ . Тогда по  $f$  за  $\mathcal{O}(n)$  можно восстановить  $fa$  и  $fb$ .

Для этого вспомним про сопряжения комплексных чисел:

$x + iy = \overline{x - iy}$ ,  $\overline{\overline{u} \cdot \overline{v}} = u \cdot v$ ,  $w^{n-j} = w^{-j} = \overline{w^j} \Rightarrow \overline{fc_{n-j}} = \overline{C(w^{n-j})} = \overline{C(w^j)} = A(w^j) - iB(w^j) \Rightarrow fc_j + \overline{fc_{n-j}} = 2A(w^j) = 2 \cdot fa_j$ . Аналогично  $fc_j - \overline{fc_{n-j}} = 2B(w^j) = 2i \cdot fb_j$ .

Итого для умножения двух многочленов можно использовать не 3 вызова FFT, а 2.

### 1.1.6. Умножение чисел, оценка погрешности

Число длины  $n$  в системе счисления  $10 \rightarrow$  система счисления  $10^k \rightarrow$  многочлен длины  $n/k$ .

Умножения многочленов такой длины будет работать за  $\frac{n}{k} \log \frac{n}{k}$ .

Отсюда возникает вопрос, какое максимальное  $k$  можно использовать?

Коэффициенты многочлена-произведения будут целыми числами до  $(10^k)^2 \cdot \frac{n}{k}$ .

Чтобы в типе `double` целое число хранилось с погрешностью меньше 0.5 (тогда мы его сможем правильно округлить к целому), оно должно быть не более  $10^{15}$ .

Получаем при  $n \leq 10^6$ , что  $(10^k)^2 \cdot 10^6/k \leq 10^{15} \Rightarrow k \leq 4$ .

Аналогично для типа `long double` имеем  $(10^k)^2 \cdot 10^6/k \leq 10^{18} \Rightarrow k \leq 6$ .

Это оценка сверху, предполагающая, что само FFT погрешность не накапливает... на самом деле эта оценка очень близка к точной.

## 1.2. Разделяй и властвуй

### 1.2.1. Перевод между системами счисления

**Задача:** перевести число  $X$  длины  $n = 2^k$  из  $a$ -ичной системы счисления в  $b$ -ичную.

Разобьём число  $X$  на  $\frac{n}{2}$  старших цифр и  $\frac{n}{2}$  младших цифр:  $X = X_0 \cdot a^{n/2} + X_1 \Rightarrow$

$$F(X) = F(X_0)F(a^{n/2}) + F(X_1)$$

Умножение за  $\mathcal{O}(n \log n)$  и сложение за  $\mathcal{O}(n)$  выполняются в системе счисления  $b$ .

Предподсчёт  $F(a^1), F(a^2), F(a^4), F(a^8), \dots, F(a^n)$  займёт  $\sum_k \mathcal{O}(2^k k) = \mathcal{O}(n \log n)$  времени.

Итого  $T(n) = 2T(n/2) + \mathcal{O}(n \log n) = \mathcal{O}(n \log^2 n)$ .

### 1.2.2. Деление многочленов с остатком

**Задача:** даны  $A(x), B(x) \in \mathbb{R}[x]$ , найти  $Q(x), R(x)$ :  $\deg R < \deg B \wedge A(x) = B(x)Q(x) + R(x)$ .

Зная  $Q$  мы легко найдём  $R$ , как  $A(x) - B(x)Q(x)$  за  $\mathcal{O}(n \log n)$ . Сосредоточимся на поиске  $Q$ .

Пусть  $\deg A = \deg B = n$ , тогда  $Q(x) = \frac{a_n}{b_n}$ . То есть,  $Q(x)$  можно найти за  $\mathcal{O}(1)$ .

Из этого мы делаем вывод, что  $Q$  зависит не обязательно от всех коэффициентов  $A$  и  $B$ .

**Lm 1.2.1.**  $\deg A = m, \deg B = n \Rightarrow \deg Q = m - n$ , и  $Q$  зависит только от  $m - n + 1$  коэффициентов  $A$  и  $m - n + 1$  коэффициентов  $B$ .

*Доказательство.* У  $A$  и  $B \cdot Q$  должны совпадать  $m - n + 1$  старший коэффициент ( $\deg R < n$ ). В этом сравнении участвуют только  $m - n + 1$  старших коэффициентов  $A$ . При домножении  $B$  на  $x^{\deg Q}$ , сравнятся как раз  $m - n + 1$  старших коэффициентов  $A$  и  $B$ . При домножении  $B$  на меньшие степени  $x$ , в сравнении будут участвовать лишь какие-то первые из этих  $m - n + 1$  коэффициентов. ■

Теперь будем решать задачу: даны  $n$  старших коэффициентов  $A$  и  $B$ , найти такой  $C$  из  $n$  коэффициентов, что у  $A$  и  $BC$  совпадают  $n$  старших коэффициентов. Давайте считать, что младшие коэффициенты лежат в первых ячейках массива.

```

1 Div(int n, int *A, int *B)
2   C = Div(n/2, A + n/2, B + n/2) // нашли старших n/2 коэффициентов ответа
3   A' = Subtract(n, A, n + n/2 - 1, Multiply(C, B))
4   D = Div(n/2, A', B + n/2) // сейчас A' состоит из n/2 не нулей и n/2 нулей
5   return concatenate(D, C) // склеили массивы коэффициентов

```

Здесь `Subtract` – хитрая функция. Она знает длины многочленов, которые ей передали, и сдвигает вычитаемый многочлен так, чтобы старшие коэффициенты совместились.

### 1.2.3. Вычисление значений в произвольных точках

**Задача.** Дан многочлен  $A(x)$ ,  $\deg A = n$  и точки  $x_1, x_2, \dots, x_n$ . Найти  $A(x_1), A(x_2), \dots, A(x_n)$ .

Вспомним теорему Безу:  $A(w) = A(x) \bmod (x - w)$ .

Обобщение:  $B(x) = A(x) \bmod (x - x_1)(x - x_2) \dots (x - x_n) \Rightarrow \forall j B(x_j) = A(x_j)$

```

1 def Evaluate(n, A, x[]): # n = 2^k
2   if n == 1: return list(A[0])
3   return Evaluate(n/2, A mod (x - x_1) * ... * (x - x_{n/2}), [x_1, ..., x_{n/2}]) +
4     Evaluate(n/2, A mod (x - x_{n/2+1}) * ... * (x - x_n), [x_{n/2+1}, ..., x_n])

```



Итого  $T(n) = 2T(n/2) + \mathcal{O}(\text{div}(n))$ . Если деление реализовано за  $\mathcal{O}(n \log n)$ , получим  $\mathcal{O}(n \log^2 n)$ .

### 1.2.4. Интерполяция

**Задача.** Даны пары  $(x_1, y_1), \dots, (x_n, y_n)$ . Найти многочлен  $A$ :  $\deg A = n-1$ ,  $\forall i \ A(x_i) = y_i$ .

Сделаем интерполяцию по Ньютону методом разделяй и властвуй.

Сперва найдём интерполяционный многочлен  $B$  для  $(x_1, y_1), (x_2, y_2), \dots, (x_{n/2}, y_{n/2})$ .

$$A = B + C \cdot D, \text{ где } D = \prod_{j=1 \dots \frac{n}{2}} (x - x_j), \text{ а } C \text{ нужно найти}$$

Подгоним правильные значения в точках  $x_{n/2+1}, \dots, x_n$ , вычислим  $b_j, d_j$  – значения  $B$  и  $D$  в точках  $x_{n/2+1}, \dots, x_n \Rightarrow C$  – интерполяционный многочлен точек  $(x_j, -\frac{b_j}{d_j})$  при  $j = \frac{n}{2}+1 \dots n$ .

Итого  $T(n) = 2T(n/2) + 2\mathcal{O}(\text{evaluate}(n/2))$ . При  $\text{evaluate}(n) = \mathcal{O}(n \log^2 n)$  имеем  $\mathcal{O}(n \log^3 n)$ .

### 1.2.5. Извлечение корня

Дан многочлен  $A(x)$ :  $\deg A \equiv 0 \pmod 2$ . Задача – найти  $R(x)$ :  $\deg(A - R^2)$  минимальна.

Пусть мы уже нашли старшие  $k$  коэффициентов  $R$ , обозначим их  $R_k$ . Найдём  $2k$  коэфф-тов:  $R_{2k} = R_k x^k + X, R_{2k}^2 = R_k^2 x^{2k} + 2R_k X \cdot x^k + X^2$ . Правильно подобрав  $X$ , мы можем “обнулить”  $k$  коэффициентов  $A - R_{2k}^2$ , для этого возьмём  $X = (A - R_k^2 x^{2k}) / (2R_k)$ . В этом частном нам интересны только  $k$  старших коэффициентов, поэтому переход от  $R_k$  к  $R_{2k}$  происходит за  $\mathcal{O}(\text{mul}(k) + \text{div}(k))$ . Итого суммарное время на извлечение корня –  $\mathcal{O}(\text{div}(n))$ .

## 1.3. Литература

[sankowski]. Слайды по FFT и всем идеям разделяй и властвуй.

[e-maxx]. Про FFT и оптимизации к нему.

[codeforces]. Задачи на тему FFT.

[vk]. Краткий конспект похожих идей от Александра Кулькова.

# Лекция #1: Действия над многочленами

1-я пара, весна 2025

## 1.4. Над $\mathbb{F}_2$

Умножение/деление/gcd можно делать битовым сжатием за  $\approx \frac{nm}{w}$ , где  $w$  – word size.

### • Хранение

$A(x) = a_0 + a_1x + \dots + a_nx^n \rightarrow N = n + 1; \text{bitset}\langle N \rangle \text{ a}$

Обозначения:  $n = \deg A$ ,  $m = \deg B$ ,  $N = \deg A + 1$ ,  $M = \deg B + 1$ .

Многочлен степени  $n$  = массив коэффициентов длины  $N$ .

### • Умножение

```
1 for i=0..n
2   if a[i]
3     c ^= b << i
```

Время работы:  $\mathcal{O}(n \cdot \lceil \frac{m}{w} \rceil)$ . Можно  $n$  заменить на «число не нулей в  $a$ ».

### • Деление

```
1 for i=n..m
2   if a[i]
3     a ^= b << (i-m), c[i-m] = 1
```

Результат: в «a» лежит остаток, в «c» частное.

Время работы:  $\mathcal{O}((n-m) \cdot \lceil \frac{m}{w} \rceil)$ .

### • gcd

Запускаем Евклида. Один шаг Евклида – деление. Деление работает за  $\mathcal{O}((n-m) \cdot \lceil \frac{m}{w} \rceil)$  и уменьшает  $n$  на  $n-m \Rightarrow$  суммарно все деления отработают за  $\mathcal{O}((n-m) \cdot \lceil \frac{m}{w} \rceil + \frac{m^2}{w}) = \mathcal{O}(\frac{nm}{w})$ .

## 1.5. Умножение многочленов

Над произвольным кольцом умеем за  $\mathcal{O}(nm)$ .

Точнее за «(число не нулей в  $a$ ) · (число не нулей в  $b$ )».

### • Карацуба

Пусть  $N = 2^k$ . Если нет, дополним оба массива нулями (нулевые старшие коэффициенты).

Делим многочлены на две части:  $A = A_0 + x^{N/2}A_1$ ,  $B = B_0 + x^{N/2}B_1$

$$A \cdot B = A_0B_0 + x^N A_1B_1 + x^{N/2}(A_0B_1 + A_1B_0) = C_0 + x^N C_1 + x^{N/2}((A_0+B_0)(A_1+B_1) - C_0 - C_1)$$

Умножение многочленов длины  $N$  – сложение, вычитание и 3 умножения многочленов длины  $\frac{N}{2}$ .

$$T(n) = 3T(\frac{n}{2}) + n = \Theta(n^{\log 3})$$

Такой способ умножения работает **над произвольным кольцом**.

### • Оптимальное над $\mathbb{F}_2$

У нас уже есть Карацуба и битовое сжатие. Соединим. Внутри Карацубы реализуем сложение, вычитание и разделение многочлена на две части за  $\lceil \frac{n}{w} \rceil$ . Кажется бы мы ускорили всё в  $w$  раз, но нет, время работы равно числу листьев рекурсии.

$$T(n) = 3T\left(\frac{n}{2}\right) + \left\lceil \frac{n}{w} \right\rceil = \Theta(n^{\log 3})$$

Асимптотическая оптимизация: в рекурсии при  $N \leq w$  будем умножать за  $\mathcal{O}(n)$ . Улучшили  $w^{\log 3}$  до  $w \Rightarrow$  новое время работы в  $w^{(\log 3)-1}$  раз меньше.

- **Над  $\mathbb{Z}$ , над  $\mathbb{R}$ , над  $\mathbb{C}$**

Фурье за  $\mathcal{O}(n \log n)$ . Смотри главу про Фурье (FFT).

- **Над конечным полем**

Все конечные поля изоморфны  $\Rightarrow$  умножить над  $\mathbb{F}_p \Leftrightarrow$  умножить над  $\mathbb{Z}/p\mathbb{Z}$ .

Умножим в  $\mathbb{Z}$  (Карацуба или FFT), затем возьмём по модулю.

Для некоторых  $p$ , например  $p = 3 \cdot 2^{18} + 1$ , можно напрямую применить «Фурье по модулю».

## Лекция #2: Деление многочленов

2-я пара, весна 2025

### 2.1. Быстрое деление многочленов

Цель – научиться делить многочлены за  $\mathcal{O}(n \log n)$ .

Очень хочется считать частное многочленов  $A(x)/B(x)$ , как  $A(x)B^{-1}(x)$ . К сожалению, у многочленов нет обратных. Зато обратные есть у рядов, научимся сперва искать их.

#### • Обращение ряда

Задача. Дан ряд  $A \in [[\mathbb{R}]]$ ,  $a_0 \neq 0$ . Найти ряд  $B$ :  $A(x)B(x) = 1$ .

Первые  $n$  коэффициентов  $B$  можно найти за  $\mathcal{O}(n^2)$ :

$$b_0 = 1/a_0$$

$$b_1 = -(a_1 b_0)/a_0$$

$$b_2 = -(a_2 b_0 + a_1 b_1)/a_0$$

...

А можно за  $\mathcal{O}(n \log n)$ .

Обозначим  $B_k(x) = b_0 + b_1 x + \dots + b_{k-1} x^{k-1}$ . Заметим, что  $\forall k \ A(x)B_k(x) = 1 + x^k C_k(x)$ .

$B_1 = b_0 = 1/a_0$ . Научимся делать переход  $B_k \rightarrow B_{2k}$  за  $\mathcal{O}(k \log k)$ .

$$B_{2k} = B_k + x^k Z \Rightarrow A \cdot B_{2k} = 1 + x^k C_k + x^k A \cdot Z = 1 + x^k (C_k + A \cdot Z).$$

$$\text{Выберем } Z = B_k \cdot C_k \Rightarrow C_k + A \cdot Z = C_k + C_k(A \cdot B_k) = C_k + C_k(1 + x^k C_k) = -x^k C_k^2.$$

$$\text{Итого } B_{2k} = B_k + B_k(x^k C_k) = B_k + B_k(1 + A \cdot B_k) \Rightarrow B_{2k} = B_k(2 + A \cdot B_k)$$

Два умножения =  $\mathcal{O}(k \log k)$ . Общее время работы  $n \log n + \frac{n}{2} \log \frac{n}{2} + \frac{n}{4} \log \frac{n}{4} + \dots = \mathcal{O}(n \log n)$ .

Конечно, мы обрежем  $B_{2k}$ , оставив лишь  $2k$  первых членов.

#### • Деление многочленов

$A^R$  – reverse многочлена.  $a_0 + a_1 x + \dots + a_n x^n \rightarrow a_n + a_{n-1} x + \dots + a_0 x^n$ .

Умножение:  $A^R B^R = (AB)^R$  (доказательство: в  $c_{ij} = a_i b_j$  поменяли индексы на  $n-i$  и  $m-j$ ).

Новое определение деления: по  $A, B$  хотим  $C$ :  $A^R \equiv (BC)^R \pmod{x^n}$ .

Здесь  $n$  – число коэффициентов у  $A, B$  ровно столько же.

Обращение ряда нам даёт умение по многочлену  $Z$ :  $z_0 \neq 0$  строить  $Z^{-1}$ :  $Z \cdot Z^{-1} \equiv 1 \pmod{x^n}$ .

$$C^R = (B^R)^{-1} A^R$$

Время работы: обращение ряда + умножение =  $\mathcal{O}(n \log n)$ .

Над кольцом делить странно, а вот над произвольным полем Фурье может не работать, тогда деление работает за  $\mathcal{O}(\text{mul}(n) + \text{mul}(\frac{n}{2}) + \dots) = \mathcal{O}(\text{mul}(n))$  для  $\text{mul}(n) = \Omega(n)$ .

## 2.2. (\*) Быстрое деление чисел

Для нахождения частного чисел, достаточно научиться с большой точностью считать обратное. Рассмотрим метод Ньютона поиска корня функции  $f(x)$ :

$x_0$  = достаточно точное приближение корня

$$x_{i+1} = x_i - f(x_i)/f'(x_i)$$

Решим с помощью него уравнение  $f(x) = x^{-1} - a = 0$ .

$x_0$  = обратное к старшей цифре  $a$

$$x_{i+1} = x_i - (\frac{1}{x_i} - a)/(-\frac{1}{x_i^2}) = x_i + (x_i - a \cdot x_i^2) = x_i(2 - ax_i).$$

Любопытно, что очень похожую формулу мы видели при обращении формального ряда...

Утверждение: каждый шаг метода Ньютона удваивает число точных знаков  $x$ .

Итого, имея  $x_i$  с  $k$  точными знаками, мы научились за  $\mathcal{O}(k \log k)$  получать  $x_{i+1}$  с  $2k$  точными знаками. Суммарное время получения  $n$  точных знаков  $\mathcal{O}(n \log n)$ .

## 2.3. (\*) Быстрое извлечение корня для чисел

Продолжаем пользоваться методом Ньютона.

$$x_{i+1} = \frac{1}{2}(x_i + \frac{a}{x_i})$$

Если у  $x_i$   $k_i$  верных знаков, то  $k_{i+1} = k_i + \Theta(1)$ , а

$x_i \rightarrow x_{i+1}$  вычисляется одним делением многочленов длины  $k_i$  за  $\mathcal{O}(k_i \log k_i)$ .

## 2.4. (\*) Обоснование метода Ньютона

Цель: доказать, что каждый шаг удваивает число точных знаков  $x$ .

Сделаем замену переменных, чтобы было верно  $f(0) = 0 \Rightarrow$  корень, который мы ищем,  $-0$ . Сейчас находимся в точке  $x_i$ . По Тейлору  $f(0) = f(x_i) - x_i f'(x_i) + \frac{1}{2} x_i^2 f''(\alpha)$  ( $\alpha \in [0..x_i]$ ).

Получаем  $\frac{f(x_i)}{f'(x_i)} = x_i + \frac{1}{2} x_i^2 \frac{f''(\alpha)}{f'(x_i)}$ . Передаём Ньютону  $x_{i+1} = x_i - \frac{f(x_i)}{f'(x_i)} = x_i - x_i - \frac{1}{2} x_i^2 \frac{f''(\alpha)}{f'(x_i)}$ .

Величина  $\frac{f''(\alpha)}{f'(x_i)}$  ограничена сверху константой  $C$ .

Получаем, что если  $x_i \leq 2^{-n}$ , то  $x_{i+1} \leq 2^{-2n+\log C}$ .

То есть, число верных знаков почти удваивается.

## 2.5. Линейные рекуррентные соотношения

**Задача.** Дана последовательность  $f_0, f_1, \dots, f_{k-1}, \forall n \geq k \ f_n = f_{n-1}a_1 + \dots + f_{n-k}a_k$ , найти  $f_n$ .

Вычисления «в лоб» можно произвести за  $\mathcal{O}(nk)$ .

### 2.5.1. Через матрицу в степени

$$A = \begin{bmatrix} a_1 & a_2 & \dots & a_k \\ 1 & 0 & \dots & 0 \\ 0 & 1 & \dots & 0 \\ \dots & \dots & \dots & \dots \end{bmatrix}, \forall i \ A \cdot \begin{bmatrix} f_{i-1} \\ f_{i-2} \\ \dots \\ f_{i-k} \end{bmatrix} = \begin{bmatrix} f_i \\ f_{i-1} \\ \dots \\ f_{i-k+1} \end{bmatrix} \Rightarrow A^n \cdot \begin{bmatrix} f_{k-1} \\ f_{k-2} \\ \dots \\ f_0 \end{bmatrix} = \begin{bmatrix} f_{n+k-1} \\ f_{n+k-2} \\ \dots \\ f_n \end{bmatrix}$$

Умножать матрицы умножаем за  $\mathcal{O}(k^3) \Rightarrow$  общее время работы  $\mathcal{O}(k^3 \log n)$ .

### 2.5.2. Через умножение многочленов

На самом деле можно возводить в степень не матрицу, а многочлен по модулю...

Умножение матриц за  $\mathcal{O}(k^3)$  заменяется на умножение многочленов по модулю за  $\mathcal{O}(k \log k)$ .

Будем выражать  $f_n$  через  $f_i: i < n$ . В каждый момент времени  $f_n = \sum_j f_j b_j$ .

Изначально  $f_n = f_n \cdot 1$ . Пока  $\exists j \geq k: b_j \neq 0$ , меняем  $f_j b_j$  на  $\left(\sum_{i=1}^k f_{j-i} a_i\right) \cdot b_j$ . (\*)

Посмотрим, как меняются коэффициенты  $b_j$ . Пусть  $B(x) = \sum b_j x^j$ ,  $A(x) = x^k - \sum_{i=1}^k x^{k-i} a_i$ .

Тогда (\*) – переход от  $B(x)$  к  $B(x) - A(x)x^{j-k}b_j$ .

Изначально  $B(x) = x^n \Rightarrow$  наш алгоритм – вычисление  $x^n \bmod A(x)$ .

Возведение многочлена  $x$  в степень  $n$  по модулю  $A(x) - \mathcal{O}(\log n)$  умножений и взятий по модулю.

Итого:  $\mathcal{O}(k \log k \log n)$ .

# Лекция #2: Применение умножения многочленов

2-я пара, весна 2025

## 2.6. Факторизация целых чисел

### • Вычисление $n! \bmod m$

Возьмём  $k = \lfloor \sqrt{n} \rfloor$ , рассмотрим  $P(x) = x(x+k)(x+2k)\dots(x+k(k-1))$ .  
 $P(1)P(2)P(3)\dots P(k) = (k^2)!$ , чтобы дополнить до  $n!$ , сделаем руками  $\mathcal{O}(k)$  умножений.  
 Посчитать  $P(x)$  мы можем методом разделяй и властвуй за  $\mathcal{O}(k \log^2 k)$ .

### • FFT над $\mathbb{Z}/m\mathbb{Z}$

Умножим в  $\mathbb{Z}$  (то же, что  $\mathbb{R}$ , что  $\mathbb{C}$ ), в конце возьмём по модулю  $m$ .  
 Если не хватает точности обычного вещественного типа ( $m = 10^9 \Rightarrow \text{long double}$  уже слишком мал), то представим многочлен с коэффициентами до  $m$ , как сумму двух многочленов с коэффициентами до  $k = \lceil m^{1/2} \rceil$ :  $P(x) = P_1(x) + k \cdot P_2(x)$ ,  $Q(x) = Q_1(x) + k \cdot Q_2(x)$ .  
 Сделаем 3 умножения, как в Карацубе:

$$P(x)Q(x) = P_1Q_1 + k^2P_2Q_2 + k((P_1+Q_1) \cdot (P_2+Q_2) - P_1Q_1 - P_2Q_2)$$

### • Факторизация

Найдём  $\min d: \gcd(d!, n) \neq 1$ . Тогда  $d$  – минимальный делитель  $n$ . Можно искать бинарным поиском, можно «двоичными подъёмами», тогда время  $= \mathcal{O}(\text{calc}(n^{1/2!})) = \mathcal{O}(n^{1/4} \log^2 n)$ .

## 2.7. CRC-32

Один из вариантов хеширования последовательности бит  $a_0, a_1, \dots, a_{n-1}$  – взять остаток от деления многочлена  $A(x) \cdot x^k$  на  $G(x)$ , где  $G(x)$  – специальный многочлен, а  $k = \deg G + 1$ .

В *CRC-32-IEEE-802.3* (в v.42, mpeg-2, png, cksum)  $k = 32$ ,  $G(x) = 0x\text{EDB88320}$  (32 бита).

Если размер машинного слова  $\geq k$ , CRC вычисляется за  $\mathcal{O}(n)$ , в общем случае за  $\mathcal{O}(n \cdot \lceil \frac{k}{w} \rceil)$ .

```
1 for i = n-1..k:
2     if a[i] != 0:
3         a[i..i-k+1] ^= G
```

**Упражнение 2.7.1.**  $\text{CRC}(A \hat{=} B) = \text{CRC}(A) \hat{=} \text{CRC}(B)$ ,  $\text{CRC}(\text{concat}(A, 1)) = (\text{CRC}(A) \cdot 2 + 1) \bmod G$

## 2.8. Кодирование бит с одной ошибкой

**Контекст.** По каналу хотим передать  $n$  бит.

В канале может произойти не более 1 ошибки вида «замена бита».

**Детектирование ошибки.** Передадим  $a_1, a_2, \dots, a_n$  и  $b = \text{XOR}(a_1, a_2, \dots, a_n)$ .

Если  $b'$  равно  $\text{XOR}(a'_1, a'_2, \dots, a'_n)$ , ошибки при передаче не было.

**Исправление ошибки.**

Удвоение бит не работает – и из 0, и из 1 в результате одной ошибки может получиться 01.

Работает утроение бит ( $3n$ ) или «удвоение бит и дополнительно передать XOR» ( $2n+1$ ).

Раскодирование для  $2n+1$ :  $00 \rightarrow 0$ ,  $11 \rightarrow 1$ ,  $01/10 \Rightarrow$  подгоняем, чтобы сошёлся XOR.

**Исправление ошибки за  $\lceil \log_2 n \rceil + 1$  дополнительных бит.**

Передадим два раза  $\text{XOR}(a_1, a_2, \dots, a_n)$ . Теперь мы знаем, есть ли ошибка среди  $a_1, a_2, \dots, a_n$ .

Если ошибка есть, её нужно исправить.  $\forall b \in [0, \lceil \log_2 n \rceil)$  передадим  $\text{XOR}_{i: \text{bit}(i,b)=0}(a_i)$ .

В итоге мы знаем все  $\lceil \log_2 n \rceil$  бит позиции ошибки.

**2.9. Коды Рида-Соломона**

**Задача.** Кодировать  $n$  элементов конечного поля  $\mathbb{F}_q$ .

Канал допускает  $k$  ошибок. Хотим научиться исправлять ошибки после передачи.

*Замечание 2.9.1.* Конечные поля имеют размер  $p^k$  ( $p \in \text{Prime}, k \in \mathbb{N}$ ). Поле размера  $p - \mathbb{Z}/p\mathbb{Z}$ .

Поле размера  $p^k$  – остатки по модулю неприводимого многочлена над  $\mathbb{F}_p$  степени  $k$ .

Для кодирования битовых строк удобно использовать  $q = 2^k$  при  $k \in \{32, 64, 4096\}$ .

Пример  $\mathbb{F}_{2^{32}}$ : остатки по модулю  $x^{32} + x^{22} + x^2 + x + 1$ . Один из алгоритмов поиска неприводимого степени  $n$ : ткнуть в случайный, попробовать факторизовать (Бэрликэмп за  $n^3$ ).

**Lm 2.9.2.** Если обозначить **расстояние Хэмминга** как  $D(s, t)$ , а  $f(s)$  – код строки  $s$ , канал передачи допускает  $k$  ошибок, то исправить ошибки можно iff  $\forall s \neq t \ D(f(s), f(t)) \geq 2k+1$ .

*Доказательство.* С учётом ошибок строка  $s$  может перейти в любую точку шара радиуса  $k$  с центром в  $f(s)$ . Если такие шары пересекаются,  $\forall$  точку пересечения не декодировать. ■

**Код Рида-Соломона.** Данные  $a_0, \dots, a_{n-1}$  задают многочлен  $A(x) = \sum a_i x^i$ . Передадим значения многочлена в произвольных  $n+2k+1$  различных точках (здесь мы требуем  $p \geq n$ ).

**Теорема 2.9.3.** Корректность кодов Рида-Соломона.

*Доказательство.*  $A(x) \neq B(x) \Rightarrow (A - B)(x)$  имеет не более  $n$  корней  $\Rightarrow A(x)$  и  $B(x)$  имеют не более  $n$  общих значений  $\Rightarrow$  хотя бы  $2k+1$  различных  $\Rightarrow D(f(A), f(B)) \geq 2k+1$ . ■

Выбор точек и  $q$ : хочется применить FFT. На практике можно отправлять данные такими порциями, что  $n+2k+1 = 2^b$ . Нужно  $q$  вида  $a \cdot 2^b + 1$  и  $x: \text{ord}(x) = 2^b$ , точка  $w_i = x^i, i \in [0, 2^b)$ .

**• Декодирование**

Мы доказали возможность однозначного декодирования, осталось предъявить алгоритм.

Имели  $A(x)$ ,  $\deg A = n-1$ , передали  $A(w_0), A(w_1), \dots, A(w_{n+2k})$ . Получили на выходе данные с ошибками  $A'(w_0), A'(w_1), \dots, A'(w_{n+2k})$ . Посчитали интерполяционный многочлен  $A'(x)$ .

*Утверждение 2.9.4.* Если у  $A'(x)$  старшие  $2k+1$  коэффициентов нули, ошибок не было.

Итого, если ошибок нет, декодирование при желании можно сделать за  $\mathcal{O}(n \log n)$  через FFT.

Обозначим позиции ошибок  $e_1, e_2, \dots, e_k$ .

Может быть, ошибок меньше. Главное, что в позициях кроме  $e_i$  ошибок точно нет.

Многочлен ошибок  $E(x) = (x - w_{e_1})(x - w_{e_2}) \dots (x - w_{e_k})$ ,  $B(x) = A(x)E(x)$ ,  $B'(x) = A'(x)E(x)$ .

$\forall i \notin \{e_j\} \ A(w_i) = A'(w_i) \Rightarrow \forall i \ B(w_i) = B'(w_i)$ . Запишем это, как СЛАУ  $\forall i \ B(w_i) = A'(w_i)E(w_i)$ , где неизвестные – коэффициенты многочленов  $B$  ( $n+k+1$  штук) и  $E$  ( $k$  штук).

**Теорема 2.9.5.** Для записанной СЛАУ  $\exists!$  решение.

*Следствие 2.9.6.* Декодирование: решим СЛАУ, найдём  $A(x) = \frac{B(x)}{E(x)}$ .

Асимптотика декодирования: Гаусс  $\mathcal{O}((n+k)^3)$ . **Бэрликэмп-Мэсси**  $\mathcal{O}((n+k)^2)$ .

Ссылка на более крутые алгоритмы декодирования в [разд. 2.11](#).



## 2.10. Применения FFT в комбинаторике

### • Возведение в степень

$2^n$  бинарным возведением в степень вычисляется за  $T(n) = T(\frac{n}{2}) + n \log n = \mathcal{O}(n \log n)$ .

### • Умножение многочленов от нескольких переменных

Посчитать  $C(x, y) = A(x, y) \cdot B(x, y)$ , пусть  $\deg_x \leq n, \deg_y \leq m$ , тогда возьмём  $y = x^{2n+1}$  и вычислим  $C'(x) = A'(x) \cdot B'(x)$ , мономы вида  $ax^{(2n+1)i+j}, j \leq 2n$  заменим на  $ax^j y^i$ .  $\mathcal{O}(nm \log nm)$ .

### 2.10.1. Покраска вершин графа в $k$ цветов

Предподсчитаем за  $\mathcal{O}(2^n)$  все независимые множества  $I$  (те, что можно покрасить в один цвет).

Рассмотрим любую корректную покраску в  $k$  цветов  $I_1, I_2, \dots, I_k: \sqcup I_j = V$ ,

заметим  $\sum I_j = 2^n - 1, \sum |I_j| = n$ .

Рассмотрим  $P(x, y) = \sum_I x^I y^{|I|}$ , внимательно посмотрим на  $P^k(x, y)$ :

**Теорема 2.10.1.** Коэффициент в  $P^k(x, y)$  монома  $x^{2^n-1} y^n$  – это число покрасок в  $k$  цветов.

**Lm 2.10.2.**  $A \cap B = \emptyset \Leftrightarrow |A| + |B| = |A \cup B|$

**Lm 2.10.3.**  $A \cap B \neq \emptyset \Leftrightarrow A + B > A \cup B$

(сложение/сравнение множеств – операции с битовыми масками)

Алгоритм – возведение многочлена степени  $2^n n$  в степень  $k$ .

Одно умножение работает за  $\mathcal{O}(2^n n^2)$ , возведение в степень за  $\mathcal{O}(2^n n^2 \log k)$ .

### 2.10.2. Счастливые билеты

**Задача.** Массив из  $2n$  цифр из множества  $d_1, d_2, \dots, d_k$  называется счастливым, если  $\sum$  первых  $n$  цифр совпадает с  $\sum$  последних  $n$ . Найти число счастливых массивов из  $2n$  цифр.

Рассмотрим  $P(x) = (x^{d_1} + x^{d_2} + \dots + x^{d_k})^n$ . Ответ – сумма квадратов коэффициентов  $P$ .

Алгоритм = возведение в степень. Время возведения в степень –  $\mathcal{O}(\log n)$  умножений.

Точнее  $\mathcal{O}(\text{mul}(N) + \text{mul}(\frac{N}{2}) + \text{mul}(\frac{N}{4}) + \dots) = \mathcal{O}(N \log N)$ , где  $\deg P = N = n \cdot \max d_i$ .

### 2.10.3. 3-SUM

**Задача.** Даны  $n$  чисел  $a_i \in \mathbb{Z} \cap [S]$ , найти  $i, j, k: a_i + a_j + a_k = S$ .

Решение #1. Сортировка, далее  $\forall i$  два указателя для  $j, k$ .  $\mathcal{O}(n^2)$ .

Решение #2. Возьмём  $P(x) = \sum_i x^{a_i}$ , рассмотрим  $P^3$ , возьмём коэффициент при  $x^S$ .  $\mathcal{O}(S \log S)$ .

### 2.10.4. Применение к задаче о рюкзаке

**Простая задача.** Subsetsum. Даны  $n$  целых  $a_i > 0$ , выбрать подмножество:  $\sum_j a_j = S$ .

Посчитаем  $P(x) = \prod_i (1 + x^{a_i})$ , возьмём коэффициент при  $x^S$ .  $n$  умножений  $\Rightarrow \mathcal{O}(nS \log S)$ .

**Алгоритм 2.10.4. Сложная задача.** То же, но выбрать подмножество размера ровно  $k$ .

Посчитаем  $P(x, y) = \prod_i (1 + yx^{a_i})$ , возьмём коэффициент при  $x^S y^k$ .

Будем вычислять разделяйкой:  $T(n) = 2T(\frac{n}{2}) + nS \log nS$  ( $nS$  – степень многочлена).

Получаем  $\mathcal{O}(nS \log nS \log n)$ , что лучше базовой динамики за  $\mathcal{O}(n^2 S)$  (dp[i, size, sum]).

### 2.10.5. (\*) Сверхбыстрый рюкзак за $\tilde{O}(\sqrt{n}S)$

**Решаем subsetsum.** Пусть  $A = \{a_i\}$ . Если мы разобьём  $A = A_1 \sqcup \dots \sqcup A_k$  и для каждого  $A_i$  насчитаем массив  $f_{ij}$  = можем ли мы набрать вес  $j$ , используя предметы из  $A_i$ , то останется только за  $\mathcal{O}(kS \log S)$  перемножить  $F_1(x) \cdot \dots \cdot F_k(x)$ , где  $F_i(x) = \sum f_{ij}x^j$ .

Возьмём  $k \approx \sqrt{n}$ ,  $A_i = \{x \in A: x \bmod k = i\}$ .  $x \in A_i \Rightarrow x = ky + i \Rightarrow$  рассмотрим  $B_i = \{y: ky + i \in A_i\}$  и для  $B_i$  воспользуемся 2.10.4, который насчитает  $\sum f_{ijt}x^jy^t$ , где  $f_{ijt}$  = число способов набрать сумму ровно  $j$ , используя ровно  $t$  предметов из  $B_i$ , при этом  $jk + it \leq S \Rightarrow j \leq \lfloor \frac{S}{k} \rfloor \Rightarrow$  2.10.4 отработает за  $\mathcal{O}(\frac{S}{k}n_i \log n_i \log nS)$ , где  $n_i = |A_i|$ .

**Итого:** решили subsetsum за  $\mathcal{O}(kS \log S) + \sum n_i \mathcal{O}(\frac{S}{k}n_i \log n_i \log nS) = \mathcal{O}(kS \log S) + \mathcal{O}(\frac{S}{k}n \log n \log S) \Rightarrow$  оптимальное  $k = \sqrt{n \log n}$ , subsetsum за  $\mathcal{O}(\sqrt{n \log n} \cdot S \log S)$ .  
 $\tilde{O}f = \mathcal{O}(f \cdot \text{poly}(\log))$ .

### 2.10.6. (\*) Сверхбыстрый рюкзак за $\tilde{O}(n + S)$

**Будем решать задачу  $f(A)$ :** определить  $\forall s \in [0, S]$ , можно ли набрать вес  $s$ .

Если есть ответы  $f(A)$  и  $f(B)$ , то **fft** за  $\mathcal{O}(S \log S)$  даёт ответ для  $A + B$ . Назовём это свёрткой. Если мы разделим множество предметов  $A$  на  $A = A_1 \sqcup A_2 \sqcup \dots \sqcup A_k$ , мы можем для каждой части  $A_i$  решить задачу и свёртками за  $\mathcal{O}(kS \log S)$  получить ответ для  $A$ .

**Хорошее разделение:**  $m = \lceil \log n \rceil$ ,  $A_i = A \cap (\frac{S}{2^i}, \frac{S}{2^{i-1}}]$ ,  $i \in [1, m]$ ,  $A_{m+1} = A \cap [1, \frac{S}{2^m}]$ .

Для  $A_{m+1}$  делаем разделяйку с **fft** даёт  $T(n) = 2T(\frac{n}{2}) + \text{fft}(n \frac{S}{2^m}) = \mathcal{O}(S \cdot n \log n \cdot \log)$ .

Для  $A_i$  рассмотрим множество-ответ  $X_i$ , заметим  $|X_i| < 2^i$ . Обозначим  $k = 2^i$ .

Поделим  $A_i$  случайным образом на  $k$  множеств:  $A_i = \sqcup A_{ij}$ ,  $\mathbb{E}(\max_j (X_i \cap A_{ij})) = \mathcal{O}(\log k) = \varepsilon$ , чтобы решить задачу для  $A_{ij}$  разделим его на  $\varepsilon^2$  случайных множеств  $A_{ijt}$ .

$\Pr[\forall t |A_{ijt} \cap X_i| \leq 1] \geq \frac{1}{2} \Rightarrow$  ответ для  $A_{ijt}$  тривиален: мы можем взять  $\leq 1$  предмета  $\Rightarrow$  можем набрать только суммы  $s \in A_{ijt}$ . Ответ для  $A_{ij} = \varepsilon^2$  свёрток, при этом в ответе нам нужны суммы не до  $S$ , а до  $\frac{S}{2^i}\varepsilon$ , так как  $\max A_{ij} \leq \frac{S}{2^i}$  и  $|A_{ij} \cap X_i| \leq \varepsilon$ . Осталось свернуть ответы для  $A_{ij}$  в ответ для  $A_i$  – разделяйка длины  $2^i$ , где в листьях **fft** от длины  $\frac{S}{2^i}\varepsilon \Rightarrow$  время на свёртки для  $A_i$ :  $2^i \log(2^i)M \log M$ , где  $M = \frac{S}{2^i}\varepsilon \Rightarrow \mathcal{O}(S \log 2^i \log M \varepsilon) = \mathcal{O}(S \log^3)$ . И так  $\forall i \Rightarrow \mathcal{O}(S \log^4) = \tilde{O}(S)$ .

## 2.11. Литература

Про FFT.

[Shuhong, Gao'2002]. Декодирование Рида-Соломона через расширенного Евклида.

Про рюкзак (и отчасти FFT).

[Koiliaris, Xu'2017]. Subset Sum in  $\tilde{O}(\sqrt{n}S)$ .

[Birmingham'2017]. Subset Sum in  $\tilde{O}(n + S)$ .

[Jin, Wu'2018]. Subset Sum in  $\mathcal{O}((n+S) \log^2)$ . Улучшили log-факторы предыдущего решения.

[Pissinger'1999]. Практически эффективный knapsack за  $\mathcal{O}(n \cdot \max a_i)$ .

[Bringmann'2021]. Тут описывают, когда рюкзак решается за  $\tilde{O}(n)$  и дают нижние оценки.

[Becker'2011]. Рюкзак за  $\tilde{O}(2^{0.291n})$ .

## Лекция #3: Автоматы

3-я пара, весна 2025

### 3.1. Определения, детерминизация

**Def 3.1.1.** Детерминированный автомат –  $\langle V, s, T, \Sigma, E \rangle$ ,  $s \in V, T \subseteq V, D \subseteq V \times \Sigma, E: D \rightarrow V$ . Обозначим  $|V| = n, |E| = m$ .

**Def 3.1.2.** Детерминированный автомат называется полным, если  $D = V \times \Sigma$ .

*Замечание 3.1.3.* Чтобы сделать автомат полным, добавим фиктивную вершину «тупик», все  $\nexists$  рёбра направим в «тупик», замкнём «тупик»: по всем символам из него торчат петли.

**Def 3.1.4.** Недетерминированный автомат –  $\langle V, s, T, \Sigma, E \rangle$ ,  $s \in V, T \subseteq V, E \subseteq (V \times \Sigma) \times V$

**Def 3.1.5.** Автомат принимает строку  $w$ , если  $\exists s = v_0, v_1, \dots, v_{|w|}: \forall i (v_i, s_i, v_{i+1}) \in E$ .

*Замечание 3.1.6.* Принимает ли детерминированный автомат строку  $s$ , мы проверяем за  $\mathcal{O}(|s|)$ .

**Алгоритм 3.1.7.** Принимает ли недетерминированный автомат строку  $s$ ?

После  $i$  символов поддерживаем множество вершин «где мы можем сейчас находиться?».

Переход  $i \rightarrow i+1$  за  $\mathcal{O}(m) \Rightarrow \mathcal{O}(m|s|)$ .

#### • Детерминизация

Принимая строку  $s$ , недетерминированный автомат в момент времени  $t$  находится в одной из вершин множества  $A_t$ . «Множества вершин» – состояния детерминированного автомата  $\langle V', E' \rangle$ .

Можно взять  $|V'| = 2^n$ , можно оптимальнее – dfs-ом выбрать достижимые множества вершин.

Время детерминизации  $\mathcal{O}(|V'| \cdot m)$ .

### 3.2. Эквивалентность

#### • Простейший алгоритм

Проверяем эквивалентность детерминированных автоматов  $\langle V_1, s_1, T_1, E_1 \rangle$  и  $\langle V_2, s_2, T_2, E_2 \rangle$ .

Найдём все пары состояний  $v_1 \in V_1, v_2 \in V_2: v_1 \not\equiv v_2$ . Все пары будем помещать в очередь.

База:  $(v_1 \in T_1) \neq (v_2 \in T_2) \Rightarrow$  помечаем и помещаем  $\langle v_1, v_2 \rangle$  в очередь.

Переход:  $v_1 \not\equiv v_2 \Rightarrow \forall c, x_1, x_2: E(x_1, c) = v_1, E(x_2, c) = v_2 \quad x_1 \not\equiv x_2$ .

Реализация: `(v1,v2) = q.pop(); for c: for x1 in from(v1,c): for x2 in from(v2,c): toQueue(x1, x2)`

Каждую пару  $(v_1, v_2)$  переберём не более одного раза  $\Rightarrow$  каждую пару рёбер  $\Rightarrow \mathcal{O}(m^2)$ .

Для корректности алгоритма автоматы должны быть полными.

#### • Через минимизацию

Чтобы проверить эквивалентность  $A_1 = \langle V_1, E_1, T_1, s_1 \rangle, A_2 = \langle V_2, E_2, T_2, s_2 \rangle$ , запустим минимизацию для  $\langle V_1 \cup V_2, E_1 \cup E_2, T_1 \cup T_2 \rangle$ , и посмотрим попали ли  $s_1$  и  $s_2$  в один класс эквивалентности.

### 3.3. Минимизация

**Задача:** построить автомат, минимальный по числу вершин, эквивалентный данному. Перед тем, как рассматривать решения, поймём, как устроен минимальный автомат.

**Def 3.3.1.**  $R_A(w)$  – *правый контекст строки  $w$* .  $R_A(w) = \{x \mid A \text{ принимает } wx\}$ .

**Теорема 3.3.2.** Минимальный автомат, эквивалентный  $A$ , есть  $A_{min} = \langle V, E, s, T \rangle$ , где  $V = \{R_A(w) \text{ по всем } w\}$ ,  $E = \{R_A(w) \xrightarrow{c} R_A(wc)\}$ ,  $s = R_A(\varepsilon)$ ,  $T = \{\emptyset\}$ .

Для недетерминированных есть алгоритм Бржозовского [\[wiki\]](#) [\[pdf\]](#) :

$$A_{min} = d(r(d(r(A)))) = drdrA$$

Где  $d$  – детерминизация автомата,  $r$  – разворот всех рёбер автомата и  $\text{swap}(S, T)$ .

Для детерминированных обычно пользуются алгоритмом Хопкрофта.

### 3.4. Хопкрофт за $\mathcal{O}(VE)$

```

1 # дополняем автомат до полного (next[v, char] - или конец ребра, или -1)
2 fictive = newVertex() # next[fictive, *] = -1, isTerminal[fictive] = 0
3 for v in [0, vertexN):
4     for char:
5         if next[v, char] == -1:
6             next[v, char] = fictive
7
8 # строим обратные рёбра, инициализируем классы
9 for v in [0, vertexN):
10     for char:
11         prev[next[v, char], char].add(v)
12     type[v] = isTerminal[v] # тип/класс вершины
13     A[type[v]].add(v) # A[type] - множество вершин типа type
14 typeN = 2 # изначально есть только терминалы и нетерминалы
15
16 # основной цикл с очередью
17 queue q; q.push(0); # любой из классов 0, 1
18 while !q.isEmpty():
19     t = q.pop()
20     for char:
21         Split(t, char) # самая сложная процедура

```

Функция `Split(t, c)` должна разделить во всех существующих классах разделить вершины по предикату «ведёт ли ребро по символу  $c$  в класс  $t$ ?» и положить в очередь новые классы.

Её несложно реализовать за  $\mathcal{O}(E)$ , тогда суммарное время работы алгоритма  $\mathcal{O}(VE)$ , так как `Split` вызовется не более  $V - 2$  раз.

### 3.5. Хопкрофт за $\mathcal{O}(E \log V)$

Можно реализовать Split оптимальнее. Главная идея:

1. реализовать Split( $t$ ) за  $\mathcal{O}$ (просмотра входящих рёбер в  $t$ ),
2. при разбиении класса на два добавлять в очередь только меньшую половину.

```

1 def Split(t, char):
2     cc++ # очищаем vertexMark[] за  $\mathcal{O}(1)$ 
3     allTypes = []
4     types = []
5     for v in A[t]:
6         for u in prev[v, char]:
7             if vertexMark[u] != cc:
8                 vertexMark[u] = cc
9                 t0 = type[u]
10                allTypes.add(t0)
11                B[t0].add(u) # для каждого типа t0 помним посещённую половину
12                if B[t0].size == 0: types.add(t0)
13                if B[t0].size == A[t0].size: types.remove(t0)
14
15    for t0 in types: # те классы, которые поделились относительно (t, char)
16        if B[t0].size * 2 > A[t0].size: # если B[t0] - большая половина
17            B[t0].clear()
18            for u in A[t0]: # тратим времени  $\mathcal{O}(B[t0].size)$ , то есть,  $\mathcal{O}$ (уже потраченного)
19                if vertexMark[u] != cc:
20                    B[t0].add(u)
21            # теперь B[t0] - точно меньшая половина
22            for u in B[t0]: # перекрашиваем половину B[t0]
23                type[u] = typeN # номер нового класса - автоинкремент
24                A[typeN].add(u)
25                A[t0].add(u)
26            # Старый класс t0 разбит на 2 новых (t0, typeN), кладем в очередь меньшую половину
27            q.add(typeN++)
28
29    for t0 in allTypes: # быстрое обнуление массивов B[]
30        B[t0].clear()

```

**Время работы.** Блок строк [15-26] работает за  $\mathcal{O}([5-13])$ . Блок [5-13] – перебор вершин  $v \in A[t]$  и входящих в них рёбер. Если вершина  $v \in A[t]$  на строке (5), то следующий раз мы положим её в очередь в составе в два раза меньшего класса  $\Rightarrow$  переберём её не более  $\log V$  раз  $\Rightarrow$  каждое входящее рёбро переберём  $\log V$  раз  $\Rightarrow$  время работы  $\mathcal{O}(E \log V)$ .

*Замечание 3.5.1.* Здесь  $E$  – количество рёбер в автомате, дополненном до полного  $\Rightarrow E = V \cdot |\Sigma|$ .

### 3.6. Изоморфность

**Def 3.6.1.** *Изоморфизм автоматов: биекция на вершинах такая, что начальная  $\rightarrow$  начальная, терминальные  $\rightarrow$  терминальные, рёбра  $\rightarrow$  рёбра.*

- Проверка двух автоматов на изоморфизм за  $\mathcal{O}(m_1 + m_2)$

Пишем  $dfs(v_1, v_2)$ , который параллельно ходит по двум автоматам, запускаем  $dfs(start_1, start_2)$ .

- Проверка автомата на эквивалентность минимальному за  $\mathcal{O}((m_1 + m_2))$

Пусть 1-й из двух минимальный. Оставим от 2-го только вершины, из которых достижимы

терминальные. Теперь каждая вершина 2-го лежит в одном из классов эквивалентности = вершин 1-го. Пишем  $dfs(v_1, v_2)$ , который параллельно ходит по двум автоматам, и для каждой  $v_2$ , понимает, в каком классе  $v_1$  она лежит. Если какая-то  $v_2$  должна лежать сразу в двух классах, не эквивалентны. Если в одном из автоматов нет парного ребра, не эквивалентны. Запускаем  $dfs(start_1, start_2)$ .

### 3.7. Литература

[hopcroft,motwani,ulman'2001]. Книжка про автоматы. Минимизация в разделе 4.4, стр. 154.

# Лекция #4: Суффиксный автомат

4-я пара, весна 2025

## 4.1. Введение, основные леммы

Будем обозначать « $v$  – суффикс  $u$ » как  $v \subseteq u$

**Def 4.1.1.** Суффиксный автомат строки  $s$ ,  $SA(s)$  – min по числу вершин детерминированный автомат, принимающий ровно суффиксы строки  $s$ , включая пустой.

**Def 4.1.2.**  $R_s(u)$  – правый контекст строки  $u$  относительно строки  $s$ .

$$R_s(u) = \{x \mid ux \subseteq s\}$$

Пример:  $s = abacababa \Rightarrow R_s(ba) = \{cababa, ba, \epsilon\}$

Мы будем рассматривать правые контексты только от подстрок  $s \Rightarrow R_s(v) \neq \emptyset$ .

**Def 4.1.3.**  $V_A = \{u \mid R_s(u) = A\}$  – все строки с правым контекстом  $A$ .

**Def 4.1.4.**  $V(w)$  – вершина автомата, в которой заканчивается строка  $w$  ( $w \in V_A$ ).

*Утверждение 4.1.5.*  $\forall A$  все строки  $V_A$  заканчиваются в одной вершине суффаавтомата. Собственно вершины автомата, как и в 3.3.2 – классы  $V_A$ .

*Следствие 4.1.6.* Рёбра между вершинами проводятся однозначно:

$(\exists x \in V_A, xc \in V_B) \Leftrightarrow$  (между вершинами  $V_A$  и  $V_B$  есть ребро по символу « $c$ »).

**Lm 4.1.7.**  $R_s(v) \cap R_s(u) \neq \emptyset, |v| \leq |u| \Rightarrow v \subseteq u$ .

*Доказательство.* Возьмём  $w \in R_s(v) \cap R_s(u)$ , строки  $vw$  и  $uw$  – суффиксы  $s$ , отрезем  $w$ . ■

**Lm 4.1.8.**  $R_s(v) = R_s(u), |v| \leq |u| \Rightarrow v \subseteq u$ .

**Lm 4.1.9.**  $v$  – суффикс  $u \Rightarrow R_s(u) \subseteq R_s(v)$  (у суффикса правый контекст шире).

**Lm 4.1.10.**  $v \subseteq w \subseteq u, R_s(v) = R_s(u) \Rightarrow R_s(v) = R_s(w) = R_s(u)$  (непрерывность отрезания).

*Следствие 4.1.11.*  $\forall A$  класс  $V_A$  определяется парой  $s_{min} \subseteq s_{max}: V_A = \{w \mid s_{min} \subseteq w \subseteq s_{max}\}$ .

**Def 4.1.12.** Суффиксная ссылка  $V(w)$  – вершина  $V(z): z \subseteq w, R_s(z) \neq R_s(w), |z| = \max$ .

$\text{suf}[V]$  – суффиксная ссылка  $V_A$

$\text{len}[V] = |s_{max}(V_A)|$

**Lm 4.1.13.**  $|s_{min}(V_A)| = \text{len}[\text{suf}[A]] + 1$

*Замечание 4.1.14.*  $\text{suf}[A]$  корректно определена iff  $\text{len}[A] \neq 0$ .

**Lm 4.1.15.** У  $SA(s)$  терминальными являются вершины  $V(s), \text{suf}[V(s)], \text{suf}[\text{suf}[V(s)]], \dots$

Из 4.1.5 (вершины), 4.1.6 (рёбра), 4.1.15 (терминалы) мы представляем устройство суффаавтомата.

Из лемм и 4.1.11 (вершина = отрезок суффиксов) 4.1.12 (суффссылка) мы получили инструменты для построения линейного алгоритма.



## 4.2. Алгоритм построения за линейное время

Алгоритм будет онлайн наращивать строку  $s$ . Начинаем с пустой строки  $s = \varepsilon$ .  
Осталось научиться, дописывая к  $s$  символ  $a$ , от  $SA(s)$  переходить к  $SA(sa)$ .

Будем в каждый момент времени поддерживать:

- (a) `start` –  $V(\varepsilon)$  (стартовая вершина)
- (b) `last` –  $V(s)$  (последняя вершина)
- (c) `suf[V]` – для каждой вершины автомата суффикссылку
- (d) `len[V]` – для каждой вершины автомата максимальную длину строки
- (e) `next[A, c]` – рёбра автомата

База:  $s = \varepsilon$ , `start` = `last` = 1.

Для того, чтобы понять, как меняется автомат, нужно понять, как меняются его вершины – правые контексты. Переход:  $s \rightarrow sa \Rightarrow R_s(v) = \{z_1, \dots, z_k\} \rightarrow R_{sa}(v) = \{z_1a, \dots, z_k a\} \text{ } +? \varepsilon$ .

**Пример 4.2.1.**  $s = abacabx$ ,  $R_s(ab) = \{acabx, x\}$ ,  $R_{sa}(ab) = \{acabxa, xa\}$

**Пример 4.2.2.**  $s = abacab$ ,  $R_s(ba) = \{cab\}$ ,  $R_{sa}(ba) = \{caba, \varepsilon\}$

**Lm 4.2.3.**  $(\varepsilon \in R_{sa}(v)) \Leftrightarrow (v \subseteq sa)$ .

**TODO**

## 4.3. Реализация

```

1  template<const int N> // автомат от строки из N вершин
2  struct Automaton:
3      static const int VN = 2 * N + 1; // число вершин будет 2N, и ещё 1 фиктивная.
4      int root, last, n, len[VN], suf[VN];
5      map<int, int> to[VN]; // храним рёбра по-простому, можно лучше: массив, хеш-таблица
6      Automaton(): // конструктор
7          n = 1, root = last = newV(0, 0); // 0 - фиктивная, 1 - корень
8      int newV(int _len, int _suf): // создание новой вершины
9          len[n] = _len, suf[n] = _suf; // уже знаем длину и суффикссылку
10         return n++;
11     void add(int a): // добавляем один символ a, перестраиваем SA(s) → SA(s+a)
12         int r, q, p = last; // p указывает на старый last
13         last = newV(len[last] + 1, 0); // s+a заканчивается в новом last
14         while (p && !to[p].count(a)) // пропускаем вершины, из которых нет ребра по a
15             to[p][a] = last, p = suf[p]; // создаём им ребро по a
16         if (!p) // если мы дошли до фиктивной вершины 0
17             suf[last] = root;
18         else if (len[q = to[p][a]] == len[p] + 1) // если не нужно раздваиваться
19             suf[last] = q;
20         else:
21             r = newV(len[p] + 1, suf[q]); // r - вершина для части q, суффиксов sa
22             suf[last] = suf[q] = r;
23             to[r] = to[q]; // r - просто копия q
24             while (p && to[p][a] == q) // все суффиксы sa должны заканчиваться в r
25                 to[p][a] = r, p = suf[p];
26     Automaton SA;
27     for (char c : str) SA.add(c);

```



## 4.4. Линейность размера автомата, линейность времени построения

**Теорема 4.4.1.** При  $n \geq 3$  в автомате не более  $2n-1$  вершин.

*Доказательство.* Для  $n = 2$  имеем базу «три вершины».

Переход  $n \rightarrow n+1$ : добавится две вершины. ■

*Замечание 4.4.2.*  $2n-1$  достигается на тесте «abbbbb...».

**Теорема 4.4.3.** При  $n \geq 3$  в автомате не более чем  $3n-4$  ребра.

*Доказательство.* Назовём ребро  $p \rightarrow q$  коротким, если  $\text{len}[q] = \text{len}[p] + 1$ .

Короткие рёбра образуют дерево  $\Rightarrow$  их не более  $2n-2$ .

Длинным рёбрам  $e: p \xrightarrow{c} q$  сопоставим строки  $u+c+w$ :  $u$  – длиннейший путь в  $p$ ,  $w$  – длиннейший из  $q$ . Пути длиннейшие  $\Rightarrow u+c+w$  из старта в терминал  $\Rightarrow$  суффикс. Пути длиннейшие  $\Rightarrow u$  и  $w$  состоят только из коротких рёбер  $\Rightarrow \forall e$  строки  $u+c+w$  различны  $\Rightarrow$  их не больше непустых суффиксов  $\Rightarrow \leq n-1$ . Итого рёбер  $\leq (2n-2) + (n-1) = 3n-3$ .

Ещё  $-1$  получаем т.к. число вершин  $2n-1$  достигается *только* на тесте abbbb... ■

*Замечание 4.4.4.*  $3n-4$  достигается на тесте «abbb...bbbc».

## 4.5. Решение задач

### 4.5.1. LZSS за $\mathcal{O}(n)$

#### • LZSS

Мы можем использовать запись  $(n, i)$  «повторить  $n$  символов, начиная с  $i$ -й позиции» для сжатия данных. Например, «abababcbab» можно теперь записать, как «ab(4,0)c(3,1)».

Задача в том, чтобы выбрать код min длины. Чуть упростим задачу: пусть и один символ, и пара  $(n, i)$  записываются одинаковым числом байт, тогда (а) выгодно использовать только пары  $(n, i)$ , (б) выбирать пару с максимальным  $n$  и любым  $i$ . Сделаем это суф.автоматом за  $\mathcal{O}(n)$ .

#### • Жадность

Построим автомат от всего текста  $t$ .  $\forall$  вершины  $v$  автомата предподсчитаем  $i[v]$  позицию начала самого длинного суффикса-терминала, достижимого из  $v$ .

Пусть мы уже выписали  $p$  символов. Пропускаем строку  $t[p:]$  через автомат, пока  $i[v] < p$ .

Пусть мы спустились в итоге  $n$  раз, остановились в  $v$ :  $i[v] < p \Rightarrow$  возвращаем пару  $(n, i[v])$ .

#### • Практические нюансы

Исходный текст следует бить на куски, например  $10^6$  байт, чтобы автомат влезал в кэш.

Код, который мы нашли суф.автоматом, следует записать оптимально:

символ кодируется как  $9 = 1 + 8$  бит, а пара  $(n, i)$  как  $\min(9 \cdot n, 1 + \lceil \log(N-p) \rceil + \lceil \log p \rceil)$  бит, где  $p$  – сколько мы к паре  $(n, i)$  уже выписали символом.

### 4.5.2. Общая подстрока $k$ строк

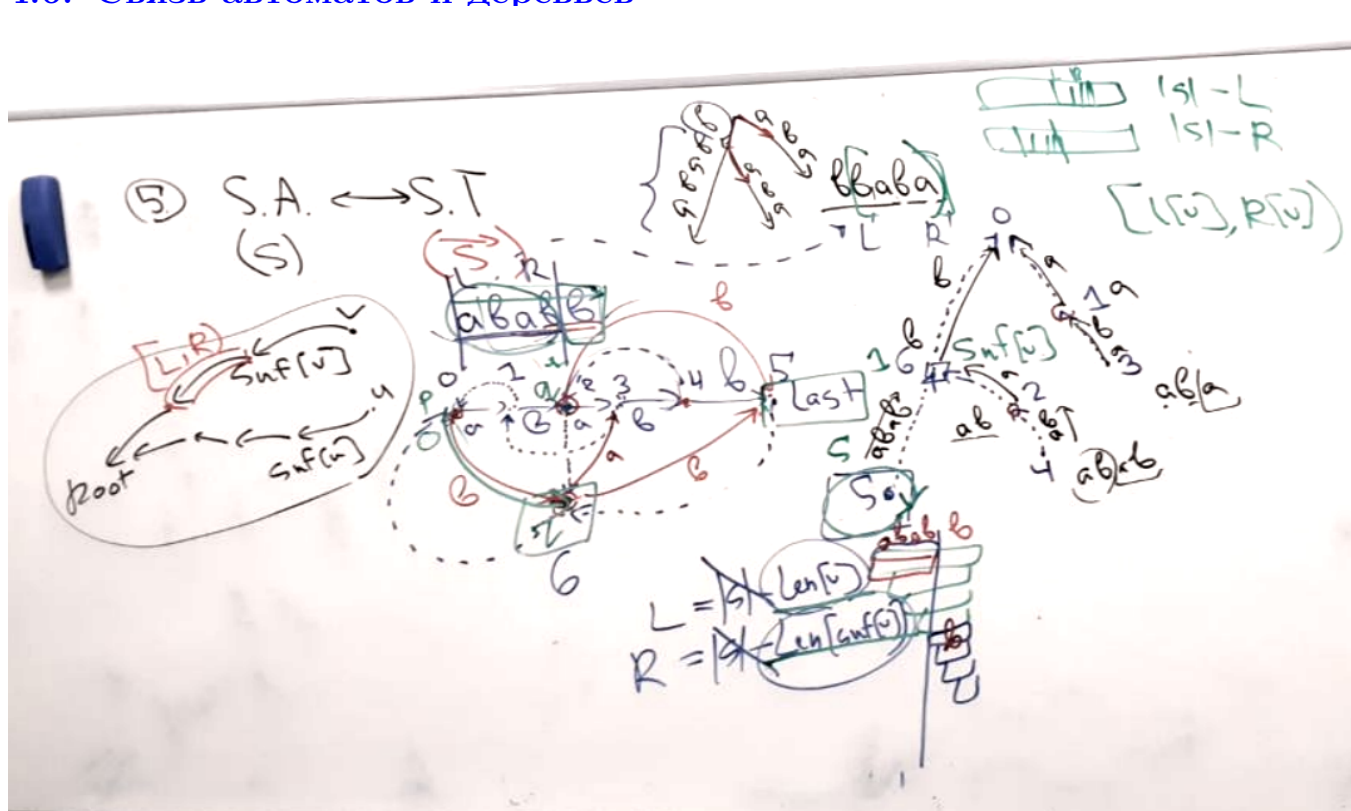
Построим суф.автомат  $A$  от минимальной из строк. Далее пропустим все остальные строки через  $A$  и для каждой вершины  $v$ , которой соответствует класс строк  $(\text{len}[suf[v]], \text{len}[v])$  будем поддерживать  $m[v]$  – длину max общей подстроки, заканчивающейся в  $v$ .

**Пересчёт  $m[v]$ .** Пропускаем строку  $s$  через  $A$ :

```
1 v = root, k = 0
2 for (c in s)
3     while (next[v][c] == 0) // нет ребра
4         v = suf[v], k = len[v]
5     v = next[v][c], k++
6     // пропустили p - префикс s через A
7     // максимальный суффикс p, который есть в A, заканчивается в v
8     // длина суффикса p равно k
```

По всем вершинам  $v$  запоминаем  $mk[v] = \max k$ , а в конце проталкиваем  $mk$  по суффиксным ссылкам. В итоге  $m[v] = \min(m[v], mk[v])$ .

## 4.6. Связь автоматов и деревьев



## 4.7. Литература и история

История.

- 1973 | люди научились за  $O(n)$  растить суффдеревья, первым был алгоритм Вейнера
- 1983 | люди увидели связь дерева и автомата,  $ST(s).edges = SA(s^R).suflinks$
- 1987 | заметили, что в автомате линия рёбер
- 1997 | придумали, как строить автоматы от строк напрямую, без деревьев
- 2001 | придумали, как строить автоматы уже от бора строк
- 2005 | суфф автоматы потихоньку переворачивают мир ICPC

[e-maxx]. Полное изложение суффавтомата.

[itmo]. Изложение суффавтомата без оценок размера и времени работы.

[wiki]. Полное изложение суффавтомата (автор adamant).

[codeforces]. Пост от adamant на тему суффавтоматов.

[cp-algorithms]. Ещё одно описание суффавтоматов.

[SK]. Код для копипаста.

[2009|pdf]. Статья Mohri, Moreno, Weinstein про «суффавтомат от бора» и «music identification».

[2009|pdf]. Preprint статьи выше.

# Лекция #5: Линейное программирование

5-я пара 2025

## 5.1. Применение LP и ILP

**Def 5.1.1.** Задача LP. Поиск  $x: Ax \leq b, x \geq 0, \langle c, x \rangle \rightarrow \max, x \in \mathbb{R}^n$

**Def 5.1.2.** Задача ILP. Поиск  $x: Ax \leq b, x \geq 0, \langle c, x \rangle \rightarrow \max, x \in \mathbb{Z}^n$

При этом мы помним, как приводить к виду LP несколько похожих задач.

### • LP: Кратчайшее расстояние в графе (от $s$ до всех)

$x_i$  — расстояние до вершины  $i$ ,  $x_s = 0$

Для каждого ребра  $a \xrightarrow{w} b$  добавляем условие  $x_b \leq x_a + w$

$\sum_i x_i \rightarrow \max$

### • LP: Максимальный поток $s \rightarrow t$

Обратные рёбра не создаём,  $x_e$  — поток по ребру  $e$ .

$0 \leq x_e \leq capacity_e$  (второе добавляем в список неравенств)

Для каждой вершины  $v \neq s, t$  добавляем условие  $\sum x_{e \in in(v)} = \sum x_{e \in out(v)}$

$\sum_{e \in out(s)} x_e \rightarrow \max$

**Немного магии:** в симплекс-методе можно  $0 \leq x_e$  бесплатно заменить на  $0 \leq x_e \leq c_e$ .

### • LP: Поток размера $k$ минимальной стоимости $s \rightarrow t$

$\sum_{e \in out(s)} x_e = k$

$\sum_e x_e cost_e \rightarrow \min$

### • LP: Мультипродуктовый поток

Мы решаем на одной сети одновременно  $k$  задач «пустить из  $s_i$  в  $t_i$   $F_i$  единиц потока». По каждому ребру  $e$  течёт одновременно  $f_{e1}, f_{e2}, \dots, f_{ek}$ , и должно выполняться общее ограничение  $\forall e \sum_i f_{ei} \leq capacity_e$ . В отличие от предыдущих проще чем «сведём к LP» задача не решается.

### • ILP: Два непересекающихся пути $A \rightarrow B, C \rightarrow D$

Задача NP-трудна, через поток размера два (склеить A и B, C и D) не делается.

Зато является частным случаем *целочисленного мультипродуктового потока*.

### • ILP: Паросочетание в произвольном графе максимального веса

Каждому ребру сопоставляем переменную  $x_e$  — взяли ли мы ребро в паросочетание.  $x_e \geq 0$ .

Каждой вершине условие  $\sum_{e \in adj(v)} x_e \leq 1$ .

$\sum_e x_e cost_e \rightarrow \max$ .

*Замечание 5.1.3.* На самом деле эту задачу можно решить за полином через LP

### • LP: Паросочетание в двудольном графе максимального веса

Та же сеть, что в предыдущей, но благодаря двудольности матрица  $A$  задачи LP будет обладать свойством *тотальной унимодулярности*, из чего следует, что симплекс автоматически найдёт целочисленное решение.

### • LP: Вершинное покрытие минимального веса

$0 \leq x_v$  – взяли ли вершину  $v$ , для каждого ребра  $(a, b)$  имеем  $x_a + x_b \geq 1$ . Цель:  $\sum_v x_v w_v \rightarrow \min$ .  
 $x_v \in \mathbb{Z} \Rightarrow$  решаем ILP, возвращаем  $\{i \mid x_i = 1\}$ , получили точное решение.  
 $x_v \in \mathbb{R} \Rightarrow$  решаем LP, возвращаем  $\{i \mid x_i \geq \frac{1}{2}\}$ , получили 2-приближение.

## 5.2. Сложность задач LP и ILP

Симплекс метод решает LP на большинстве тестов за полином, но в худшем всё же за экспоненту. Есть полиномиальные решения LP. Одно из них – *метод эллипсоидов*, им мы займёмся сегодня.

### **Lm** 5.2.1. ILP $\in$ NP-hard

*Доказательство.* Сведём SAT.  $0 \leq x_i \leq 1$ , для каждого дизъюнкта  $\sum x_{i_j} \geq 1$ . ■

## 5.3. Нормальные формы задачи, сведения

Есть несколько форм задачи LP, равносильных стандартной форме  $Ax \geq 0, x \geq 0, \langle c, x \rangle \rightarrow \max$ :

- $Ax = b, x \geq 0$  (уравнения уместо неравенств).
- $\langle c, x \rangle \rightarrow \min$  (минимизация вместо максимизации).
- $Ax \leq b, \langle c, x \rangle \rightarrow \max$  (отсутствует  $x \geq 0$ ).
- $Ax \leq b, x \geq 0$  (отсутствует максимизация/минимизация).
- $Ax \geq 0$ .

Обозначим  $n$  – число неизвестных,  $m$  – число уравнений.

Будем сводить разные формы задачи друг к другу, следить, как меняются  $n$  и  $m$ .

$Ax = b \Leftrightarrow Ax \leq b \wedge -Ax \leq -b$ . Свели равенства к неравенствам.  $n, m \rightarrow n, 2m$ .

$Ax \leq b \Leftrightarrow Ax + y = b, y \geq 0$ . Добавили для каждого неравенства переменную  $y_i \geq 0$ , обращающую нер-во в равенство. Свели неравенства к равенствам.  $n, m \rightarrow n + m, m$ .

$\langle c, x \rangle \rightarrow \max \Leftrightarrow \langle -c, x \rangle \rightarrow \min$ . Минимизация и максимизация равносильны.

Если мы умеем решать задачу  $Ax \leq b$ , то  $Ax \leq b, x \geq 0$  – частный случай, а максимизацию можно прикрутить бинар-поиском по ответу  $\alpha$ , добавив одно неравенство:  $\langle c, x \rangle \geq \alpha$ .

Если у нас отсутствует  $x \geq 0$ , но очень хочется, можно ввести новые переменные:

$x_i = u_i - v_i, u_i, v_i \geq 0$ .  $n, m \rightarrow 2n, m$ . На практике так, не делают, это теоретический трюк.

$Ax \geq 0$  : **TODO**

## 5.4. Симплекс метод

### 5.4.1. Кошёрный вид задачи

Пусть исходная задача была в стандартной форме  $Ax \leq b, x \geq 0, \langle c, x \rangle \rightarrow \max$ . И все  $b_i \geq 0$ . Введём переменные  $y_j: \langle a_j, x \rangle + y_j = b_j, y_j \geq 0$ . Рассмотрим решение  $x_i = 0, y_j = b_j$ .

**TODO**

### 5.4.2. Поиск начального решения

Пусть  $\exists b_i < 0$ , возьмём  $t = -\min b_i > 0$ . Изменим наши неравенства вида  $Ax \leq b$  на  $Ax - t \leq b$  (из всех вычтем  $t$ ). Заметим, что  $x_i = 0$  под новые нер-ва подходит. Осталось решить  $t \rightarrow \min$  при

$t \geq 0$ : запустим симплекс-метод. Если  $\min t = 0$ , нашли начальное решение, иначе решений  $\nexists$ .

### 5.4.3. Основной шаг оптимизации

У базисных  $x_i$   $c_i = 0$ . Пусть у всех не базисных  $x_i$   $c_i \leq 0 \Rightarrow$  решение оптимально:

$\forall i \ x_i \geq 0, c_i \leq 0 \Rightarrow \forall x, c \langle c, x \rangle \leq 0 \Rightarrow \langle c, x \rangle = 0 = \max$  – оптимум.

## 5.5. Геометрия и алгебра симплекс-метода

Система неравенств  $Ax \leq b$  — пересечение полупространств. Такой объект называется полиэдром. Полиэдр выпукл, максимум любой линейной функции на нём достигается в вершине.

**Lm 5.5.1.** Для системы  $Ax = b, x \geq 0, \langle c, x \rangle \rightarrow \max$  из  $m$  уравнений  $\exists$  оптимальное решение, содержащее не более  $m$  ненулевых  $x_i$ .

*Доказательство.* Рассмотрим оптимальное решение  $x^*$  с максимальным числом нулевых компонент. Пусть число нулей  $k \geq m + 1$ . Мы хотим подвигать  $x^*$  так, чтобы нули остались нулями, а  $x^*$  осталось решением. Решение системы « $m$  уравнений  $Ax = b$  и  $n - k$  уравнений  $x_i = 0$ » или пусто, или хотя бы прямая ( $\dim = n - m - (n - k) = k - m \geq 1$ ).  $x^*$  — решение  $\Rightarrow \exists$  прямая, пойдём по ней в сторону увеличения  $\langle c, x \rangle$ , пока не упрёмся в ограничение  $x_j = 0$ .

Получили решение, у которого  $\langle c, x \rangle$  не хуже, а нулей больше. Противоречие. ■

### Теорема 5.5.2. Корректность симплекса

*Доказательство.* Чем занимается симплекс? Перебирает наборы из  $m$  столбцов, которые соответствуют ненулевым переменным. Зафиксировав эти  $m$  столбцов и занулив оставшиеся переменные, мы однозначно получаем кандидата на оптимальное решение.

Конечность алгоритма: есть всего  $\binom{m}{n}$  выборов, важно, чтобы они не повторялись.

Для этого мы используем правило Блэнда (доказательство) — брать  $\min$  столбец.

Оптимальность решения после остановки симплекса:  $\forall i \ c_i \leq 0 \Rightarrow \langle c, x \rangle \leq 0 \Rightarrow 0$  – оптимум. ■

#### • Симплекс перебирает вершины полиэдра

Если исходная задача имела форму  $Ax \leq b, x \geq 0$ , то область допустимых решений — полиэдр, а оптимум  $\langle c, x \rangle$  достигается в вершине полиэдра. Симплексу мы скармливаем систему  $Ax + y = b, x \geq 0, y \geq 0$ . При этом и  $y_i = 0$ , и  $x_i = 0$  означает, что одно из исходных неравенств обратилось в равенство (полупространство  $\rightarrow$  плоскость). Из  $n + m$  переменных  $x_i, y_i$   $n$  обратятся в ноль, чем породят  $n$  плоскостей, пересечение которых — вершина полиэдра.

#### • Когда у симплекса есть вероятность застрять?

Если вершина полиэдра — не оптимум, из неё есть ребро, по которому функция увеличивается. Но симплекс может остаться на месте, лишь поменяв множество столбцов. Это значит, что вершина полиэдра есть одновременное пересечение больше чем  $n$  плоскостей.

## 5.6. Литература, полезные ссылки

[CF]. LP: геометрия, двойственность

[cormen]. Доступное для школьников описание симплекса.

[test]. Тест, на котором симплекс работает за экспоненту (Klee–Minty cube).

[efficiency]. Чуть подробнее про время работы симплекса (Hirsch Conjecture and so on).

[bland]. Правило Блэнда.

[max-babenko]. Хороший видео курс про линейное программирование от Максима Бабенко.

## 5.7. Перебор базисных планов

Понимание симплекса дало нам простейшее решение для LP – перебрать все  $\binom{m}{n}$  базисных планов и для каждого пустить Гаусса. Такое решение можно использовать для тестирования. Заметьте, что до этого мы не знали вообще никаких решений задачи LP кроме симплекса.

## 5.8. Обучение перцептрона

В фундаменте нейронных сетей живёт один нейрон, он же перцептрон. Для решения некоторых задач классификации достаточно сети, состоящей лишь из одного нейрона.

**Задача:** даны точки  $a_i \in \mathbb{R}^n$  и значения  $y_i \in \{\pm 1\}$ , найти гиперплоскость  $b, x_1, \dots, x_n$ , что  $\forall i \text{ sign}(b + a_{i1}x_1 + a_{i2}x_2 + \dots + a_{in}x_n) = \text{sign}(y_i)$

Сразу упростим задачу

1. Добавим  $\forall i \ a_{i0} = 1$ , обозначим  $x_0 = b$ .
2. Для всех  $y_i = -1$  заменим  $a_i$  на  $-a_i$ , а  $y_i$  на 1. 3. Нормируем все  $a_i$ .

Теперь мы просто ищем такой вектор  $x$ , что  $\forall i \ \langle x, a_i \rangle > 0$ .

**Решение:** начнём с  $x_0 = 0$ , пока  $\exists i_k \ \langle x_k, a_{i_k} \rangle \leq 0$ , переходим к  $x_{k+1} = x_k + a_{i_k}$ .

$$|a_i| = 1, \ |x_k|^2 = (x_{k-1} + a_{i_{k-1}})^2 = x_{k-1}^2 + 1 + 2\langle x_{k-1}, a_{i_{k-1}} \rangle \leq |x_{k-1}|^2 + 1 \leq k. \quad (1)$$

$$x^* - \text{искомый ответ}, \ |x^*| = 1, \ \langle x_k, x^* \rangle = \sum_j \langle a_{i_j}, x^* \rangle \geq k\alpha, \text{ где } \alpha = \min_i \langle a_i, x^* \rangle > 0. \quad (2)$$

$$k\alpha \stackrel{(2)}{\leq} \langle x_k, x^* \rangle \leq |x_k| \stackrel{(1)}{\leq} \sqrt{k} \Rightarrow \sqrt{k} \leq \frac{1}{\alpha} \Rightarrow k \leq \alpha^{-1/2}$$

■

**Проблема:** уже при  $n \geq 2$  мы можем построить тесты с  $\alpha$  близким к нулю.

## 5.9. Метод эллипсоидов (Хачаян'79)

Решаем задачу  $P = \{x \mid Ax \geq b\}$ , найти  $x \in P$ , ограничение  $P \neq \emptyset \Rightarrow \text{Volume}(P) > 0$ .

Кроме  $A$  и  $b$  нам должны дать шар  $E_0(x_0, r_0) \supseteq P$ .

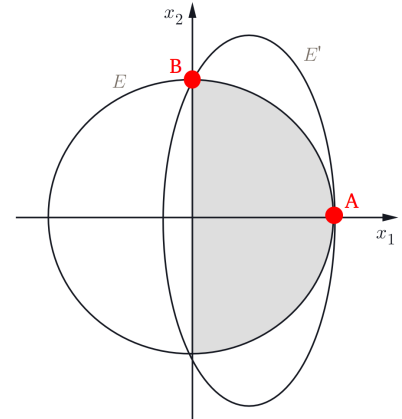
### • Алгоритм

В каждый момент времени у нас есть эллипсоид  $E_k(x_k, R_k): x^T R x \leq 1$ , содержащий  $P$ .

Если  $x_k \in P$ , счастье. Иначе выберем  $i_k: \langle a_{i_k}, x \rangle < b$ .  $P \subseteq E_k \cap H_k$ , где  $H_k = \{x \mid \langle a_{i_k}, x \rangle \geq b\}$  (в половине эллипсоида по направлению  $a_{i_k}$  от центра). Теперь выпишем переход к  $(k+1)$ -му эллипсоиду в предположении, что  $E_k$  – единичная сфера, и  $\forall i \ |a_i| = 1$ .

$$\begin{aligned} x_{k+1} &= x_k + \frac{1}{n+1} a_{i_k} \\ r_{k+1} &= \left( \frac{n}{n+1}, \frac{n}{\sqrt{n^2-1}}, \dots, \frac{n}{\sqrt{n^2-1}} \right) \\ R_{k+1} &= \begin{bmatrix} \frac{(n+1)^2}{n^2} & 0 & 0 \\ 0 & \frac{n^2-1}{n^2} & 0 \\ 0 & 0 & \ddots \end{bmatrix} \end{aligned}$$

Где первая координата радиуса указана по направлению  $a_{i_k}$ .





### • Математика: эллипсоиды

Эллипс:  $\frac{x^2}{a^2} + \frac{y^2}{b^2} \leq 1$ .

Добавим поворот и переход к  $\mathbb{R}^n$ :  $z^t R z \leq 1$ , где  $z \in \mathbb{R}^n$ ,  $R \in \mathbb{R}^{n \times n}$ ,  $R \succ 0$ .

Случай из  $\mathbb{R}^2$  без поворота:  $z = (x, y)$ ,  $R = \begin{bmatrix} \frac{1}{a^2} & 0 \\ 0 & \frac{1}{b^2} \end{bmatrix}$ .

### • Математика: матрицы

$R \succ 0$  (положительно определена)  $\Rightarrow R = B^t D B$  (здравствуй, Жорданова форма), где

$B$  – ортонормированная матрица собственных векторов,

$D$  – диагональная матрица собственных чисел (с точки зрения геометрии  $D_{ii} = \frac{1}{r_i^2}$ ).

Более того  $B^t = B^{-1}$  (это нормально для ортонормированных матриц).

### Lm 5.9.1. Растяжение системы координат по направлению $z$

(1) Важно помнить, что если  $f(x, R) = x^t R x$ , то

$f(x + y, R) = f(x, R) + f(y, R)$ ,  $f(x, R + \Delta R) = f(x, R) + f(x, \Delta R)$ .

(2) Фокус:  $\forall z \in \mathbb{R}^n: |z| = 1$  матрица  $S = z z^t$  обладает свойством  $f(z, S) = 1$ ,  $\forall v \perp z$   $f(v, S) = 0$ .

(1),(2)  $\Rightarrow \forall A, |z|=1, \alpha \in \mathbb{R}, S = A + \alpha z z^t$   $f(z, S) = f(z, A) + \alpha$ ,  $\forall v \perp z$   $f(v, S) = f(v, A)$

### • Математика: системы координат

Почему мы предполагали, что  $E_k$  – единичная сфера?

Это удобно, и мы всегда можем перейти к такой системе координат, где это верно:

$R = B^t D B, x^t R x = 1 \Rightarrow S = B^t D^{-1/2}, x = S y, y^2 = 1$  ( $y$  – точка на единичной сфере).

### • Обоснование алгоритма

Радиус  $r_1 = \frac{n}{n+1}$  подобран так, чтобы точка  $A$  была покрыта:  $\frac{1}{n+1} + \frac{n}{n+1} = 1$ .

Радиус  $r_2 = \frac{n}{\sqrt{n^2-1}}$  подобран так, чтобы точка  $B$  была покрыта:  $\frac{x_1^2}{r_1^2} + \frac{x_2^2}{r_2^2} = \left(\frac{1}{n+1}\right)^2 \left(\frac{n+1}{n}\right)^2 + \frac{n^2-1}{n^2} = 1$ .

Посмотрим на частное объёмов. Объём эллипсоида равен  $f(n) r_1 r_2 \dots r_n$ , поэтому  $\frac{V_{k+1}}{V_k} = \frac{r_1 r_2 \dots r_n}{1 \cdot 1 \dots 1} = \frac{n}{n+1} \left(\frac{n}{\sqrt{n^2-1}}\right)^{n-1} = \dots \leq e^{-1/2(n+1)} \Rightarrow$  за  $2(n+1)$  шагов объём уменьшится хотя бы в  $e$  раз.

$\Rightarrow$  количество шагов не более  $2(n+1) \cdot \ln(\text{Volume}(E_0)/\text{Volume}(P))$ .

Хорошая новость: это полином от  $n$ .

Плохая новость: в худшем это  $\mathcal{O}(n^4 \log(nU))$ .

Пояснение:  $\text{Volume}(E_0) \leq (nU)^{\Theta(n^2)}$ ,  $\text{Volume}(P) \geq (nU)^{-\Theta(n^3)}$ .  $U$  – ограничение на  $a_{ij}, b_i \in \mathbb{Z}$ .

### • Время работы алгоритма

Один шаг работает за  $mn + n^2$ .

$m$  – количество проверок  $\langle a_i, x_k \rangle \geq b_i$ .

$n^2$  – время пересчёта матрицы система координат.

Требуемая точность вычислений –  $n^3 \log U$  цифр.

Итого:  $\mathcal{O}^*(n^9)$ , где  $9 = 2 + 3 + 4$ .

### • Обобщение

Можно применить не только к  $\cap$  полупространств, но и к  $\cap \forall$  выпуклых множеств  $P_i$ .

Нам достаточно уметь проверять  $x_k \in P_i$  и искать опорную плоскость к  $P_i$ .

Так получается полиномиальное решение для SDP (semidefinite programming) [\[wiki\]](#).



## • Псевдокод

```

1 # Наш эллипсоид задаётся уравнением  $(x - x_0)^t D^{-1} (x - x_0) = 1$ 
2 # Напомним, что  $D \succ 0 \Rightarrow D = A^T R A, D^{-1} = A^T R^{-1} A$ , где  $R$  - диагональная
3  $x_0 = [0, 0, 0, \dots, 0]$ 
4  $D[i, i] = 10^{20}$  #  $\infty$ 
5 while True: # Предполагаем, что ответ существует
6     find i :  $\sum_j a[i, j] x_0[j] < b[i]$  #  $\mathcal{O}(nm)$ 
7     if i does not exist : return  $x_0$  # Нашли точку, удовлетворяющую всем неравенствам
8      $z = D * a_i$  #  $\mathcal{O}(n^2)$ ,  $z$  - нормаль  $a_i$  в другой системе координат
9      $len = (a_i^t * D * a_i)^{1/2}$  #  $\mathcal{O}(n^2)$ 
10     $x_0 += \frac{1}{n+1} z / len$  #  $\mathcal{O}(n)$ 
11     $D = \frac{n^2}{n^2-1} * (D - \frac{2}{n+1} z * z^t / len^2)$  #  $\mathcal{O}(n^2)$ , растянули всё в  $\frac{n}{\sqrt{n^2-1}}$  раз и
    поменяли радиус по направлению  $z$ , см. 5.9.1

```

## 5.10. Литература, полезные ссылки

[MIT'09 | ellipsoid]. Краткое, но полное описание метода эллипсоидов.

[Florida'07 | ellipsoid]. Строгое описание метода эллипсоидов с кучей ссылок по теме.

[Кормен'2013, разделы 29.2 и 35.4]. Примеры задач на LP.

# Лекция #6: Суффиксный массив

7 апреля 2025

## 6.1. Сортировка строк

[wiki]. Integer Sort.

Будем обозначать размер алфавита  $m$ , количество строк  $n$ , суммарную длину  $L$ .

Если все наши строки длины 1, то по сути мы сортируем числа  $\mathbb{Z} \cap [0, m)$ , и получаем нижнюю оценку  $\Omega(\text{IntegerSort})$ . Числа сейчас умеют сортировать за  $\mathcal{O}(n\sqrt{\log \log n})$ .

QuickSort отработает за  $\mathcal{O}(L \cdot \log n)$ .

RadixSort для строк одинаковой длины отработает за  $\mathcal{O}(L + m)$ .

Теперь наша цель научиться и строки произвольной длины сортировать за  $\mathcal{O}(L + m)$ .

### • Сортировка Бором (trie-sort)

Алгоритм: сложим строки в бор + обойдём бор.

Нужно на каком-то этапе сортировать исходящие из вершины рёбра.

Можно через BST: map в каждой вершине, например, SplayMap даст  $\mathcal{O}(L + n \log L)$ .

Можно изначально хранить рёбра в unordered\_map, а после построения бора отсортировать подсчётом пары  $\langle \text{вершина бора, ребро} \rangle$  за  $\mathcal{O}(L + m)$ .

### • Сортировка за $\mathcal{O}(L + m)$ без бора

Пусть наши строки  $s[i]$ .

(a) Отсортируем  $A =$  тройки  $\langle j, s[i, j], i \rangle$  подсчётом за  $\mathcal{O}(L + m)$ .

(b) Используя  $A$ ,  $\forall j$  сделаем «сжатие координат» для символов на  $j$ -й позиции.

(c) Теперь можем применить RadixSort к исходным строкам:

$\forall j$  пусть есть  $n_j$  строк длины  $\geq j$ , отсортируем их подсчётом по  $j$ -му символу за  $\mathcal{O}(n_j)$ .

## 6.2. SA-IS за $\mathcal{O}(n)$

Все суффиксы  $s$  различны,  $\text{su}f_i$  – суффикс, начинающийся в  $i$ -й позиции.

aabbaabbaccd#: Пример строки  $s$ .

++--++--++- : Для каждого  $i$  выпишем «+», если  $\text{su}f_i < \text{su}f_{i+1}$  (next больше).

\*+--\*+--\*+-- : Отметим отдельно локальные минимумы.

Сделать это можно за  $\mathcal{O}(n)$ :  $\forall i$  найти ближайшее справа  $j$ :  $s[j] \neq s[i]$ , если  $s[j] > s[i]$ , то «+».

Локальных минимумом  $k \leq \frac{1}{2}n$ .

Разобьём строку на  $k$  кусков между локальными минимумами  $w_0, w_1, \dots, w_{k-1}$ :

a|abba|abba|ccd

\*|+--\*|+--\*|++-

Отсортируем  $w_i\#$  за  $\mathcal{O}(n)$ , где  $\#$  больше всех символов, перенумеруем  $w_i$  числам  $p_{w_i} \in [0, k)$ .

Построим от строки  $t = p_{w_0}p_{w_1}p_{w_2} \dots$  суффиксный массив рекурсивным вызовом.

Важно, что не смотря на то, что  $w_i$  разной длины, сортировка суффиксов строки  $t$  сортирует и суффиксы исходной строки. Если  $w_i$  – префикс  $w_j$ , то  $w_i\# > w_j\# \Rightarrow p_{w_i} > p_{w_j}$ .

Пусть последний с символ  $w_i$ , тогда в строке  $s$  следующий, неравный  $>c$ , т.к. мы уже прошли локальный минимум, а в суффиксе, начинающимся с  $w_j$  первый неравный символ  $<c$ , т.к. в  $w_j$  мы в этой позиции ещё не дошли до локального минимума.

Пример:  $abcbbabcbbbc \rightarrow a|bcbbab|bcb|bbcb. bcb\# > bcbba\#$  и  $bcb|bbcb > bcbba|bcb|bbc$ .

### • Сортировка оставшихся суффиксов

aaabbbccddcccbba|aabbcccb

+++++++!-----\*|++++---

Отсортируем суффиксы  $A$ , начинающиеся, от локального максимума (!) до локального минимума (\*) в порядке возрастания.

$\forall$  буквы «d», суффикс  $su f \in A$ , начинающийся с «d» устроен как сколько-то букв «d», затем меньшая буква  $\Rightarrow$  сортировать нужно сперва по количеству «с», затем по оставшейся части.

*База.* Есть порядок суффиксов, начинающихся в локальном минимуме =  $\langle \text{буква, суффикс } t \rangle$ . Перебираем их по возрастанию, раскладываем по первой букве:  $\forall \langle d \rangle: \text{list}[d]$ . *Переход:*

```
1 for ch in {a,b,c,...}:
2     for pos in list[ch]: // pos - позиция начала суффикса
3         list[s[pos-1]].push_back(pos-1)
```

Заметим, что по ходу `for pos in list[ch]` вектор `list[ch]` растёт. Мы сперва положим в `list[ch]` суффиксы, у которых ровно одна буква «ch», затем две, три и т.д.

*Итог.* суффиксы от (!) до (\*) отсортированы за  $O(n)$ .

Можно аналогичным образом теперь отсортировать суффиксы от (\*) до (!):

### TODO

Замечание:  $w_i$  – строки вида «сперва возрастает, затем убывает», сортировать их можно также, как мы строим суффмассив (база, переход).

Память: существует реализация, которой кроме  $n \lceil \log n \rceil$  бит на хранение ответа нужно  $n + K \lceil \log n \rceil$  бит на всю рекурсию, где  $K$  – максимальный символ алфавита. Обычно  $K \leq \frac{n}{2} \Rightarrow n(1 + \frac{1}{2} \log n)$  бит.

## 6.3. BWT и $BWT^{-1}$ за $O(n)$

**Def 6.3.1.** *BWT (Burrows–Wheeler transform) – преобразование строки  $s$  в последний столбец таблицы сортированных циклических сдвигов строки  $s\#$ .*

Пример:  $s = acabb \rightarrow acabb\# \rightarrow \{\#acabb, abb\#ac, acabb\#, b\#acab, bb\#aca, cabb\#a\} \rightarrow bc\#baa$ .

Построения за  $O(n)$ : у строки  $s\#$  порядки суффиксов и циклических сдвигов совпадают  $\Rightarrow$  берём любой алгоритм для суффмассива за  $O(n)$  (Каркайнен-Сандерс, SA-IS) и запускаем.

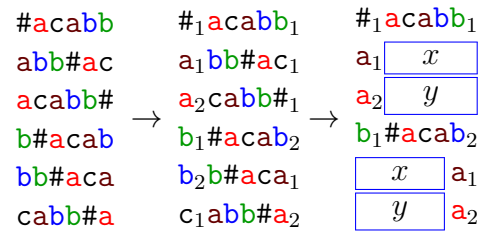
**Lm 6.3.2.**  $\exists BWT^{-1}$ : строку  $s$  можно однозначно восстановить по  $BWT(s)$ .

*Доказательство.* Отсортируем последний столбец, получим первый, припишем за последним, получим все подстроки длины 2, отсортируем, припишем за последним, получим все подстроки длины 3, сортируем, и так далее. В конце  $s =$  циклический сдвиг, заканчивающийся на  $\#$ . ■

$BWT^{-1}$  можно просто получить за  $\mathcal{O}(n)$ . Давайте различать одинаковые символы строки:  $s = \text{acabb}$ , занумеруем символы в порядке первого столбца, поймём, где они в последнем:

**Lm 6.3.3.**  $\forall$  буквы порядок этой буквы в первом и последнем столбцах совпадает.

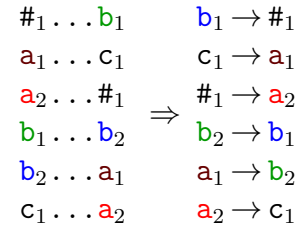
*Доказательство.* На примере «a»: возьмём циклические сдвиги, начинающиеся на «a»:  $a_1 \text{bb\#ac}_1 = a_1 x$  и  $a_2 \text{cabb\#}_1 = a_2 y$ , заметим  $x < y$  и что, если в последнем столбце  $a_1$ , в первом как раз начинается  $x$ . ■



### • Алгоритм $BWT^{-1}$ за $\mathcal{O}(n)$

Отсортируем подсчётом последний столбец, для каждой буквы в последнем столбце запомним, какая идёт за ней в первом столбце, выпишем буквы в таком порядке. На примере  $\text{acabb\#}$ :

$b_1 \rightarrow \#_1 \rightarrow a_2 \rightarrow c_1 \rightarrow a_1 \rightarrow b_2 \rightarrow b_1$



## 6.4. Поиск подстроки в строке и fm-index

Чтобы искать подстроки в тексте  $t$ , построим суффиксный массив  $SA(t)$ .

Запрос «найти  $s$ » будем обрабатывать бинпоиском по  $SA(t)$  за  $\mathcal{O}(|s| \log |t|)$ .

Бинпоиск делает  $\log |t|$  сравнений. Сравнение строк внутри бинпоиска можно ускорить с помощью LCP, получится поиск  $s$  за  $\mathcal{O}(|s| + \log |t|)$ :

Обозначим  $i$ -й суффикс в порядке суффмассива за  $p_i$ . Пусть бинпоиск сейчас на  $[l, r]$  и  $m = \frac{l+r}{2}$ . Мы уже знаем  $sl = LCP(s, p_l)$  и  $sr = LCP(s, p_r)$ , можем за  $\mathcal{O}(1)$  найти  $lm = LCP(p_l, p_m)$  и  $rm = LCP(p_r, p_m)$ . Хотим найти  $sm$ . Утверждение:  $sm \geq sm_0 = \max(\min(sl, lm), \min(sr, rm))$ .

*Алгоритм:*  $sm = sm_0$ ; while  $(s[sm] \neq p_m[sm])$   $sm++$ ; . Алгоритм сделает  $\mathcal{O}(|s|)$  операций  $sm++$ .

*Замечание 6.4.1.* Оба описанных алгоритма работают для произвольного алфавита.

### 6.4.1. fm-index

Ещё один способ поиска подстроки в тексте  $t$  с помощью  $SA(t)$  заточенный под маленькие алфавиты. Обычно применяется биоинформатиками для их любимого алфавита  $\{A, C, G, T\}$ .

Главная идея: будем прикладывать строку  $s = s_1 s_2 \dots s_n$  с конца, с  $s_n$ . Пусть мы уже обработали суффикс  $(i, n]$  строки  $s$  и знаем отрезок  $[l_i, r_i)$  массива  $SA(t)$  — где может начинаться  $s(i, n]$ .

Допишем  $s_i$  в начало, получится, что это символ последнего столбца  $SA(t)$ .

Пусть  $p[c, r]$  = сколько раз символ  $c$  встречается на префиксе  $[0, r)$  последнего столбца  $SA(t)$ .

Пусть  $st[c]$  — позиция первого  $c$  в первом столбце. Тогда  $l_{i+1} = st_{s_i} + p[s_i, l_i]$  и  $r_{i+1} = st_{s_i} + p[s_i, r_i]$ .

Начинаем мы с отрезка  $l_0 = 0, r_0 = |t|$  и  $n$  раз дописываем символ в начало за  $\mathcal{O}(1)$ .

Итого. Время поиска  $\mathcal{O}(|s|)$ . Время на подсчёт =  $\mathcal{O}(|t|)$  = время построения  $SA(t)$ .

Память на подсчёт =  $k \cdot n \log_2 n$  бит памяти, где  $k$  — размер алфавита.

$\forall r \sum_c p[c, r] = r \Rightarrow$  количество слоёв  $p$  можно уменьшить до  $k-1$ .

• Если мы хотим искать сразу «бор строк  $s$ », то время поиска автоматически  $\mathcal{O}(\text{размера бора})$ .

# Лекция #7: Алгоритмы на графах

28 апреля 2025

## 7.1. Рёберная 3-связность за $\mathcal{O}(E)$

**Def 7.1.1.** Рёберная  $k$ -связность – отношение эквивалентности на вершинах « $\exists k$  рёберно непересекающихся пути между вершинами». Компоненты  $k$ -связности – классы эквивалентности.  $m$ -разрез –  $m$  рёбер, при удалении которых теряется связность ( $m = k - 1$ ).

*Задача.* Найти все компоненты 3-связности и все 2-разрезы.

*Алгоритм.* Берём любой остов, рёбрам  $e$  не остова сопоставляем случайные числа  $w_e$ , рёбрам  $e$  остова такие числа  $w_e$ , чтобы XOR-ы в вершинах были 0, это можно сделать динамикой по дереву от листьев. Сумма XOR-ов всех вершин ноль независимо от  $w_e \Rightarrow \text{XOR}$  в корне = 0.

Теперь рассмотрим  $\forall$  разрез  $(S, T)$ .  $E(S, T)$  – мн-во рёбер, разделяющих 2 компоненты.

**Lm 7.1.2.**  $\bigoplus_{e \in E(S, T)} w_e = 0$ .

*Доказательство.*  $0 = \bigoplus_{v \in S} \left[ \bigoplus_{e \in \text{edges}(v)} w_e \right] = \bigoplus_{e \in E(S, T)} w_e$ , т.к. остальные рёбра учтены по два раза. ■

*Следствие 7.1.3.*  $e$  – мост  $\Rightarrow w_e = 0$

*Следствие 7.1.4.*  $\{e_1, e_2\}$  – 2-разрез  $\Rightarrow w_{e_1} = w_{e_2}$

*Замечание 7.1.5.* Треугольник – три пересекающихся 2-разреза, тогда все три веса равны.

64-битных числе достаточно, чтобы вероятность ошибки было пренебрежимо мала.

**Итог.** Рандомизированно за  $\mathcal{O}(E)$  нашли все 2-разрезы и компоненты рёберной 3-связности.

## 7.2. Алгоритм Эпштейна для $k$ -го пути

[Eppstein'98]. Решение за  $\mathcal{O}(m + n \log n + k)$ . У нас чуть медленней.

*Задача.* Дан орграф, на котором мы умеем быстро строить дерево кратчайших путей (например,  $w_e \geq 0$  или ациклический), найти среди всех (необязательно простых) путей из  $s$  в  $t$  (концы фиксированы)  $k$ -ую статистику по суммарному весу рёбер.

*Возможное применение для DP.* Возьмём стандартную линейную динамику «дойти из 1 в  $n$ , переходя каждый раз вперёд или на 2, или на 3, собрать максимальную сумму». Попросим найти из всего множества способов дойти из 1 в  $n$  сразу  $k$  максимумов. Решение: строим ациклический граф динамики, на нём Эпштейна.

*Решение за  $\mathcal{O}(m + n \log m + k \log(mk))$*  (асимптотика для  $w_e \geq 0$ ).

1.  $\mathcal{O}(m + n \log n)$ . Построим дерево кратчайших путей из  $t$  по обратным рёбрам.

$d[v]$  — расстояние от  $v$  до  $t$ ,  $p_v$  — отец в дереве кратчайших путей (на шаг ближе к  $t$ ).

2.  $\forall v$  насчитаем кучу  $h[v]$  возможных ответвлений от кратчайшего пути  $v \rightsquigarrow t$ , каждое ответвление описывается числом  $\Delta$  — насколько путь длиннее кратчайшего  $v \rightsquigarrow t$ .

$h[v] = h[p_v] \cup \{(d[x] + w_e) - d[v] \mid e: v \rightarrow x, x \neq p_v\}$ , в  $h[p_v]$  уже лежат ответвления сделанные дальше по пути,  $(d[x] + w_e) - d[v]$  это то, на сколько вес ответвления больше веса кратчайшего пути.

$\forall v \mid h[v]| \leq m$ , кучу из чисел  $\{(d[x] + w_e) - d[v]\}$  строим за линию  $\Rightarrow$  общее время  $\mathcal{O}(m + n \log m)$ .

3. Изначально множество кандидатов  $H = h[s]$ , далее  $k$  раз

за  $\mathcal{O}(\log(km))$  достаём из  $H$  очередной минимум и добавляем  $\leq m$  новых кандидатов.

```

1 d[], p[] = Dijkstra(t) // насчитали расстояния и дерево кратчайших путей
2
3 for v: // динамика, перебираем вершины от корня дерева
4     h[v] = h[p[v]].copy() // используем персистентность
5     for e in g[v]: // e : v → b[e]
6         h[v].add((d[b[e]] + w[e]) - d[v], e) // запомним Δ веса и номер ребра
7 H = h[s]
8
9 for k:
10     <Delta, e> = H.extractMin() // e : a[e] → b[e]
11     // Если мы ответвимся только по e, а дальше пойдём оптимально, будет +Delta.
12     // Если после e сделаем ещё ответвление, получим увеличение на +Delta+t, t ∈ h[b[e]].
13     H = H.merge(h[b[e]].increase(Delta)) // увеличить всех на Delta

```

В качестве  $h[v]$  нам нужна структура данных, которая быстро умеет

`add, extractMin, merge, copy, incrementAll`

Подойдёт персистентная leftist heap (левацкая куча) и хранение числа-увеличителя.

### 7.3. Алгоритм двух Китайцев (Chu, Liu)

**Задача.** Найти в орграфе ориентированное остовное дерево с корнем в `root` минимального веса.

• **Решение за  $\mathcal{O}(m \cdot n)$ .**

Пусть все вершины достижимы из корня, иначе решения нет.

Наблюдение.  $\forall v \neq \text{root}$  в ответ входит ровно одно ребро, входящее в  $v \Rightarrow$  если вычесть из всех входящих в  $v$  рёбер число  $x$ , вес любого остова уменьшится на  $x \Rightarrow$  MST останется тем же.

$\forall v \neq \text{root}$  найдём  $x_v = \min w(u, v)$  и вычтем  $x_v$  из входящих в  $v$  ребер.

Все рёбра стали  $\geq 0$ , и в каждую вершину  $v$  входит хотя бы одно ребро  $e_v$  веса 0.

Если теперь есть дерево из рёбер нулевого веса, оно минимально  $\Rightarrow$  нашли ответ.

Иначе есть цикл из нулей. Сожмём цикл, получим новую вершину-цикл, вычтем из входящих в неё рёбер минимум, рекурсивно продолжим алгоритм. После выхода из рекурсии мы получим MST для графа, где одна вершина – сжатый цикл. Цикл нужно расжать: добавить в остовное дерево все рёбра цикла кроме одного (одна из вершин цикла уже имеет отца в дереве).

При расжатии добавлены только нулевые рёбра  $\Rightarrow$  ответ оптимален.

Время работы: Фаза  $\mathcal{O}(E)$ , за фазу хотя бы на 1 вершину стало меньше  $\Rightarrow \leq n$  фаз  $\Rightarrow \mathcal{O}(nm)$ .

• **Решение за  $\mathcal{O}(m \log n)$ .**

Для каждой вершины будем хранить  $h[v]$  – кучу всех входящих в  $v$  рёбер.

Построим все  $h[v]$  мы за  $\mathcal{O}(m)$ . Далее от  $h[v]$  нам нужны будут операции:

$+=x$ , `merge`, `getMin`, `extractMin`; нам подойдёт skew heap и хранение числа-увеличителя.

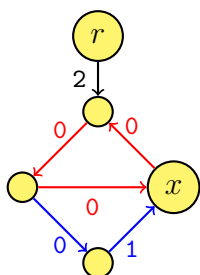
Для сжатия циклов у нас будет DSU. Операция  $next(v)$  для вершины  $v$ : выбрать  $\min$  входящее ребро  $e: x \rightarrow v$  (не петлю) из  $h[v]$ , уменьшить содержимое  $h[v]$  на  $w_e$  (\*), вернуть начало  $e$  – вершину `DSU.get(x)`. Как достать не петлю? Пропустить циклом `while` петли.

«Пропускать петли» – самая долгая часть, суммарно работает за  $\mathcal{O}(m \log n)$ .

**Алгоритм.** Начнём с пустого остова. Пока есть не подцепленная вершина  $v$ , берём её и пытаемся подцепить. Переходим из  $v$  в  $next(v)$ , пока или не дойдём до уже подцепленной вершины, или не заиклимся. Если заиклимся, снимаем цикл со стека и сжимаем (DSU и `merge` куч).

При `merge` вершин цикла важно, что мы уже сделали минимальные рёбра нулями (из разных куч вычитались разные числа). После сжатия цикла продолжаем движение к корню.  $\mathcal{O}(n \log n)$ .

Если нам нужен только вес остова, его мы знаем как сумму вычтенных величин в (\*).



Сами рёбра остова получить сложнее. Можно алгоритмом Прима, запущенным от корня дерева  $r$  на множестве выбранных в остов и поучаствовавших в сжатиях рёбер (на картинке такие все). Весом ребра будет «момент сжатия» или  $+\infty$  для остовных.  $\mathcal{O}(m \log n)$ , при желании  $\mathcal{O}(m + n \log n)$ .

Сперва мы найдём красный цикл по нулям. После сжатия у вершины-цикла есть два входящих ребра – 1 и 2. Затем найдём синий цикл. При восстановлении MST алгоритмом Прима важно брать красные рёбра с большим приоритетом, чтобы посетить  $x$  именно по красному ребру.

**Другой способ получить рёбра.** Помнить циклы в порядке сжатия, расжимать их в обратном порядке, добавляя в остов все рёбра кроме одного, которое идёт в «вершину у которой уже есть отец». В этом способе есть нюанс: нужно быстро «подняться по версии дерева DSU без сжатия путей», это задача LA, при желании делается за  $\mathcal{O}(1)$ . Итого  $\mathcal{O}(m + n)$ .



### • Ссылочки. Литература.

[CF]. Отличный текст от Олега Давыдова.

[wiki]. Chu–Liu/Edmonds algorithm.

[wiki.algocode.ru]. Описание на русском с коротким кодом.

## 7.4. Dynamic Graphs

[Erik'12|L20]. Лекция Эрика Демэйна с обзором темы.

[Erik'12|Full]. В курсе ещё много чего, например link-cut-tree и euler-tour-tree.

Dynamic Graph = динамически меняющийся граф. Алгоритмы на Dynamic Graphs должны обрабатывать изменения графов. Обычно это добавления и удаления рёбер. Если из задачи следует, что у рёбер есть веса, то и изменение весов. Часто отдельно различают update-time (запрос-изменение) и query-time (запрос-не-изменение), например, «достижимость», «связность».

Различают задачи incremental (только добавления), decremental и fully-dynamic.

Одно из первых нетривиальных достижений – удаление рёбер в неориентированном графе и ответы на запросы о связности за  $\mathcal{O}(q+nm)$ , где  $q$  – суммарное число всех запросов. [Shiloach'81]

За  $\mathcal{O}(\log n)$  умеют поддерживать MST в динамически меняющемся планарном графе [Epp'92]

В статье про кратчайшие пути в dynamic планарном графе за update-time  $\mathcal{O}(n^{4/5})$  и query-time  $\mathcal{O}(\log^2 n)$  [Karczmarz'21] можно найти обзор про кратчайшие пути в обычных dynamic графах.

Связность умеют за  $\mathcal{O}(\log^2 n)$ , MST за  $\mathcal{O}(\log^4 n)$ , 2-связность за  $\mathcal{O}(\text{poly}(\log n))$ . [Thorup'01]

Все времена выше амортизированные, без амортизации умеют только  $\mathcal{O}(\sqrt{n})$ .

С ориентированным (directed) графами всё непросто. Есть три основных задачи – поддерживать матрицу достижимости, SSR (single-source-reachability) и поддерживать SCC (strong-connectivity-components). В быстрые решения для fully-dynamic-SCC люди не верят: если сделать и update, и query за  $\mathcal{O}(m^{1-\epsilon})$ , получится прорыв для SETH.

Decremental-SCC недавно научились за  $\tilde{\mathcal{O}}(m)$  в сумме на все update-ы [2019'Bernstein].

Набор красивых идей для задачи: [2008'Roditty].

## 7.5. Dynamic Connectivity в ориентированном графе

Мы уже умеем за  $\mathcal{O}(nm/w)$  насчитывать матрицу достижимости.

Если рёбра только добавляются, можно все запросы добавления обработать в сумме за  $\mathcal{O}(n^3/w)$ :

$\text{add}(a, b): \forall x: d[x, a]=1 \text{ and } d[x, b]=0 \text{ do } d[x, b]=1, d[x] |= d[b];$

Здесь « $|=$ » выполнится не более  $n^2$  раз, а for  $x$  переберёт не более  $\mathcal{O}(n/w)$  лишних.

Если рёбра только удаляются, задача для неорграфа и SSR для орграфа делаются примерно одинаково за  $\mathcal{O}(q + nm)$  [Shiloach'81]. Опишем SSR (single-source-reachability) из  $s$ :

Поддерживаем дерево bfs из  $s$ , когда удаляется ребро  $a \rightarrow b$  из дерева кратчайших путей, ищем замену входящего в  $b$  ребра за  $\mathcal{O}(\deg_b)$ , или находим, или вершина поднимается выше и вызывает рекурсивно подъём всех детей в дереве кратчайших путей.  $\mathcal{O}(nm)$  на все подъёмы.

Алгоритм для fully-dynamic версии в DAG. Update  $\mathcal{O}(n^2)$ , query  $\mathcal{O}(1)$  (King, Sagert'99).

Будем поддерживать  $c[a, b]$  = число путей из  $a$  в  $b$  по модулю  $p$ ,

где  $p$  – большое случайное простое число.

Ответ на запрос за  $\mathcal{O}(1)$ :  $\text{connected}(a, b) = (c[a, b] \neq 0)$ .



Пересчёт при добавлении и удалении за  $\mathcal{O}(n^2)$ , как во Флойде.

Для не DAG есть, например, такое обобщение: [King'99] (Ctrl+F: transitive-closure).

*Теоретически крутая модификация алгоритма.* Давайте не пересчитывать матрицу  $s$  сразу, а хранить  $k$  отложенных операций вида  $s \leftarrow A_i \cdot B_i: (n \times 1) \times (1 \times n)$ , тогда обращение к  $s$  работает за  $\mathcal{O}(k)$ , update работает за  $\mathcal{O}(nk)$ , и когда отложенных операций стало ровно  $k$ , нужно умножить матрицы  $A_1 A_2 \dots A_k$  и  $B_1 B_2 \dots B_k: (n \times k) \times (k \times n)$ . Если  $k = n^\varepsilon$ , то мы хотим  $w(1, \varepsilon, 1) = 1 + 2\varepsilon \Rightarrow \varepsilon = 0.575$ , query-time  $\mathcal{O}(n^{0.575})$ , update-time  $\mathcal{O}(n^{1.575})$ .

## 7.6. Dynamic Connectivity и MST в Offline

Пусть у нас есть массив из  $q$  запросов «+», «-», «?». Будем считать, что у каждого +/- запроса есть парный и изначально граф пустой (все рёбра можно добавлять через «+»).

Превратим рёбра в отрезки: ребро  $e$  добавлено, потому удалено, живо в моменты времени  $[l_e, r_e)$ . Есть моменты времени  $[0, q)$ , сделаем разделяй-и-властвуй (дерево отрезков) по времени:

solve  $[l, r)$  {  $m = (l+r)/2$  ; solve  $[l, m)$ ; solve  $[m, r)$ ; }.

Что происходит с рёбрами? При входе в рекурсию  $\forall e$  или  $r \leq l_e$  или  $r_e \leq l \Rightarrow$  ребро на отрезке времени  $[l, r)$  всегда не в графе (мн-во  $A$ ), или  $l_e \leq l$  и  $r \leq r_e \Rightarrow$  ребро всегда в графе (мн-во  $B$ ), либо ребро остаётся «интересным» (мн-во  $E$ ), интересных рёбер не более  $k = r - l$ .

Далее возможны два разных подхода «СНМ с откатами» и «сжать компоненты».

*СНМ с откатами.* Добавим все рёбра  $B$  в СНМ, сделаем два рекурсивных вызова, откатим рёбра  $B$  из СНМ за то же время, что добавляли. Работает за  $\mathcal{O}(m \log m)$  операций с СНМ, каждая из которых за  $\mathcal{O}(\log n)$  так как амортизация убивается из-за откатов.  $\mathcal{O}(m \log m \log n)$ .

*Сжатие компонент.* Наш граф  $G$  пустой. Добавим в наш пустой граф рёбра  $B$ , и выделим компоненты связности. Компоненты связности задают новый пустой граф  $G_1$  с номерами вершин в  $[0, k)$ , перенумеруем вершины в  $E$  и запросах «?», и передадим в рекурсию  $\langle G_1, E, \text{запросы «?»} \rangle$ . Работает за  $\mathcal{O}(m \log m)$ :  $T(m) = 2T(\frac{m}{2}) + m$ .

### • Метод откатов

Прелесть в том, что мы научились в offline отменять любой запрос изменения. Если мы умеем быстро без амортизации добавлять в online за  $\mathcal{O}(t)$ , то умеем удалять в offline за  $\mathcal{O}(m \log m \cdot t)$ .

*Пример:* 2D точки на плоскости добавляются и удаляются, поддерживать две ближайшие.

### • Метод сжатия компонент

Если мы научимся, имея задачу размера  $\leq n$  и  $\leq k$  рёбер за  $\mathcal{O}(n+k)$ , сжатием строить меньшую задачу размера  $\mathcal{O}(k)$ , то получим offline-решение. Далее нетривиальный пример на тему.

### • Dynamic MST Offline за $\mathcal{O}(m \log m)$ .

Изменение веса ребра = удалить + добавить. Удаление рёбер получится через разделяйку.

Осталось научиться быстро спускаться в рекурсию. Пусть у нас уже есть MST на всех добавленных выше в рекурсии рёбрах, в рекурсию мы передаём рёбра  $E$ :  $|E| = k$ , у рёбер  $E$  есть  $2k$  концов, которые индуцируют на MST дерево из  $\leq 4k$  вершин. Возьмём пути этого  $4k$ -дерева, на каждом насчитаем max (пути не пересекаются  $\Rightarrow$  в сумме за линию), передадим в рекурсию дерево из  $\leq 4k$  вершин с весами «максимум на пути» и множество  $E$  с обновлёнными концами.

$\mathcal{O}(n + k)$  на сжатие MST при добавлении рёбер  $\Rightarrow \mathcal{O}(m \log m)$  в сумме.

## 7.7. Dynamic Connectivity Online

[Thorup'98] [Thorup'01] Оригинальная статья, две версии.

[Erik'07|L05]. Лекция профессора Эрика Демэйна.

[wiki]. Там есть «Cutset structure», работающий за  $\mathcal{O}(\text{poly}(\log n))$  в худшем.

[D-Tree'2022]. Говорят, недавно научились лучше.

*Задача.* Структура данных, умеющая добавлять, удалять рёбра, и проверять достижимость.

*Что мы уже умеем.*

Решать задачу в offline за  $\mathcal{O}(m \log m)$  (предыдущая глава).

Решать версию без удалений рёбер за  $\mathcal{O}(\alpha(m, n))$  на запрос (просто DSU).

Решать версию задачи, в которой в каждый момент времени граф – лес за  $\mathcal{O}(\log n)$  на запрос.

Решение: ЕТТ, Euler Tour Trees (treap по неявному ключу на эйлеровом обходе).

### Структура.

Для удаления заведем иерархию остовных лесов.

У каждого ребра есть уровень  $\text{level}(e) \in [1, \log n]$ . Исходно у всех ребер уровень  $\log n$ .

Обозначим за  $G_i$  граф из ребер уровня  $\leq i$ . То есть  $G_{\log n}$  – исходный граф.

$F_{\log n}$  – min остовный лес (по сумме уровней ребер).  $F_i = F_{\log n} \cap G_i$  – min остовный лес  $G_i$ .

Для всех  $F_i$  храним лес в виде ЕТТ с прибайбасами.

*Инвариант, за которым нужно следить:* в  $G_i$  все компоненты размера  $\leq 2^i$ .

*Добавление ребра.* Просто попытаемся добавить ребро в  $F_{\log n}$ .  $\mathcal{O}(\log n)$ .

### Алгоритм удаления ребра.

Удалили ребро  $e = (v, u)$ . Если  $e \notin F_{\log n}$ , ничего не происходит. Иначе  $e \in F_{\text{level}(e)}, \dots, F_{\log n}$ .

Нужно из всех них  $e$  удалить (в ЕТТ cut работает за  $\mathcal{O}(\log n)$ ), и искать замену для  $e$ :

Перебираем  $i = \text{level}(e), \dots, \log n$  и ищем замену уровня  $i$ : пусть  $v$  и  $u$  лежат в деревьях  $T_v$  и  $T_u$  уровня  $i$ , до удаления  $e$  они были одной компонентой  $\Rightarrow |T_v| + |T_u| \leq 2^i$ .

Пусть  $|T_v| \leq |T_u| \Rightarrow |T_v| \leq 2^{i-1}$  (взяли меньшую половину).

Понижаем до  $i-1$  все ребра уровня  $i$ , лежащие в дереве  $T_v$ ,  $(i-1)$ -рёбра добавляем в остов  $F_{i-1}$ .

Перебираем рёбра уровня  $i$ , у которых есть конец в  $T_v$  (для этого в вершине treap от ЕТТ

$\forall j$  поддерживаем «число рёбер ранга  $j$  в поддереве»).

Если ребро ведет в  $T_u$ , мы нашли замену, вставляем его в  $F_i, \dots, F_{\log n}$  за  $\mathcal{O}(\log^2 n)$  и останавливаемся. Иначе ребро ведёт в  $T_v$ , понижаем уровень ребра до  $i-1$  (хотя бы на 1).

### Время работы.

Выбираем из  $T_v$  и  $T_u$  меньшее за  $\mathcal{O}(1)$  (знаем размеры ЕТТ).

Уровень ребра никогда не понизится ниже 1 (на уровне 1 компоненты размера  $2^1 = 2$ ).

Мы перебираем рёбра  $T_v$ , каждый просмотр ребра  $T_v$  понижает уровень ребра и работает за  $\mathcal{O}(\log n)$ : подняться от конца ребра к корню treap, чтобы понять, куда попали. Суммарно понижений уровня будет  $m \log n$ , каждое за  $\log n \Rightarrow$  амортизированно  $\log^2 n$  на ребро

### Зачем нужно было именно MST?

Благодаря MST при поиске замены ребра  $e_0$  мы уверены, что уровень замены неменьше  $\Rightarrow$  просматриваем только  $e$ :  $\text{level}(e) \geq \text{level}(e_0) \Rightarrow$  только рёбра, уровень которых можно понизить.

*Замечание 7.7.1.* Важно, что сначала мы понижаем уровень древесных рёбер  $T_v$  до  $i-1$ . Иначе при понижении недревесных до  $i-1$   $T_v$  могло перестать быть MST.

## 7.8. Дерево доминаторов

Дан оргграф и выделенная вершина  $s$ . Нас интересуют пути из  $s$  до остальных вершин.

**Def 7.8.1.** Говорят, что  $a$  доминирует  $b$ , если  $\forall$  путь  $s \rightsquigarrow b$  проходит через  $a$ .

Заметим, что  $s$  доминирует всех, а все доминаторы  $b$  лежат на любом пути  $s \rightsquigarrow b \Rightarrow$  среди них есть ближайший к  $b$ , обозначим его  $idom(b)$  и обзовём «непосредственный доминатор  $b$ ».

**Задача.** Построить «дерево доминаторов» —  $\forall v$  найти  $idom(v)$ .

*Простейшее решение.* Попробовать удалять каждую вершину  $a$ , запускать dfs из  $s$ , проверять достижимость. Если  $\exists s \rightsquigarrow b$  до удаления  $a$  и  $\nexists$  после, то  $a$  — доминатор  $b$ .  $\mathcal{O}(nm)$ .

*Чуть более умное решение.*  $N(v) = \{\text{доминаторов } v\}$ , изначально пусть  $N(s) = \{s\}$ ,  $N(v) = V$ , затем итеративно будем обновлять  $N(v) = \cap_{x \rightarrow v} N(x) \cup \{v\}$ , пока  $N(v)$  меняются. Говорят, такое быстро сходится. Можно ускорить, взяв любой остов, и начав с  $N(v) = \{\text{предки } v \text{ в остове}\}$ .

**Замечание 7.8.2.** Даже для DAG-ов задача поиска дерева доминаторов не проще чем задача поиска LCA:  $\forall$  алгоритм поиска дерева доминаторов решает и задачу LCA-offline. Доказательство: возьмём дерево, на котором нужно считать LCA, ориентируем его от корня, для запроса  $i: \langle a_i, b_i \rangle$  создадим вершину  $i$  с входящими рёбрами из  $a_i$  и  $b_i$ , её доминатор это ровно  $LCA(a_i, b_i)$ .

*Простое практически эффективное решение.* Инициализируем дерево доминаторов, как любой остов dfs из  $s$ . Будем пересчитывать отцов:  $p_v = LCA\{x: \exists \text{ребро } x \rightarrow v\}$ , пока  $p_v$  будут меняться. Фазу изменений можно делать, как один dfs с DSU за  $\mathcal{O}(m\alpha)$ , а фаз часто  $\mathcal{O}(1)$ .

*Ещё чуть лучше.*  $\mathcal{O}(m \log n)$ . Будем использовать LCA на «текущем дереве доминаторов», каждое изменение  $idom[v] = x$  меняет дерево, будем считать «LCA на меняющемся дереве». В таком случае dfs+DSU уже не подойдёт для LCA, зато фаз всегда будет не более 6 (эмпирический результат на всех тестах/задачах, до которых автор конспекта смог дотянуться).

*Быстрое решение.*  $\mathcal{O}(m\alpha)$ . Возьмём остовное дерево dfs из  $s$ . Перенумеруем вершины в порядке времени входа dfs. В искомом дереве доминаторов времена входа убывают на пути к корню.

### TODO

[algocode]. Описание на русском от Филиппа Грибова.

[1979'Tarjan]. Оригинальная статья,  $\mathcal{O}(m \log n)$ .

[2004'Tarjan]. Сравнение всех реализаций на практике.

[wiki]. На wiki про всё это тоже чуть-чуть есть.

## Лекция #8: Факторизация

3 апреля 2024

## 8.1. Метод Крайчика

Как обычно, наша задача – найти любой нетривиальный делитель  $x$ .

Метод Ферма: найдём  $v, u$ :  $v^2 - u^2 = n \Rightarrow v \pm u$  – нетривиальный делитель  $n$ .

Обобщим:  $v, u$ :  $v^2 - u^2 \equiv 0 \pmod n$ ,  $v \pm u \not\equiv 0 \pmod n \Rightarrow \gcd(n, v \pm u)$  – нетривиальный делитель  $n$ .

Суть Крайчика: взять  $x_i = \lfloor \sqrt{n} \rfloor + i$ ,  $y_i = x_i^2 - n$ , найти подмножество  $y$ -ков, дающих в произведении точный квадрат, получается  $x_{i_1}^2 \cdots x_{i_k}^2 \equiv y_{i_1}^2 \cdots y_{i_k}^2 \pmod n$ , применяем Ферма.

**Задача:** дано множество  $\{y_i\}$ , найти подмножество, являющееся точным квадратом.

**Решение:** число является квадратом iff в его факторизации все степени простых чётны  $\Rightarrow$  факторизуем  $y_i$ , получаем вектора  $z_i$  «чётности степеней простых», находим подмножество векторов  $z_i$ , в сумме над  $\mathbb{F}_2$  дающее 0.

**Реализация:** Гаусс над разреженной матрицей.

Небольшая проблема – мы как раз учимся факторизовать, а тут нужно факторизовать  $y_i$ .

Чтобы разрешить эту неловкость, будем брать только  $b$ -гладкие  $y_i$ .

**Def 8.1.1.** Число  $x$  называется  $b$ -гладким, если все простые в разложении  $x$  не больше  $b$ .

*Замечание 8.1.2.*  $b$ -гладкое число  $x$  легко факторизовать за  $\mathcal{O}(\frac{b}{\log b} + \log x)$  делений.

- Алгоритм factorize(n)

1. Фиксируем константу  $k$  ( $b = \text{prime}[k]$ ).
2. Генерируем числа  $y_i$ , сразу факторизуем их за  $\mathcal{O}(k + \log y_i)$ .
3. Для всех  $y_i$ , оказавшихся  $b$ -гладкими, скормливаем Гауссу  $z_i$ , вектор над  $\mathbb{F}_2$  длины  $k$ .
4. Каждый раз, когда Гаусс видит, что очередной вектор – линейная комбинация предыдущих, подставляем в тест Ферма  $v = \prod x_{i_j}$  и  $u = (\prod y_{i_j})^{1/2}$ .

- Время работы

Алгоритм зависнет для простого  $n$  и имеет шанс найти делитель для составного  $n$ .

При успешном завершении время работы  $\mathcal{O}(k^3 + k^2 t + km)$ , где  $t$  – число запусков теста Ферма, а  $m$  – общее число всех  $y_i$ .

Чтобы сделать алгоритм конечным и вероятностным, можно скормливать вектора Гауссу с вероятностью  $\frac{1}{2}$  и останавливаться после первого же теста Ферма.

Тогда время  $\mathcal{O}(k^3 + km)$ , и мы верим в оценку на вероятность  $p$ :  $0 < \varepsilon \leq p \leq 1$ .

- Оптимизация

Можно для всех чисел  $p_i = \text{prime}[i]$  заранее посчитать  $r_i$ :  $(\pm r_i)^2 - n \equiv 0 \pmod{p_i}$ .

Тогда множество таких  $j$ , что  $p_i \mid y_j$  равно  $\{\pm r_i + k \cdot p_i - \lfloor \sqrt{n} \rfloor \mid k \in \mathbb{Z}\}$ . Факторизация:

```
1 for i for j while (p_i | y_j) do { y_j /= p_i; v_j[i]++; }
```

Научились факторизовать все  $y_j$  за  $\sum_{i=1..k} \frac{m}{i \log i} = \Theta(m \log \log k)$ .

Предположим, что  $\mathcal{O}(m \log \log k)$  единиц по  $m$  векторам распределены равномерно, тогда в выбранных  $(k+1)$ -ом векторе будет лишь  $\mathcal{O}(k \log \log k)$  не нулей. Можно написать разреженного Гаусса, который хранит в строках лишь списки ненулевых элементов и операции над

строками-списками длин  $a$  и  $b$  делает за  $\mathcal{O}(a+b)$ . Можно воспользоваться алгоритмом Видеманна (Wiedemann), который решит систему за  $\mathcal{O}(k \cdot z)$ , где  $z$  – число не нулей в матрице.

Итого время  $\mathcal{O}(k^3 + km)$  можно улучшить до  $\mathcal{O}((k^2 + m) \log \log k)$ .

Чем меньше  $k$ , тем больше  $m$ . Нужно подобрать  $k$ :  $k^2 = \Theta(m)$ . Это можно сделать, например, последовательным удвоением (`for`  $k \in \{1, 2, 4, 8, \dots\}$  `do` запускаем решение для  $m = k^2$ ).

**Теорема 8.1.3.** Для числа  $n$  оптимальное  $k = e^{\frac{1}{2}\sqrt{\log n \log \log n}}$

*Следствие 8.1.4.* Время Крайчика со всеми оптимизациями  $T = e^{\sqrt{\log n \log \log n}}$ ,  $\forall \varepsilon > 0 \quad T = o(n^\varepsilon)$ .

*Замечание 8.1.5.* Это первый, изученный нами, субэкспоненциальный алгоритм факторизации. Раньше мы умели за  $\mathcal{O}(n^{1/4})$ . Длина ввода есть  $l = \log n \Rightarrow$  мы умели только за  $\exp(\Theta(l))$ .

## 8.2. Оценки времени, математическая часть

Пусть  $k$ -гладкое число – в факторизации встречаются только первые  $k$  простых.

Грубо оценим количество  $k$  гладких от 1 до  $n$ : наши простые порядка  $k \log k$ , чтобы получить  $k$ -гладкое число, нужно взять произведение из  $m \approx \log_{k \log k} n$  первых простых.

Число способов примерно  $\frac{k^m}{m!} \approx \frac{k^m}{(m/e)^m}$ , где  $m \approx \frac{n}{\log(k \log k)} = \frac{\log n}{\log k + \log \log k} \approx \frac{\log n}{\log k}$ .  $k^{\log n / \log k} = n \Rightarrow$   $k$ -гладких от 1 до  $n$  примерно  $n \cdot \left(\frac{e \log k}{\log n}\right)^{\log n / \log k} = n \cdot \alpha$ , чтобы найти  $k$   $k$ -гладких чисел для Видемана (Гаусса), нужно рассмотреть  $k/\alpha$  чисел, Видеман работает за  $k^2 \Rightarrow$  ищем  $k^2 = k/\alpha \Rightarrow k = \left(\frac{\log n}{e \log k}\right)^{\log n / \log k} \Rightarrow \log k = \frac{\log n}{\log k} \cdot \log \frac{\log n}{e \log k} \Rightarrow \log^2 k \approx \log n \Rightarrow \log k \approx \sqrt{\log n}$ ,  $k \approx 2^{\sqrt{\log n}}$  и время работы версии Крайчика с квадратичным решетом и Видеманом внутри  $2^{\mathcal{O}(\sqrt{\log n})}$ .

## 8.3. Литература

[logic.pdmi.ras]. Слайды от Николенко про Крайчика и Видемана.

[wiki|Wiedemann]. Короткое внятное описание решения системы  $Ax = 0$  над  $\mathbb{F}_p$  за  $\mathcal{O}(n \cdot z)$ .

[Pomerance]. Доказательства, связанные с  $b$ -гладкими числами и алгоритмом Крайчика.

[Факторизация]. Много про факторизацию на русском. И про Крайчика тоже.

# Лекция #9: Паросочетание в произвольном графе

12 мая 2025

## 9.1. Полезные данные из прошлого

**Lm 9.1.1. Лемма о дополняющем пути.** Если паросочетание  $M$  не максимально, то существует дополняющий, чередующийся относительно  $M$ , путь (ЧДП), увеличивающий  $M$ .

**Lm 9.1.2. Корректность Куна.** Алгоритм последовательно увеличивает  $M$  дополняющими путями.  $\forall v$  если в какой-то момент  $\nexists$  дополняющего чередующегося пути из  $v$ , то это навсегда.

**Lm 9.1.3. Симметрические разности.**

$M_1, M_2$  – паросочетания, тогда  $M_1 \Delta M_2$  – набор путей и циклов, причём в  $M_1 \Delta M_2$  есть хотя бы  $||M_1| - |M_2||$  ЧДП.

$P$  – чередующийся относительно  $M_1$  путь (не важно, дополняющий ли), тогда  $M_1 \Delta P$  – тоже паросочетание, причём  $|M_1 \Delta P| = |M_1| + \Delta P$ , где  $\Delta P = +1$  для ЧДП, 0 для чётного пути.

**Lm 9.1.4. Поиск дополняющего пути в двудольном графе.**

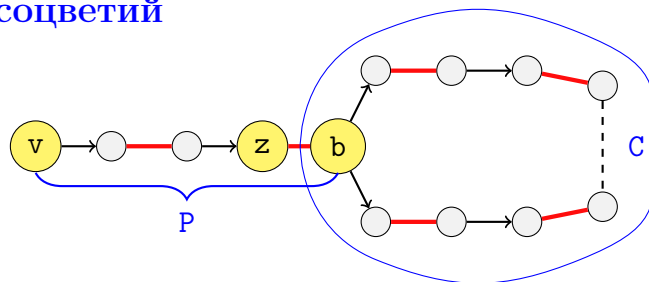
Чтобы из свободной вершины  $v$  1-й доли найти дополняющий путь, запустим dfs/bfs на орграфе, где из 1-й доли ведут все рёбра, а из 2-й доли только рёбра паросочетания.

- Первые три леммы верны для произвольного графа.
- Последнюю мы сможем применить, добавив в алгоритм случай «найден нечётный цикл».

**Упражнение 9.1.5.**  $G$  – произвольный граф.  $M_1, M_2$  – паросочетания в нём. Есть ли в  $M_1 \Delta M_2$  нечётные циклы? *(конечно, нет, в сим.разности только чередующиеся циклы)*

## 9.2. Алгоритм Эдмондса сжатия соцветий

Берём Куна и добавляем в dfs/bfs случай «найден нечётный цикл». Кстати, мы нашли не просто нечётный цикл, а чередующийся нечётный цикл  $C$  со стеблем  $P$ .



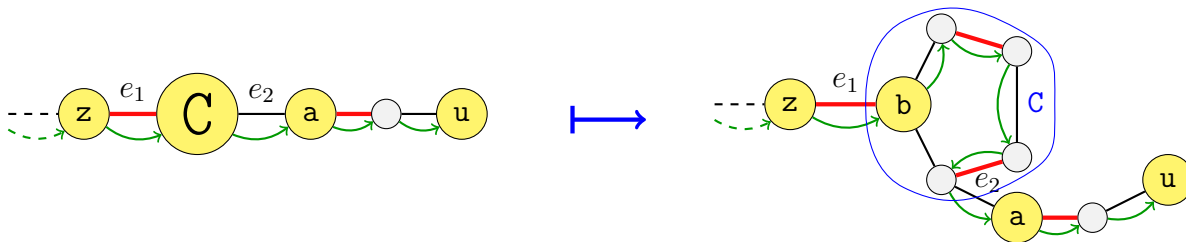
**Теорема 9.2.1.** Теорема Эдмондса<sup>1</sup>. Пусть стебель  $P$  начинается в  $v$ .

$G' = G/C$  (стянули цикл  $C$  в одну вершину)  $\Rightarrow$  в  $G$  есть ЧДП из  $v$  iff в  $G'$  есть ЧДП из  $v$

*Доказательство.* В  $G'$  есть путь  $T \Rightarrow$  в  $G$  есть.

Если путь  $T$  не проходит через вершину  $C$ , не меняем его.

Иначе заметим, что в  $T$  вершине  $C$  смежны два ребра –  $e_1 = (z, b) \in M$  и  $e_2 \notin M$ . Расжимаем.



<sup>1</sup>На е-тахах используется слишком слабая версия теоремы, нам нужен путь именно из  $v$ .



*Доказательство.* В  $G$  есть путь  $T: v \rightsquigarrow u \Rightarrow$  в  $G'$  есть путь  $T': v \rightsquigarrow u$ .

(1) Пусть  $v = b \Rightarrow P = \{b\}$ . Возьмём в  $T$  последнее ребро, исходящее из цикла ( $e_2: z \rightarrow a, z \in C$ ).  $v = b$  не покрыта  $M \Rightarrow$  все рёбра, исходящие из  $C$ ,  $\notin M \Rightarrow e_2 \notin M$ .  
Отрежем от  $T$  кусок до  $e_2$ , получили путь  $T'$ .

(2) В общем случае заменим свободную  $v$  на свободную  $b: M \rightarrow M_1 = M \triangle P$ . Относительно  $M_1$  есть дополняющий путь  $T_1: b \rightsquigarrow u$  ( $T_1 = (M \triangle T) \triangle M_1$ ). По сути  $T_1 = T \triangle P$ , но  $\triangle$  паросочетаний – пути и циклы, а  $\triangle$  дополняющих путей – непонятно что. Применим (1), получили  $T'_1$  и берём  $T' = (M'_1 \triangle T'_1) \triangle M'$ , где  $M'_1$  и  $M'$  – соответствующие паросочетания в  $G'$ . ■

Доказательство закончилось. Но, возможно, вам нужны дополнительные пояснения:

Путь	Относительно	Где	Куда	Как появился?
$T$	$M$	$G$	$v \rightarrow u$	Дан по условию.
$T_1$	$M_1 = M \triangle P$	$G$	$b \rightarrow u$	Найден в $(M \triangle T) \triangle M_1$ .
$T'_1$	$M'_1 = M' \triangle P$	$G'$	$C \rightarrow u$	Отрезали от $T_1$ часть до <i>последнего ребра, исходящего из <math>C</math></i> .
$T'$	$M'$	$G'$	$v \rightarrow u$	Найден в $(M_1 \triangle T'_1) \triangle M$ .

**Lm 9.2.2.** Для тех, чей мозг плавится под воздействием симметрических разностей.

Пусть  $A(M)$  – свободные вершины относительно паросочетания  $M$ .

Концы всех путей в  $M_1 \triangle M_2$  лежат в  $A(M_1) \triangle A(M_2)$ .

Таблица: почему именно такие пути мы нашли в  $(M \triangle T) \triangle M_1$  и  $(M'_1 \triangle T'_1) \triangle M'$ :

Паросочетание	Свободные вершины	Покрытые вершины	Граф	Как получили
$M$ и $M'$	$v$ $u$	$b(C)$	$G$ и $G'$	Дано по условию.
$M_1$ и $M'_1$	$b(C)$ $u$	$v$	$G$ и $G'$	Поксорили $M$ со стеблем $P$ .
$M \triangle T$		$v$ $b$ $u$	$G$	Увеличили паросочетание $M$ путём $T$ .
$M'_1 \triangle T'_1$		$v$ $C$ $u$	$G'$	Увеличили паросочетание $M_1$ путём $T'_1$ .

### 9.3. Реализация за $\mathcal{O}(V^3)$

1. **for**  $v=1..n$  запустим **dfs/bfs**( $v$ ), доставшийся нам от Куна, для поиска пути.
2. Поиск пути нашёл путь или нечётный цикл со стеблем (соцветие = цветок + стебель).
3. Сожмём нечётный цикл в одну вершину, продолжим поиск. На слове *продолжим* мы понимаем, что из **dfs/bfs** удобнее **bfs**.
  - (a) Сжимаем нечётный цикл в новую вершину  $z$  за  $\mathcal{O}(V \cdot \text{cycleLen})$ .
  - (b) Кидаем  $z$  в очередь, удаляем все вершины цикла из очереди.
  - (c) Делаем рекурсивный вызов **continueBfs**, который возвращает путь в сжатом графе.
  - (d) Если путь проходит через  $z$ , делаем расжатие пути. Возвращаем путь в исходном графе.

**continueBfs** – тот же **bfs**, но не обнуляем очередь и пометки.

Время работы =  $V \cdot \text{bfs} = V(E + V^2)$ :  $E$  – просмотрели рёбра по разу,  $\mathcal{O}(V^2) = \mathcal{O}(V \cdot \sum_i \text{cycleLen}_i)$

## 9.4. Красивая простая реализация Эдмондса (Габов'1976)

Основная схема та же, что в Куне:

```

1 mate = [-1, -1, ..., -1] # mate[v] - пара в паросочетании
2 for v in 1..n
3     if mate[v] == -1
4         endOfPath = bfs(v)
5         if endOfPath != -1
6             mate = mate  $\Delta$  recoverPath(endOfPath)

```

bfs по ходу работы пометает вершины 1-й доли  $used[v] = 1$ .

Вершины 2-й доли – пары вершин 1-й доли.

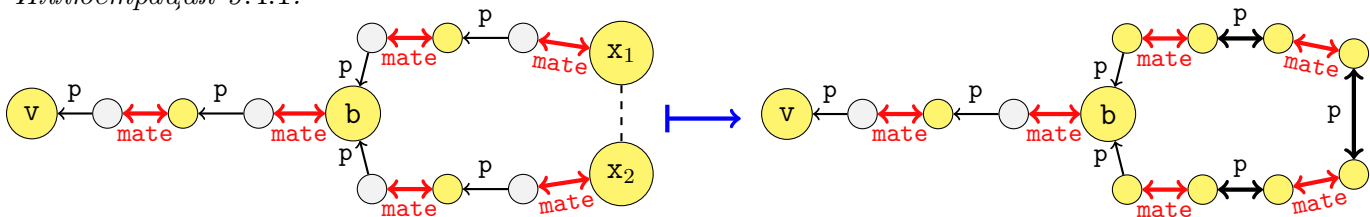
Для  $\forall$  вершины  $w$  2-й доли храним предыдущую  $p[w]$  в 1-й доли.

Таким образом  $w, p[w], mate[p[w]], p[mate[p[w]]], \dots$  – путь  $w \rightsquigarrow v$ .

Рёбра  $\{w \rightarrow p[mate[w]] \mid used[w] = 1\}$  образуют дерево  $T$  с корнем в  $v$ .

Интересен случай, когда мы пытаемся пойти из помеченной вершины  $x_1$  в помеченную вершину  $x_2$ . Тогда налицо нечётный цикл  $C$ , причём до всех вершин этого цикла кроме основания мы научились доходить, как до вершин 1-й доли.

Иллюстрация 9.4.1.



*Замечание 9.4.2.* Здесь жёлтым отмечены вершины, до которых мы умеем доходить, как до вершин первой доли. Они же лежат в очереди.

### • Главная идея

Сжимая цикл  $C$ , вместо того, чтобы создавать новую вершину и видоизменять граф, лишь запомним, что все вершины  $C$  лежат именно в  $C$ . Для этого будем  $\forall v$  поддерживать  $base[v]$  – основание цикла, в котором лежит  $v$ .

### • Алгоритм действий

1. За  $O(n)$  выделить в дереве  $T$  вершину  $b = lca(x_1, x_2)$ .
2. Пусть  $b_i$  – первая вершина на пути  $x_i \rightsquigarrow b$ :  $base[b_i] = base[b]$ .  
Пройти по путям  $P_1: x_1 \rightsquigarrow b_1$  и  $P_2: x_2 \rightsquigarrow b_2$  и проставить новые ссылки  $p[\cdot]$ .  
 $\forall z \in P_1 \cup P_2$ :  $used[z] = 0$  пометить  $z$ :  $used[z] = 1$  и добавить в очередь bfs-а.  
Важно: менять  $p[b_1]$  и  $p[b_2]$  нельзя, также нужно идти именно до  $b_1$  и  $b_2$  (до  $b$  нельзя, иначе мы можем случайно поменять  $p[b_1]$ ).
3.  $\forall u \in P_1 \cup P_2 \quad \forall w$ :  $base[w] = base[u]$  сделать  $base[w] := b$  ( $base[\cdot]$  – простейшее DSU).

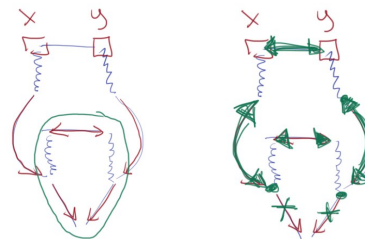
### • Обоснование

1. В итоге мы пометим  $used[v] = 1$  все  $v$ , которые достижимы, как вершины первой доли.
2. Ссылки  $p[\cdot]$ : пути  $x_1 \rightsquigarrow b_1$  и  $x_2 \rightsquigarrow b_2$  пересекаются только по  $base[b_1] = base[b_2] \Rightarrow \forall w \in C$  откат по ссылкам  $p[\cdot]$  дойдёт до  $w$ :  $base[w] = b$ . Мы не меняли ссылки  $p[i]$ :  $base[i] = b \Rightarrow$  откат



от  $w$  дойдёт до  $b$ . *Итого:* в каждый момент времени  $\forall v: used[v] = 1$   
 путь  $v \rightarrow mate[v] \rightarrow p[mate[v]] \rightarrow mate[p[mate[v]]] \rightarrow \dots$  – корректный чередующийся путь.

*Иллюстрация 9.4.3.* Почему нельзя от  $x_1=x$  и  $x_2=y$  откатываться до  $LCA(x_1, x_2)=b$  (код бы упростился, можно было бы обойтись без `base[]`, без DSU)? Потому что ссылки `p[]` могут зациклиться, см.рис.



## 9.5. Оптимизации

Как и для Куна, основные оптимизации – не удалять пометки и жадно инициализировать паросочетание. Важно, что второе толком не работает без первого.

- Удаляем пометки, пока не нашли ЧДП  $\Rightarrow \mathcal{O}(V \cdot \text{bfs})$  превратилось в  $\mathcal{O}(|M| \cdot \text{bfs})$ .
- Жадно находим за  $\mathcal{O}(E)$  паросочетание размером  $\geq \frac{|M|}{2} \Rightarrow$  ускорили ещё в два раза.

## 9.6. DSU и $\mathcal{O}(VE \cdot \alpha)$

Научимся случай «нечётный цикл» обрабатывать за  $\mathcal{O}(k \cdot \alpha)$ , где  $k$  – длина цикла в сжатом графе. Тогда суммарное время работы `bfs` будет  $\mathcal{O}((V + E) \cdot \alpha)$ .

- **Поиск LCA:**  $\mathcal{O}(V) \rightarrow \mathcal{O}(k \cdot \alpha)$

Во-первых, мы будем переходить не  $v \rightarrow p[mate[v]]$ , а сразу  $v \rightarrow p[mate[base[v]]]$ .

Во-вторых,  $LCA(x_1, x_2)$  можно искать не за  $\mathcal{O}(n)$ , а за  $\mathcal{O}(k)$ , идя от  $x_1$  и  $x_2$  двумя указателями.

- **Собственно сжатие цикла:**  $\mathcal{O}(V) \rightarrow \mathcal{O}(k \cdot \alpha)$

`base[v]  $\rightarrow$  DSU.get(v)`. По ходу поиска LCA сохраним все пройденные вершины  $v$ , после LCA сделаем им `DSU.join` в  $b$ .

- **Добавление вершин в очередь**

Если вершина лежит в уже сжатом цикле, она точно в очереди. Остались только вершины вида `mate[base[v]]`. Каждую такую попробуем добавить.

- **Обновление ссылок `p[]`**

Если мы хотим только проверить наличие дополняющего пути, то ссылки `p[]` для вершин, уже сжатых в составе цикла, не нужны. Нужна только `p[base[v]]`. Такую обновить просто.

Для восстановления пути основная идея: при сжатии цикла не присваивать ссылки `p[]` для внутренних вершин цикла  $w$  (вершин, которые мы изначально определили во 2-ую долю), а при добавлении  $w$  в очередь запомнить, что  $w$  была получена «при сжатии цикла, образованного ребром  $(x, y)$  при откате по ссылкам из  $x$ »  $\Rightarrow path(w \rightsquigarrow b) = path^{rev}(x \rightsquigarrow w) + (x, y) + path(y \rightsquigarrow b)$ .

- **Реализация**

`[rkolganov]`. dfs-реализация за  $\mathcal{O}(VE \cdot \alpha)$ .

`[skopeliovich]`. dfs-реализация за  $\mathcal{O}(|M| \cdot V^2)$ .

## 9.7. Реализации через dfs

Если мы хотим вместо `bfs` использовать `dfs`, то при сжатии цикла все вершины цикла нужно

положить в `vector`, пометить, а потом от каждой сделать рекурсивный вызов.

У `dfs` есть огромный плюс – когда мы идём из `v` в `x` и обнаруживаем нечётный цикл, то  $LCA(v, x) = inTime[v] < inTime[x] ? base[v] : base[x]; \Rightarrow$  ищем LCA за  $\mathcal{O}(1)$ .

## 9.8. Альтернативное понимание реализации

Попробуем вообще не думать про нечётные циклы. Будем поддерживать массивы `p[]`, `mate[]`. Ниже попытка *неверно* обобщить двудольный `bfs` на недвудольный граф:

```

1 v = q.pop()
2 for e : v --> x
3     if mate[x] == -1: return # нашли путь, молодцы
4     if !used[mate[x]]:
5         p[x] = v
6         used[mate[x]] = 1
7         q.push(mate[x])

```

Проблема реализации только в том, что при восстановлении пути по ссылкам `p[]`, мы можем получить *непростой путь*. Эту проблему можно попробовать костыльно разрешать. Например, проверяя при `p[x] = v`, что `x` нет в пути от `v` до корня, тогда окажется, что тогда мы некоторые пути не найдём, но в простых случаях, как 9.4.1, отработаем корректно. Другие более мощные костыли, пытающие думать про нечётный цикл, спотыкаются о 9.4.3.

Массив `base[]`, DSU «база цикла» – простейший корректный способ решить проблемы с `p[]`.

## 9.9. Задача про чётный путь

**Задача:** найти кратчайший простой путь в неорграфе, состоящий из чётного числа рёбер.

Если бы путь был не простым, это просто Дейкстра/Гольдберг в раздвоенном графе.

Если веса отрицательные, это NP-трудно (пусть все веса  $-1$ , видим НАМ-ПАТН).

Если граф ориентирован, тоже NP-трудно (можно свестись к «задаче про два пути»).

Простой путь, неор граф,  $w_e \geq 0$  – интересный случай.

**Решение.** Ищем путь  $a \rightsquigarrow b$  в графе  $G$ .

Создадим точную копию  $G'$ ,  $\forall v \in G$  проведём ребро  $v \rightarrow v'$  веса 0. Удалим  $a$  и  $b'$ , заметим, что, если путь-ответ это  $a = a_1 \rightarrow a_2 \rightarrow a_3 \rightarrow \dots \rightarrow a_{2k+1} = b$ , то  $\min$  паросочетание на  $G \sqcup G'$  это  $(a_1, a_2), (a'_2, a'_3), (a_3, a_4), \dots, (a'_{2k}, a'_{2k+1})$  и нули между вершинами не из пути.

Если попутаться получить двудольный граф: раздвоить вершины, провести рёбра  $a_1 \rightarrow b_2$ , мы получим «паросочетание = какой-то путь + циклы», в нашем же недвудольном графе путь ищется нужно чётности.

*Замечание 9.9.1.* Нечётный путь ищется также, для нужной чётности удаляем  $a$  и  $b$ .

## 9.10. Литература, полезные ссылки

[e-maxx]. Классическое описание алгоритма Эдмондса и реализации Габова.

[Galil'1986]. Экскурс во всё известное об алгоритмах для паросочетаний на 86-й год. В нашем курсе мы не выходим за рамки этих результатов и даже не затрагиваем самые крутые.

[Обзор'2023]. Статья, содержащая в частности обзор на тему «odd/even path».

[Gabow'2017]. Современная реализация алгоритма за  $\mathcal{O}(EV^{1/2})$  на github.

## 9.11. Исторический экскурс

[Edmonds'1965]. Paths, trees, and flowers. Классический алгоритм за  $\mathcal{O}(V^3)$ .

[Gabow'1976]. Ph.D. Гарольда Габова'72. Простая и красивая реализация Эдмондса за  $\mathcal{O}(V^3)$ .

### • Попытки обобщить Хопкрофта-Карпа для произвольного графа.

В двудольном графе есть идея за  $\mathcal{O}(E)$  находить не один, а сразу «все кратчайшие пути длины  $d$ », фаз (разных  $d$ ) будет  $\leq \sqrt{V}$  и получится алгоритм Хопкрофта-Карпа за  $\mathcal{O}(E\sqrt{V})$ .

Идея известна с 1973-го года, с тех пор её старательно обобщали для произвольных графов:

[Hopcroft&Karp'1973]. Паросочетание в двудольном за  $\mathcal{O}(E\sqrt{V})$ .

[Even&Kariv'1975]. Научились делать одну фазу Хопкрофта-Карпа за  $\mathcal{O}(V^2 + E \log V)$ .

Получили  $\mathcal{O}(\min(V^{5/2}, EV^{1/2} \log V))$ . Достойный претендент на *ACM Longest Paper Award*.

Ивен был научником Харива, который через год оформил эту работу своим Ph.D.

[Micali&Vazirani'1980]. MV80. Научились одну фазу делать за  $\mathcal{O}(E)$ , получили  $\mathcal{O}(EV^{1/2})$ .

[Peterson'1988]. Автор утверждает, что смог сделать «понятное изложение» MV80.

[Blum'1990]. Другой подход, тоже  $\mathcal{O}(EV^{1/2})$ .

[Vazirani'2014]. Ребята наконец оформили строгое доказательство своего мегаалгоритма =)

[Gabow'2017]. Современная реализация алгоритма за  $\mathcal{O}(EV^{1/2})$  на github.

# Лекция #10: Геометрия

29 мая 2024

[DavidMount'2012]. Большой конспект по всем темам вычислительной геометрии.

[Eppstein'2009]. Связь с графами, увлекательные задачи.

[MotionPlanning]. Видео конспект для получения  $\mathcal{O}(n \log^2 n)$  по сабж.

[David Mount'2020]. Триангуляция Делоне за  $\mathcal{O}(n \log n)$ .

[Скворцов'2002]. Всё и даже больше про триангуляцию Делоне.

## 10.1. Локализация точки за $[\mathcal{O}(n), \mathcal{O}(\log n)]$

*Задача:* дан плоский граф, отвечать на online-запросы «в какую грань попала точка?»

*Решение.* Персистентная вертикальная сканирующая прямая, внутри BST отрезков, пересекающих вертикальную прямую. Ответ на запрос: бинпоиск по  $x$ , чтобы найти нужную версию BST и lowerbound от этого BST, чтобы найти ребро грани.

Простейшая реализация даёт  $[\mathcal{O}(n \log n), \mathcal{O}(\log n)]$ . Чтобы оптимизировать время предподсчёта до  $\mathcal{O}(n)$ , в качестве BST используем AVL и fat-nodes для персистентности.

## 10.2. «Выпуклая оболочка» $\Leftrightarrow$ «Пересечение полуплоскостей»

Рассмотрим множество точек  $(x, y)$  и множество прямых  $(k, b): y = kx + b \Leftrightarrow y - b = kx$ .

Полуплоскость задаётся уравнением  $y \leq kx + b \Leftrightarrow y - b \leq kx$ .

Заметим, что оба выражения инварианты относительно замены  $(x, y) \leftrightarrow (k, -b)$ .

Рассмотрим преобразование мира, в котором прямые переходят в точки, а точки в прямые по правилу, описанному выше. Пусть  $p$  – точка,  $l$  – прямая,  $f$  – преобразование.

Тогда  $p \in l \Leftrightarrow f(p) \ni f(l)$ , и  $p$  под  $l \Leftrightarrow f(p)$  под  $f(l)$ , в частности если  $l(p_1, p_2)$  – прямая через две точки, то  $f(l)$  – точка пересечения прямых  $f(p_1)$  и  $f(p_2)$ .

Задача построения *верхней* огибающей части выпуклой оболочки: даны  $(x_i, y_i)$ , найти набор прямых  $(k_j, b_j)$  на этих точках:  $\forall i, j$  точка  $i$  под прямой  $j$ .

Задача построения *верхней* огибающей части пересечения полуплоскостей: даны полуплоскости  $(k_j, b_j)$ , найти точки  $(x_i, y_i)$  – пересечением прямых  $(k_j, b_j): \forall i, j$  точка  $i$  под прямой  $j$ .

При применении преобразования  $f$  задачи и ответы к ним переходят друг в друга.

$f$  – биекция между задачами CONVEXHULL и SEMIPLANEINTERSECTION.

*Следствие 10.2.1.*  $\forall$  алгоритм для CONVEXHULL подходит для пересечения полуплоскостей (поиска верхней огибающей)  $\Rightarrow$  пересечь полуплоскости можно за  $\mathcal{O}(n \log k)$ , где  $k$  – размер ответа.

## 10.3. Алгоритмы построения выпуклой оболочки

### 10.3.1. Грэхем, Эндрю и $\mathcal{O}(\text{sort}(n))$

*Грэхем.* Возьмём самую левую-верхнюю точку, она точно лежит на выпуклой оболочке, остальные отсортируем относительно неё по углу и будем их в таком порядке пытаться добавлять в стек-выпуклой-оболочки. При добавлении новой точки сколько-то старых, возможно, выпилит-

ся с вершины стека. Время  $\mathcal{O}(n \log n)$  или, точнее,  $\mathcal{O}(\text{sort}_{\mathbb{R}}(n))$ .

Эндрю. Зачем сортировать по углу, когда можно по  $x$ . Обозначим самую левую  $L$ , самую правую  $R$ , отсортируем точки по  $x$ , будем идти со стеком из  $L$  в  $R$ , строя верхнюю половину выпуклой оболочки. Домножим все  $y$ -и на  $-1$ , пройдем ещё раз, получим нижнюю половину.

Плюсы сортировки по  $x$ : если точки целые, мы остались в целых числах; если добавляются новые точки, порядок прежних не меняется. Время  $\mathcal{O}(\text{sort}_{\mathbb{Z}}(n))$ .

### 10.3.2. Джарвис и $\mathcal{O}(nk)$

«Заворачивание подарка». Возьмём самую левую-верхнюю точку, она точно лежит на выпуклой оболочке. Возьмём луч из неё вверх и будем «заворачиваться». Чтобы выбрать следующую точку на выпуклой оболочке, переберём  $n$  кандидатов и выберем того, до кого угол поворот минимален. Время работы  $\mathcal{O}(nk)$ , где  $k$  число вершин выпуклой оболочки.

### 10.3.3. Чен и $\mathcal{O}(n \log k)$

Пусть мы угадали  $k$ , разобьём точки на  $\frac{n}{k}$  групп по  $k$  произвольным образом, от каждой группы за  $\mathcal{O}(k \log k)$  строим оболочку, а теперь начинаем заворачивание: от самой левой точки  $k$  раз ищем следующую – или берём следующую в той же оболочке, или по касательной переходим к одной из  $\frac{n}{k}$  оболочек. Касательная строится за  $\mathcal{O}(\log k)$  чем-то вроде бинарного поиска.

Суммарное время работы  $\frac{n}{k} \cdot k \log k + k \cdot (1 + \frac{n}{k} \log k) = \mathcal{O}(n \log k)$ .

Как угадать  $k$ ? Перебираем  $2 \rightarrow 4 \rightarrow 16 \rightarrow 256 \rightarrow \dots (k \rightarrow k^2)$ . Внутри перебора, если заворачивание сделало больше  $k$  шагов и не замкнулось, прерываем процесс.

Время работы:  $n \log k + n \log(k^{1/2}) + n \log(k^{1/4}) + \dots = \mathcal{O}(n \log k)$ .

### 10.3.4. Точнее оцениваем Чена

Давайте бить на группы по  $k \log k$  точек (или больше). Зачем? Чтобы часть заворачивания работала за  $k \cdot \frac{n}{k \log k} \cdot \log k = \mathcal{O}(n)$ . За сколько работает часть до заворачивания? За  $\frac{n}{k} \text{sort}(k)$ .

Пусть  $\text{sort}(k) = k \cdot f(k)$ . Подбор  $k$ : подгоним рост  $k$  так, чтобы  $f(k)$  увеличивалась в 2 раза.

Итого  $\mathcal{O}(n \cdot f(k))$  на построение выпуклой оболочки от точек с целыми координатами, помещающимися в машинное слово. Например,  $\text{sort}$  за  $\mathcal{O}(k \sqrt{\log \log k}) \Rightarrow \text{convexHull}$  за  $\mathcal{O}(n \sqrt{\log \log k})$ .

## 10.4. Рандомизированные алгоритмы

Общая идея: давайте добавлять объекты в случайном порядке.

Мы уже использовали её для нахождения пересечения  $n$   $d$ -мерных полупространств за  $\mathcal{O}(n \cdot d!)$ .

### 10.4.1. Две ближайшие точки за $\mathcal{O}(n)$

**Алгоритм 10.4.1.** Пусть уже добавлено  $i$  точек, расстояние между ближайшими равно  $d$ , и построена структура «разбиение плоскости на клеточки  $d \times d$ » = хеш-таблица.

Добавляем  $(i+1)$ -ую точку, её клетка  $= \langle \lfloor \frac{x_{i+1}}{d} \rfloor, \lfloor \frac{y_{i+1}}{d} \rfloor \rangle$ , смотрим содержимое этой клетки и 8 соседних. В каждой не более двух точек (иначе нашлись бы две на расстоянии меньше  $d$ ).

Итого за  $\mathcal{O}(1)$  убеждаемся, что или от новой точки все на расстоянии  $\geq d$ , или находим ближайшую к ней, новое  $d$  и за  $\mathcal{O}(i)$  перестраиваем разбиение на клетки. Точки берутся в случайном порядке  $\Rightarrow$  вероятность последнего события  $\frac{2}{i+1}$ . Время работы:  $\sum_i (8 \cdot 2 + i \cdot \frac{2}{i+1}) = \mathcal{O}(n)$ .

## 10.4.2. Минимальный покрывающий точки круг за $\mathcal{O}(n)$

На даны точки  $A$ . Мы – процедура **Solve**, которая получает два множества точек:  $q$  – те, что точно должны лежать на границе и  $p$  – те, что должны лежать внутри или на границе, и возвращает покрывающий круг  $\min$  радиуса. Изначально запускаем **Solve**( $\emptyset$ ,  $A$ ).

*Алгоритм.*  $|q| \leq 3$ . Инициализируем  $C$  = описывающая окружность для  $q$  (для  $|q| = 2$  строим на диаметре, для  $|q| = 3$  пересекаем срединные перпендикуляры).

Добавляем точки  $p$  в случайном порядке. Если очередная точка  $p_i \in C \Rightarrow$  ничего не делаем, иначе  $p_i$  точно лежит на границе круга-ответа  $\Rightarrow$  запускаем **Solve**( $q + p_i$ ,  $\{p_1, \dots, p_{i-1}\}$ ).

Если  $|q| = 3$ , можно сразу после инициализации вернуть  $C$ , по построению  $\forall i \ p_i \in C$ .

Время работы:  $T(n, 3) = \mathcal{O}(1)$ ,  $T(n, |q|) = \sum_i (1 + Pr_{i,|q|} \cdot T(i, |q|+1))$ .

$Pr_{i,|q|}$  – вероятность того, что  $i$ -ая точка оказалось одной из двух-трёх, образующих ответ.

$Pr_{i,|q|} \leq \frac{3-|q|}{i} \Rightarrow T(n, 2) = \Theta(n) \Rightarrow T(n, 1) = \Theta(n) \Rightarrow T(n, 0) = \Theta(n)$ .

Для  $d$ -мерной сферы мы получили бы время решения  $\Theta(n \cdot d!)$ .

## 10.5. Диаграмма Вороного и триангуляция Делоне

### 10.5.1. Диаграмма Вороного за $\mathcal{O}(n^2)$

**Def 10.5.1.** Даны  $n$  точек  $p_i \in \mathbb{R}^2$  (на плоскости). Определим  $A_i = \{q \in \mathbb{R}^2 \mid i = \operatorname{argmin}_j |p_j q|\}$ .

$A_i$  – ячейка  $i$ -й точки, часть плоскости для которой,  $i$ -ая точка ближайшая из данных.

Разбиение плоскости на ячейки – диаграмма Вороного.

Диаграмма Вороного – планарный граф, каждой из  $n$  исходных точек соответствует грань.

Рёбра – срединные перпендикуляры между исходными точками.  $\forall v \ \deg_v \geq 3$ .  $\deg_v = k \Rightarrow$  среди исходных есть  $k$  точек на одной окружности  $\Rightarrow$  для точек общего положения  $\forall v \ \deg_v = 3$ .

Оценим число вершин и рёбер:  $E + 2 = V + G$ ,  $G = n$ ,  $E \geq \frac{3}{2}V \Rightarrow E = \mathcal{O}(n)$ ,  $V = \mathcal{O}(n)$ .

• **Алгоритм построения за  $\mathcal{O}(n^2 \log n)$ .**

Каждая ячейка Вороного = пересечение  $n$  полуплоскостей.

• **Алгоритм построения за  $\mathcal{O}(n^2)$ .**

Для каждой точки  $p_i$  делаем заворачивание подарка: находим ближайшую к ней  $p_j$ , начинаем с  $q = \frac{1}{2}(p_i + p_j)$  и направления  $v$  «срединный перпендикуляр  $(p_i p_j)$ », заворачиваемся – пересекаем луч  $(q, v)$  со всеми срединными перпендикулярами  $(p_i p_k)$ , выбираем ближайшую к  $q$  точку пересечения. При заворачивании каждое ребро мы получили за  $\mathcal{O}(n) \Rightarrow$  суммарное время  $\mathcal{O}(n^2)$ .



### 10.5.2. Триангуляция Делоне

Даны  $n$  точек на плоскости.

**Def 10.5.2.** Триангуляция  $n$  точек – плоский граф на точках, как на вершинах, в котором каждая грань – треугольник. Триангуляция Делоне обладает дополнительным свойством: описанные вокруг треугольников окружности не содержат внутри ни одной из  $n$  точек.

Автор – Борис Николаевич Делонé.

**Теорема 10.5.3.** Триангуляция Делоне – двойственный граф к диаграмме Вороного.

*Следствие 10.5.4.* Триангуляция Делоне существует.

*Следствие 10.5.5.* Триангуляция Делоне единственна для точек общего положения (никакие 4 не лежат на одной окружности).

*Доказательство. Существование.* Диаграмма Вороного – граф  $G$ . Рассмотрим двойственный к  $G$  граф  $G^*$ . Для точек общего положения в  $G \forall v \deg_v = 3 \Rightarrow G^*$  – триангуляция. Если в  $G$  есть вершина степени  $k$ , то в  $G^*$  получаем грань-выпуклый- $k$ -угольник, который можно как угодно порезать диагоналями на  $k-2$  треугольника, получим  $G^{**}$  – триангуляцию. Почему выполнено свойство Делоне? От противного, пусть в окружность треугольника  $ABC \ni P \Rightarrow$  для середины одной из сторон, например  $AB$ , точка  $P$  ближе любой из вершин. Противоречие с вороновостью диаграммы.

*Единственность.* В другую сторону: двойственный к триангуляции Делоне граф – диаграмма Вороного, а Вороного, очевидно, единственна. Почему двойственный граф – диаграмма Вороного? Рассмотрим  $ABC$  и  $Q \in ABC$  для которой в двойственном графе ближайшая  $A$ , а на самом деле  $P$ . От противного, **TODO** ■

**Теорема 10.5.6.** Свойства Триангуляции Делоне.

1. Максимизирует минимальный угол треугольника.
2. Максимизирует сумму радиусов вписанных окружностей.
3. Расстояние по рёбрам Делоне  $\leq 1.998 \cdot$  евклидово.
4. [\[wiki\]](#) [\[вики\]](#)

*Построение триангуляции Делоне за  $\mathcal{O}(n^2)$ .* Построили Вороного, взяли двойственный граф.

### 10.5.3. Триангуляция Делоне за $\mathcal{O}(n \log n)$

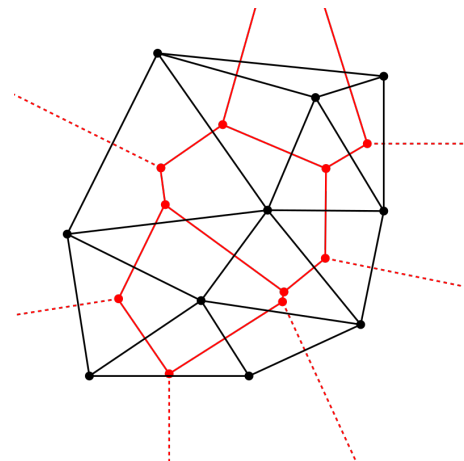
Сразу отметим, что диаграмму Вороного мы автоматически тоже получим за  $\mathcal{O}(n \log n)$ .

*Алгоритм вкратце.* Будем строить триангуляцию инкрементально в порядке random-shuffle. Добавление точки  $P$ : понять, в каком она  $\Delta$ -е, разбить его на 3, если нужно, сделать несколько флипов.  $\forall \Delta$  поддерживаем «все ещё недообавленные точки в треугольнике». Матожидание перемещений для каждой точки  $\mathcal{O}(\log n)$ . Матожидание числа флипов на каждом шаге  $\mathcal{O}(1)$ .

**Алгоритм.** Добавляем точки по одной в случайном порядке.

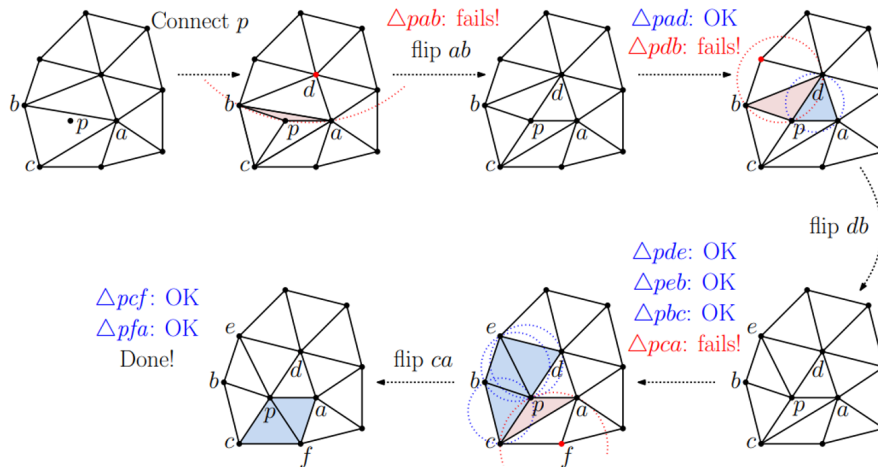
При добавлении  $P$  хотим знать, в какой  $\Delta$  из триангуляции попала  $P$ .

Для каждого  $\Delta$  храним список  $L[\Delta]$  всех ещё не добавленных точек, содержащихся в  $\Delta$ .



Когда  $\Delta$  разбивается, для каждой  $Q \in L[\Delta]$  в лоб ищем, в какой новый  $\Delta$  попала  $Q$ .  
 $\forall P$  матожидание числа переключиваний  $P$  будет  $\mathcal{O}(\log n)$ .

Пусть точка  $P$  попала в  $\Delta ABC$ , бьём его на  $\Delta PAB$ ,  $\Delta PBC$ ,  $\Delta PCA$ , в каждом делаем проверку. Пример для  $\Delta PAB$ . Пусть за  $AB$  лежит  $D$  и  $\Delta DAB$ . Возможно диагональ  $PD$  лучше диагонали  $AB$  ( $D$  лежит в окружности  $PAB$ , а  $B$  не лежит в окружности  $APD$ ), тогда делаем флип, меняем  $\Delta PAB, \Delta DAB$  на  $\Delta APD, \Delta BPD$ , степень  $P$  при этом увеличивается. Продолжаем проверки для новых треугольников. Сколько времени потратим? Ровно  $\deg P$  в правильной диаграмме. Какая степень  $P$  в диаграмме? Матожидание  $\mathcal{O}(1)$ . Итого флипов  $\mathcal{O}(n)$  за всё время, а время на локализацию точек  $\mathcal{O}(n \log n)$ , эту часть люди умеют оптимизировать.



Почему средняя степень  $\mathcal{O}(1)$ ? Потому что триангуляция – планарный граф,  $E \leq 3V - 6$ , средняя степень  $\leq 6$ , а мы последней добавили случайную из всех вершин графа.

Почему перекидываний точки  $\mathcal{O}(\log n)$ ? Пусть после  $i$ -го шага мы перекинули точку, и она теперь живёт в  $\Delta ABC$ . Такое произошло iff последней мы добавили одну из  $A, B, C$ . Вероятность такого события  $= \frac{3}{i} \Rightarrow \mathbb{E}[\text{числа переключиваний}] = \sum_i \frac{3}{i} = \mathcal{O}(\log n)$ .

## 10.6. Задачи

### 10.6.1. Применения диаграммы Вороного

#### • MST на плоскости

*Задача.* Даны  $n$  точек на плоскости, нужно найти их MST.

*Решение.* Рёбер в графе  $n^2$ , Краскал будет работать  $\mathcal{O}(\text{sort}(n^2))$ , Прим за  $\mathcal{O}(n^2)$ . А мы построим диаграмму Вороного и заметим, что рёбра MST обязательно между соседними ячейками (т.е. это рёбра триангуляции Делоне), а их уже  $\mathcal{O}(n)$  и Краскал на них отработает за  $\mathcal{O}(n \log n)$ .

#### • Для каждой точки найти ближайшую

Аналогично строим Вороного, а ответ для  $i$ -й точки – одна из соседних ячеек Вороного  $\Rightarrow$  кроме построения диаграммы Вороного мы тратим  $\mathcal{O}(n)$  времени.

*Решение без Вороного.* Спроецируем все точки на случайную прямую, в поисках ближайшей для точки  $p_i$ , идём по прямой от неё, пока длина расстояния по прямой  $\leq$  текущего оптимального расстояния. Работает за  $\mathcal{O}(n^{3/2})$  в предположении, что координаты ограничены, для



экспоненциальных от  $n$  координат можно построить пример с  $\Theta(n^2)$ . Плюсы: легко пишется, обобщается на 3D. Минусы: диаграмма Вороного быстрее и может решить чуть более сложную задачу « $\forall a \in A$  найти ближайшую  $b \in B$ ».

### 10.6.2. $k$ -точек минимального диаметра

Даны  $n$  точек на плоскости. Выбрать  $k$  точек так: диаметр полученного множества  $\rightarrow \min$ .

Если сделать бинпоиск по ответу  $x$ , то, казалось бы, внутри бинпоиска нужно искать  $k$ -клику в графе «расстояние  $\leq x$ », что трудно (люди не умеют ни за полином, ни за экспоненту от  $k$ , только за  $n^k$ ). Предположим, что мы угадали два конца диаметра множества-ответа – точки  $a$  и  $b$ , тогда все остальные точки множества-ответа отрезок  $ab$  делит на две доли, и любая другая потенциальная пара  $c, d$ :  $|cd| > |ab|$  лежит по разные стороны  $ab \Rightarrow$  граф  $c, d$ :  $|cd| > |ab|$  двудольный, и мы можем найти в нём максимальное независимое множество.  $\mathcal{O}(n^5)$ .

### 10.6.3. Все пары точек на расстоянии не более $R$

Делаем, как и в 10.4.1. Бьём плоскость на клеточек  $R \times R$ .

Для каждой точки рассматриваем содержимое её клетки и 8 соседних.

Если мы в итоге перебрали  $k$  точек, то, даже, если в паре с данной нам все не подошли, перебранные образуют  $\Theta(k^2)$  пар  $\leq R \Rightarrow$  всё амортизируется в  $\mathcal{O}(n + |ans|)$ .

## 10.7. Сумма Минковского

**Def 10.7.1.** Пусть  $A$  и  $B$  –  $m$ -ва точек  $\Rightarrow$  сумма Минковского  $A \oplus B = \{a + b \mid a \in A, b \in B\}$ .

Для выпуклых многоугольников можно посчитать за  $\mathcal{O}(|A| + |B|)$  двумя указателями: чтобы получить границу суммы, начинаем с самых левых точек, чтобы выбрать, в каком из многоугольников сделать шаг вперёд, смотрим на знак векторного произведения векторов-сторон.

#### • Задача про погоду

Летит облако  $A$  в форме выпуклого многоугольника с постоянной скоростью  $v$ . Есть аэропорт  $B$  в форме выпуклого многоугольника. Изначально  $A \cap B \neq \emptyset$ , найдите минимальный момент времени  $t$ : облако и аэропорт не пересекаются.

*Решение.* Считаем сумму Минковского  $S = A \oplus (-B)$ ,  $A \cap B \neq \emptyset \Rightarrow (0, 0) \in S$ , проводим из  $(0, 0)$  луч в направлении  $v$ , пересекаем с границей  $S$ .

Аналогично можно найти  $v$ :  $t(v) = \min$  – выбираем ближайшую к  $(0, 0)$  точку границы.

## 10.8. Motion planning

*Общий вид задачи.* Мы – некий объект некой формы, который должен в некоем пространстве с некими препятствиями (допустимыми состояниями) попасть из точки  $A$  в точку  $B$ .

*Задача, которую сейчас решим.* Мы – робот  $P$  в форме выпуклого многоугольника, живём на плоскости. Многоугольник  $P$  можно сдвигать в любую сторону, поворачивать нельзя. На плоскости есть несколько препятствий в форме невыпуклых многоугольников, препятствия не пересекаются. Нужно (а) найти какой-то путь из точки  $A$  в  $B$ , (б) найти кратчайший путь.

#### • Граф видимости

«Простейшее» решение – заметить, что менять направление нужно лишь в состоянии, что  $p_i$  (вершина  $P$ ) совпадает с одной из вершин одного из препятствий  $\Rightarrow$  если в  $P$  всего  $k$  вершин, а

в препятствиях суммарно  $N$  вершин, то мы строим граф на  $k \cdot N$  вершинах и каждое из  $(k \cdot N)^2$  рёбер проверяем «ничего ли не пересекает» за  $\mathcal{O}(k \cdot N)$ , итого  $\mathcal{O}((k \cdot N)^3)$  на построение графа.

Проверять можно и быстрее. Чтобы провести все рёбра из вершины  $v$ , можно пройтись заворачивающим лучом (sweep ray) и обработать события «отрезок препятствия начался», «отрезок препятствия закончился». Итого  $\mathcal{O}((k \cdot N)^2 \log kN)$  на построение графа.

### • Применяем сумму Минковского

Вместо  $A_i$  возьмём препятствие  $A_i \oplus (-P)$  и будем считать, что мы – точка. Это отлично работает, если  $A_i$  – выпуклый многоугольник, если  $A_i$  невыпуклый, разобьём его на выпуклые куски (например, триангулируем). Далее считаем, что препятствия выпуклые, их  $n$  штук, в них суммарно  $N$  вершин  $\Rightarrow$  вершин в графе получилось  $N + k \cdot n$  (меньше  $Nk$ ). При построении рёбер идеи те же, геометрия чуть проще т.к. мы – точка  $\Rightarrow$  для проверки одного ребра достаточно проверить пересечение одного отрезка с исходными многоугольниками.  $\mathcal{O}(V^2 \log V)$ ,  $V = N + kn$ .

### • Кратчайший путь

Чем искать кратчайший путь? Идеально подойдёт  $A^*$  с ленивым построением графа (вычисляем только рёбра из тех вершин, куда завёл нас  $A^*$ ). Для проверки себя, можно сдать задачу «Лощман» [timus:1271] за  $< 0.1$  секунды.

### • Разделяй и властвуй

Поиск кратчайшего пути мы улучшать не будем. А вот найти хоть какой-то путь можно быстрее. Если  $A_i \oplus (-P)$  не пересекаются, то достаточно лишь взять планарный граф из  $N + k \cdot n$  вершин, триангулировать его, часть  $\Delta$ -ов – препятствия, часть  $\Delta$ -ов – свободное пространство  $\Rightarrow$  путь из  $A$  в  $B$  –  $\forall$  путь в графе граней (ломаная строится, например, по центрам граней).

Но  $A_i \oplus (-P)$  могут пересекаться. Поскольку сами  $A_i$  не пересекались, можно доказать, что суммарно граница объединения  $A_i \oplus (-P)$  состоит из не более чем  $V + 2V$  вершин, где  $V = N + kn$ . Заметьте, это не число точек пересечения всех пар  $A_i \oplus (-P)$ , а именно число вершин на границе множества-объединения. Как построить мега-препятствие (объединение всех препятствий)? Разделяй и властвуй, где merge двух – сканирующая прямая за  $\mathcal{O}(V \log V)$ , итого  $\mathcal{O}(V \log^2 V)$ .

## 10.9. Dynamic Convex Hull

Будем поддерживать верхнюю часть выпуклую оболочку между самой левой и самой правой точками. Поддерживаем точки в порядке, отсортированном по  $\langle x, y \rangle$ , на этом порядке BST, в каждой вершине выпуклая оболочка от поддерва в форме персистентного BST. Зная детей, посчитать себя – провести общую касательную и вырезать из левого и правого BST нужную часть, делается за  $\mathcal{O}(\log n)$ , итого  $\mathcal{O}(\log^2 n)$  на add/del точки.

## 10.10. Число точек под прямой (в полуплоскости)

[CF]. Старое обсуждение на тему, приводящее к  $o(n^{0.5})$  на запрос.

*Задача.* Даны  $n$  точек на плоскости. Хотим сделать предподсчёт и затем в онлайн отвечать на  $q$  запросов «сколько точек лежит под прямой  $y = ax + by + c$ ».

Есть два решения. Первая – корневая. Вторая – что-то типа квадродерева.

### • Корневая

Пусть все запросы с одним и тем же углом прямой  $\langle a, b \rangle$ . Тогда все исходные точки мы можем

отсортировать по  $ax + by$  и при запросе бинпоиском искать  $-c$  в этом массиве.  $\mathcal{O}(n \log n)$  на предподсчёт,  $\mathcal{O}(\log n)$  на запрос.

*Хорошая новость:* различных интересных углов не больше  $n^2$  – проведём прямую через каждую пару точек, получим интересное направления. Отсортируем все интересные направления, порядок точек (сортировка по  $ax + by$ ) храним в персистентном BST, каждое событие «изменение порядка» обрабатываем за  $\mathcal{O}(\log n)$ . Итого предподсчёт за  $\mathcal{O}(n^2 \log n)$  и зарос за  $\mathcal{O}(\log n + \log n)$  – сперва бинпоиском нашли угол  $\langle a, b \rangle$  в массиве всех углов, затем спустились по нужному BST, который задаёт порядок для  $\langle a, b \rangle$  в поисках  $-c$ .

Получили решение за  $[\mathcal{O}(n^2 \log n), \mathcal{O}(\log n)]$ , можно его сбалансировав, разбив исходные точки на  $k$  групп, получится  $[\mathcal{O}(\frac{n^2}{k} \log n), \mathcal{O}(k \log n)]$ , например, можно взять  $k = \sqrt{n}$  и получить  $[n\sqrt{n} \log n, \sqrt{n} \log n]$ . BST по явному ключу  $\Rightarrow$  можно использовать AVL + fat nodes и получить  $n\sqrt{n}$  памяти вместо  $n\sqrt{n} \log n$  (память – самое узкое место в решении).

### • Квадродерево

Обычное квадродерево берёт точки на плоскости и бьёт их рекурсивно на четыре группы – четверти плоскости. Мы сделаем тоже самое, но крестик, который бьёт точки на 4 части, будет с произвольным центром и под произвольным углом. За  $\mathcal{O}(n \log C)$  можно найти такое  $\alpha$  и две прямые под углами  $\alpha$  и  $\alpha + \frac{\pi}{2}$ , что строго внутри каждой из четвертей  $\leq \frac{n}{4}$  точек.

Возьмём  $line(\alpha)$  прямую, которая делит плоскость на части по  $\frac{n}{2}$ ,  $line(\alpha) \times line(\alpha + \frac{\pi}{2})$  задают 4 четверти, в них  $x_1, x_2, x_3, x_4$  точек, при этом  $x_1 + x_2 = x_2 + x_3 = x_3 + x_4 = x_4 + x_1 = \frac{n}{2} \Rightarrow x_1 = x_3 \wedge x_2 = x_4$ , если  $x_1 = x_2$ , мы нашли  $\alpha$ . Зададим функцию  $f(\alpha) = x_1(\alpha) - x_2(\alpha)$ , заметим, что  $f$  непрерывна и  $f(\alpha + \frac{\pi}{2}) = -f(\alpha) \Rightarrow$  есть корень и он ищется бинпоиском. Находить медиану умеем за  $\mathcal{O}(n) \Rightarrow$  весь бинпоиск работает за  $\mathcal{O}(n \log C)$ .

Строим структуру рекурсивно. Получается  $\mathcal{O}(n \log n \log C)$  на построение. Ответ на запрос:  $\forall$  прямая пересекает не более трёх четвертей  $\Rightarrow$  одна из 4 четвертей или целиком под прямой, или целиком над прямой  $\Rightarrow$  делаем три рекурсивных вызова  $\Rightarrow T(n) = 3T(\frac{n}{4}) = n^{\log_4 3} = n^{0.7925\dots}$ .

### • Объединяем

На нескольких верхних уровнях сделаем «квадродерево», когда размер куска станет  $\leq k$ , сделаем предподсчёт за  $\mathcal{O}(k^2 \log k)$ . У нас  $\frac{n}{k}$  групп, суммарный предподсчёт работает за  $\mathcal{O}(nk \log k)$ , ответ на запрос за  $(\frac{n}{k})^{0.7925} \log k$ . Для случая  $n = q$  можно приравнять  $k \log k = (\frac{n}{k})^{0.7925} \log k \Rightarrow k^{1+m} = n^m \Rightarrow k = n^{m/(1+m)} = n^{0.4421\dots}$ , итого  $n$  запросов мы обработаем за  $\mathcal{O}(n^{1.4421} \log n)$ .

## 10.11. Не раскрытые темы

[CG12.9]. Trapezoidal Maps (другой способ локализации точки).

[ppt]. 3D-Convex-Hull за  $\mathcal{O}(n \log n)$ .

[CF]. 3D-Convex-Hull за  $\mathcal{O}(n \log n)$ .

[MIT]. 3D-range-query за  $\mathcal{O}(\log n)$ .

[wiki]. BSP tree (для быстрой отрисовки трёхмерных сцен).

# Лекция #11: Планарность

24 апреля 2024

## 11.1. Основные определения и теоремы

**Def 11.1.1.** *Планарным* (*planar*) называется граф, который может быть изображён на плоскости без пересечения рёбер.

**Def 11.1.2.** *Плоским* (*plane*) граф – изображение графа на плоскости без пересечений рёбер.

Плоский граф разбивает плоскость на области, которые называются гранями.

*Внешней* называется грань, содержащая точку на бесконечности.

**Теорема 11.1.3.** У графа есть укладка на сфере iff граф планарен.

*Доказательство.* Плоскость гомеоморфна проколотой сфере. Осталось проткнуть сферу. ■

*Следствие 11.1.4.* Для  $\forall$  грани планарного графа есть укладка, в которой именно она внешняя.

*Доказательство.* Уложим на сфере. Проткнём нужную грань, получилась плоскость. ■

**Теорема 11.1.5.** *Эйлера.* Для плоского графа  $E + C + 1 = V + G$ , где  $V$  – число вершин,  $E$  – число рёбер,  $G$  – число граней,  $C$  – число компонент связности.

*Доказательство.* Индукция: удалим ребро, или увеличилось число граней, или уменьшилось число компонент связности. В конце  $C = V$ ,  $G = 1$ . ■

*Следствие 11.1.6.* Для планарных графов  $E \leq 3V - 6$ ,  $E = \mathcal{O}(V)$ .

*Доказательство.* У каждой грани хотя бы 3 ребра  $\Rightarrow E \geq \frac{3}{2}G \Rightarrow E + 2 \leq V + \frac{2}{3}E$ . ■

**Упражнение 11.1.7.** Покажите, что для двудольных планарных  $E \leq 2V - 4$ .

**Lm 11.1.8.** Графы  $K_{3,3}$  и  $K_5$  не планарны.

*Доказательство.* В  $K_5$  вершин 5, рёбер  $10 > 3 \cdot 5 - 6$ . В  $K_{3,3}$  вершин 6, рёбер  $9 > 2 \cdot 6 - 4$ . ■

**Def 11.1.9.** *Стягивание графа.* Процесс, в котором каждая операция – удаление вершины, ребра или стягивание двух вершин, соединённых ребром, в одну.

**Теорема 11.1.10.** *Вагнер'1937.* Граф планарен iff он не стягивается в  $K_{3,3}$  или  $K_5$ .

**Теорема 11.1.11.** *Куратовский'1930.* Граф планарен iff не является подразбиением  $K_{3,3}$ ,  $K_5$ .

Подразбиение – процесс обратный стягиванию, так что теоремы равносильны.

Короткое доказательство теоремы от Скопенкова [\[eng|arxiv\]](#) [\[rus\]](#).

**Теорема 11.1.12.** *Фари'1948.*  $\forall$  планарный граф можно уложить прямыми отрезками.

**Теорема 11.1.13.** *Schnyder'1989.*  $\forall$  планарный граф при  $V \geq 3$  можно уложить с использованием только прямых отрезков на гриде размера  $(V-2) \times (V-2)$ . Укладку можно найти за  $\mathcal{O}(V)$ .

**Теорема 11.1.14.** *Koebe–Andreev–Thurston.* [\[wiki\]](#).

Можно нарисовать вершины непересекающимися кругами: ребро  $\Leftrightarrow$  круги касаются.

## 11.2. Алгоритмы проверки на планарность

### 11.2.1. Исторический экскурс

[tarjan'1974]. Первый линейный алгоритм дан Тарьяном и Хопкрофтом.

Более современные алгоритмы развивались в направлении уменьшения сложности реализации, сложности доказательства, константы времени работы. Среди них можно выделить работы

[boyer'1999]. Boyer, Myrvold: A simplified  $\mathcal{O}(n)$  planar embedding.

[brandes'2010]. Ulrik Brandes: The Left-Right Planarity Test.

### 11.2.2. Алгоритм Демукрона

Простейший алгоритм за  $\mathcal{O}(n^2)$  в худшем,  $\mathcal{O}(n \log n)$  в среднем при аккуратной реализации.

1. Выделим любой цикл  $C$ , уложим. Топологически есть ровно один способ уложить цикл.
2. После удаления рёбер и вершин  $C$  оставшиеся рёбра графа делятся на компоненты связности. Два ребра связны, если у них есть общий конец, не являющийся вершиной  $C$ .
3. Построим граф противоречий – для каждого двух компонент можно ли их уложить по одну сторону цикла. Время работы  $\sum_{ij} (k_i + k_j) = 2m \sum_i k_i \leq 2mE$ .  
 $k_i$  – число вершин, которыми  $i$ -я компоненты зацепляется с циклом,  $m$  – число компонент.

**TODO** Картинка

4. Раскрасим граф противоречий в два цвета за  $\mathcal{O}(m^2)$ .

Если не красится, исходный граф не планарен.

5. Все компоненты укладываем независимо. Если компонента цепляет  $C$  не более чем одной вершиной, укладываем независимо от  $C$ . Иначе пусть цепляет вершинами  $a, b$ , ищем и рисуем любой путь  $P: a \rightarrow b$  (топологически это можно сделать единственным образом). Оставшиеся рёбра компоненты делятся на подкомпоненты относительно  $P$ .  $C \cup P$  образуют два цикла  $C_1$  и  $C_2$ , каждая подкомпонента лежит в одном из них. Переходим к (3), не забываем, что про подкомпоненты, цепляющие  $C \setminus P$  заранее известно в  $C_1$  или  $C_2$  они должны лежать.

**Время работы:**  $T(E) = \mathcal{O}(E) + \mathcal{O}(mE) + T(e_1) + \dots + T(e_m) = \mathcal{O}(E^2) = \mathcal{O}(V^2)$ ,  $e_1 + \dots + e_m \leq E$ .

## 11.3. Алгоритмы отрисовки графа прямыми отрезками

Пусть у нас уже есть укладка графа.

Можно триангулировать граф: в грань из  $k$  вершин добавляем или  $k - 3$  диагонали, или вершину-центр и  $k$  рёбер в центр.

**Lm 11.3.1.** Если все грани связного планарного графа – треугольники, граф трёхсвязен.

*Доказательство.* Пусть есть разрез  $\{a, b\}$ , удалим  $a$  и  $b$ , получим две компоненты связности  $G_1, G_2$ . Уложим графы  $G_1 + a + b + (a, b)$  и  $G_2 + a + b + (a, b)$  так, чтобы ребро  $(a, b)$  лежало на внешней грани. Соединим укладки. Получим внешнюю грань из  $\geq 4$  вершин. Противоречие. ■

**Теорема 11.3.2. Tutte'1963.** Spring Theorem. Для  $\forall$  трёхсвязного планарного графа.

Зафиксируем любую грань внешней, уложим её в виде выпуклого многоугольника.

Тогда остальная часть графа однозначно укладывается на плоскость таким образом, что каждая грань – выпуклый многоугольник, а любая внутренняя вершина – центр масс соседей.

**Алгоритм 11.3.3.** Алгоритм отрисовки графа прямыми отрезками

0. Вход: список рёбер. Выход: координаты вершин.
1. Укладываем граф Демукроном, получаем грани.
2. Триангулируем граф: в каждую грань добавляем центр и рёбра в центр.
3. Выбираем  $\forall$  грань- $\Delta$ , называем внешней, укладываем как  $\Delta (-1, -1), (1, -1), (0, 2)$ .
4. Записываем систему уравнений из 11.3.2.
5. Устанавливаем координаты всех остальных вершин  $(0, 0)$ , решаем систему методом итераций.
6. Удаляем лишние рёбра, добавленные в (2).

*Замечание 11.3.4.* Если изначально граф уже трёхсвязен, можно пропустить (1), (2), (6). Внешней гранью тогда можно выбрать, например, кратчайший цикл.

**11.4. Планарный сепаратор**

[lipton'1977]. Почти сразу после успешной проверки на планарность и укладки графа Тарьян и Липтон показали, что в  $\forall$  планарном графе за  $\mathcal{O}(n)$  можно найти сепаратор размера  $f(n) = 2\sqrt{2}\sqrt{n}$ .

**Def 11.4.1.**  $S$  – сепаратор графа  $G = \langle V, E \rangle$ , если  $V = A \sqcup B \sqcup S$ :  $\max(|A|, |B|) \leq \frac{2}{3}n$ ,  $n = |V|$ , между  $A$  и  $B$  нет рёбер.

**Lm 11.4.2.** Если при удалении  $S$  все компоненты связности имеют размер  $\leq \frac{2}{3}n$ ,  $S$  – сепаратор.  
*Доказательство.* Жадно набираем множества  $A$  и  $B$ . Просматриваем компоненты от большей к меньшей, кидаем очередную компоненту в меньшее из  $A, B$ . ■

**Lm 11.4.3.** В планарном графе есть остов высоты  $h \Rightarrow$  есть  $A$ :  $|A| \leq 2h$ ,  $A \cup \{root\}$  – сепаратор.  
*Доказательство.* Триангулируем граф.

Каждое ребро  $e$  не из остова образует цикл, который делит множество вершин на  $A$  «внутри»,  $B$  «снаружи». Выберем  $e(u, v)$ :  $\max(|A|, |B|) \rightarrow \min = m$ . Пусть  $m > \frac{2}{3}n$ . Пусть большая часть внутри цикла. Ребро  $e$  смежно двум граням-треугольникам. Возьмём тот, что внутри цикла, пусть его третья вершина  $x$ . Рассмотрим случаи – какие из рёбер  $(u, x)$ ,  $(v, x)$  лежат на цикле. В самом интересном «оба не лежат» покажем, что у одного из рёбер  $(u, x)$ ,  $(v, x)$  величина  $\max(|A|, |B|)$  меньше. Противоречие. ■

**Теорема 11.4.4. Тарьян-Липтон.** В  $\forall$  планарном графе  $G \exists$  сепаратор  $S$ :  $|S| \leq 2\sqrt{2}\sqrt{n}$ .

*Доказательство.* Запустим bfs из любой вершины  $v$ , получим слои по расстоянию до  $v$  –  $L_0, L_1, \dots, L_d$ . Найдём  $i$ :  $|L_0 \cup \dots \cup L_{i-1}| \leq \frac{n}{2}$ ,  $|L_0 \cup \dots \cup L_i| > \frac{n}{2}$ .

Если бы  $|L_i| \leq f(n)$ , счастье уже наступило бы. Но нет  $\Rightarrow$

Ищем  $j_0 < i$ :  $|L_{j_0}| + 2(i - j_0 - 1) \leq 2\sqrt{k}$ , где  $k = |L_0| + \dots + |L_{i-1}|$ .

Пусть  $\nexists j_0 \Rightarrow |L_{i-1}| > \sqrt{k}$ ,  $|L_{i-2}| > \sqrt{k} - 2, \dots \Rightarrow |L_0| + \dots + |L_{i-1}| > k$ . Противоречие.

Аналогично ищем  $j_1 \geq i$ :  $|L_{j_1}| + 2(j_1 - i) \leq 2\sqrt{n-k}$ .

Пусть  $\nexists j_1 \Rightarrow |L_i| > \sqrt{n-k}$ ,  $|L_{i+1}| > \sqrt{n-k} - 2, \dots \Rightarrow |L_i| + \dots + |L_n| > n-k$ . Противоречие.

Максимум величины  $|L_{j_0}| + |L_{j_1}| + 2(j_1 - j_0 + 1)$  достигается при  $k = \frac{n}{2}$  и равен  $2\sqrt{2}\sqrt{n}$ .

Обозначим  $L_a \cup L_{a+1} \cup \dots \cup L_b$ , как  $L[a, b]$ .

Множество  $S_1 = L_{j_0} \sqcup L_{j_1}$  делит граф на 3 части:  $A = L[0, j_0 - 1]$ ,  $B = L[j_0 + 1, j_1 - 1]$ ,  $C = L[j_1 + 1, n]$ .  $|A|, |C| \leq \frac{n}{2} \Rightarrow$  если  $|B| \leq \frac{2n}{3}$ , вернём сепаратор  $S_1$ .

Иначе рассмотрим граф  $G' = L[j_0, j_1 - 1] / L_{j_0}$  (стянули  $L_{j_0}$  в одну вершину).

В  $G'$  остовное дерево bfs имеет высоту  $j_1 - j_0 \xrightarrow{11.4.3} \exists$  сепаратор  $X \cup \{root\} = X \cup L_{j_0}$ :  $|X| \leq 2(j_1 - j_0)$ .

Итого  $|(L_{j_0} \sqcup L_{j_1}) \cup X| \leq 2\sqrt{2}\sqrt{n}$  и является планарным сепаратором. ■



*Замечание 11.4.5.* В доказательстве теоремы планарность мы пользуемся только в лемме 11.4.3.

*Замечание 11.4.6.* [holzer'2009]. В журнале по экспериментальным алгоритмам говорят, что если оставить только последнюю часть алгоритм «*взять циклы, образованные не древесными рёбрами триангуляции*», то лучший из рассмотренных циклов на большинстве графов даст оценки лучше чем в теореме.

### 11.4.1. Решение NP-трудных задач на планарных графах

**Lm 11.4.7.** В  $\forall$  планарном графе есть множество вершин  $S$  размера  $\Theta(\sqrt{n})$ :

$V = A \sqcup B \sqcup S$ ,  $\max(|A|, |B|) \leq \frac{n}{2}$ , между  $A$  и  $B$  нет рёбер.

*Доказательство.* У нас есть две корзины  $A, B = \emptyset$  и множество  $X = V$ . В каждый момент времени  $\max(|A|, |B|) \leq \frac{n}{2}$ . Пока  $\min(|A|, |B|) + |X| > \frac{n}{2}$  делим  $X$  его сепаратором на  $Y$  и  $Z$ , к меньшему из  $A$  и  $B$  добавляем меньшее из  $Y$  и  $Z$ , большее из  $Y$  и  $Z$  кладём в  $X$ .

Оценим суммарный размер сепараторов:  $2\sqrt{2}(\sqrt{n} + \sqrt{\frac{2}{3}n} + \sqrt{\frac{4}{9}n} + \dots) = \frac{2\sqrt{2}}{1-\sqrt{2/3}}\sqrt{n}$ . ■

#### • Поиск $\max$ IS в планарном графе за $2^{\Theta(n)}$ .

Разделяй и властвуй. Выделим по лемме  $(\frac{n}{2}, \frac{n}{2})$ -сепаратор  $S$ .

Переберём  $2^{|S|}$  вариантов, какие вершины сепаратора лежат в независимом множестве.

Для каждого из  $2^{|S|}$  вариантов сделаем два рекурсивных вызова от половин.

Итого  $T(n) \leq 2 \cdot 2^{C\sqrt{n}} \cdot T(n/2) \leq 2 \cdot 2^{C\sqrt{n}} \cdot 2 \cdot 2^{C\sqrt{n/2}} \cdot 2 \cdot 2^{C\sqrt{n/4}} \dots = 2^{\Theta(\sqrt{n})}$ .

#### • Раскраска в $k$ цветов планарного графа за $2^{\Theta(\sqrt{n} \log k)}$ .

Аналогично: переберём все  $k^{|S|}$  раскрасок вершин сепаратора.

Итого:  $T(n) \leq 2 \cdot k^{C\sqrt{n}} \cdot T(n/2) = 2^{\Theta(\log k \sqrt{n})} T(n/2) = 2^{\Theta(\log k \sqrt{n})}$ .

*Замечание 11.4.8.* Научившись искать сепаратор меньше, мы ускорим решение многих NP-трудных задач. К сожалению, для планарных графов оценка  $\Theta(\sqrt{n})$  достигается: грид  $\sqrt{n} \times \sqrt{n}$ .

## 11.5. Системы уравнений

Вспомним 11.3.3 СЛАУ для укладки графа прямыми отрезками. В ней у нас есть две независимых СЛАУ – по  $x$ , по  $y$ . Каждая из них «СЛАУ на графе», переменные – значения вершин графа, ненулевые элементы матрицы – рёбра графа. Ниже в разделе «правило Кирхгофа» мы приведём ещё один пример «СЛАУ на графе». В обеих задачах граф планарный.

В этом разделе мы обсудим, как СЛАУ можно решать быстрее, чем Гауссом за  $\mathcal{O}(n^3)$ .

Во-первых, для  $\mathbb{F}_p$  есть алгоритм Видемана за  $\mathcal{O}(nA)$ , где  $A$  – число ненулевых элементов в матрице. Для «СЛАУ на планарных графах» это автоматически даёт  $\mathcal{O}(n^2)$  т.к. рёбер  $\mathcal{O}(n)$ .

Во-вторых, есть метод итераций. Опять вспомним 11.3.3, наши уравнения имеют вид  $x_i = \frac{1}{k} \sum x_j$  (среднее арифметическое соседей). Метод итераций заключается в том, чтобы начать с любого приближения решения (например, все вершины в центре внешней грани). Далее одна итерация: пересчитать  $x_i$  по данным формулам (получить следующее приближение). Одна итерация работает за  $E = \mathcal{O}(n)$ . Сколько делать итераций? Заранее неизвестно. В целом метод может сходиться экспоненциально медленно, но для планарных графов эмпирически хорош.

Иногда как в разделе ниже « $k$ -диагональная матрица» Гаусс автоматически работает сильно быстрее, если применять его как обычно «слева направо, сверху вниз».

А далее в разделе «nested dissection» мы покажем, как для планарного графа получить время  $\mathcal{O}(n^{3/2})$  и память  $\mathcal{O}(n \log n)$ , используя наличие сепаратора размера  $\Theta(\sqrt{n})$ .

### 11.5.1. $k$ -диагональная матрица

$k$ -диагональная – матрица, состоящая из главной диагонали и нескольких соседних, всего  $k$ .

#### TODO

Если запустить обычного Гаусса, учитывающего, что строки – отрезки длины не более  $2k$ , автоматически получится решение за  $\mathcal{O}(k^2n)$ . В частности метод для трёхдиагональной матрицы делает то же и работает за  $\mathcal{O}(n)$ .

Аналогично для верхнетреугольной матрицы +  $k$  диагоналей Гаусс будет работать за  $\mathcal{O}(kn^2)$ .

Если матрица состоит из побочных, а не главных диагоналей, нужно развернуть порядок строк, чтобы свести задачу к уже решённой.

### 11.5.2. Правило Кирхгофа

Рассмотрим задачу нахождения сопротивления между вершинами  $a$  и  $b$  в неорграфе, где у каждого ребра  $e$  есть сопротивление  $R_e$ .

Для всех вершин  $v$  обозначим потенциал вершины  $u[v]$ . Пусть  $u[a] = 0$ ,  $u[b] = 1$ . Сила тока  $I_{e: a \rightarrow b} = \frac{u[b] - u[a]}{R_e}$ . Правило Кирхгофа гласит «в каждую вершину втекает тока ровно столько, сколько вытекает», т.е.  $\forall v \neq a, b \quad \sum_{e: v \rightarrow x} I_e = \sum_{e: v \rightarrow x} \frac{u[v] - u[x]}{R_e} = 0 \Leftrightarrow (\sum_e \frac{1}{R_e})u[v] = \sum_e \frac{1}{R_e}u[x]$ .

Получили систему линейных уравнений над  $u[v]$ . Её можно решить Гауссом за  $\mathcal{O}(V^3)$ .

Если схема задаётся планарным графом, то есть сепаратор размера  $\mathcal{O}(V^{1/2}) \Rightarrow$  систему можно решить за  $\mathcal{O}(V^{3/2})$  используя **nested dissection**. Подробно в [tarjan'1986].

### 11.5.3. Nested dissection

Наша система – симметричная матрица, она же матрица смежности взвешенного графа. Попробуем элиминировать переменную-вершину  $x_i$ , с точки зрения матрицы мы повычитаем  $i$ -й столбец и строку так, чтобы  $\forall j \neq i \quad x_{ij} = x_{ji} = 0, x_{ii} = 1$ . С точки зрения графа, мы удалим вершину  $x_i$  и попарно соединим рёбрами всех соседей  $x_i$ . Важно выбрать порядок элиминации переменных, чтобы  $Space, Time \rightarrow \min$ .

*Алгоритм:* выделим сепаратор, вершины сепаратора поставим в конец порядка элиминации, от компонент сделаем рекурсивные вызовы. *Утверждение:*  $\sum$  время всех элиминаций  $\mathcal{O}(n^{3/2})$ , суммарное число ненулевых ячеек в матрице за всё время, т.е. требуемая память,  $\mathcal{O}(n \log n)$ .



## 11.6. Выделение граней плоского графа

### • Задача

Даны координаты вершин плоского графа, уложенного прямыми отрезками.

Выделить грани графа.

### • Решение за $\mathcal{O}(\text{sort} + V)$

Для каждого ребра  $e(a, b)$  создадим две ориентированные копии  $e_1: a \rightarrow b$ ,  $e_2: b \rightarrow a$ .

Проставим  $\text{rev}[e_1] = e_2, \text{rev}[e_2] = e_1$ . Добавим рёбра в списки смежности  $g[a].\text{add}(e_1), g[b].\text{add}(e_2)$ .

Для каждой вершины  $v$  отсортируем  $g[v]$  по углу. Сохраним позиции рёбер в списках смежности:

```

1 for v=1..V:
2     for i=0..g[v].size-1:
3         index[g[v][i]] = i
4 def next(e): # e: a -> b
5     return g[a[e]][(index[e] + 1) % g[a[e]].size]
```

Тогда для каждого ориентированного ребра  $e$  следующим в грани будет  $f_e = \text{next}(\text{rev}[e])$ .

Граф  $e \rightarrow f_e$  – ровно набор ориентированных циклов, осталось их выделить.

*Замечание 11.6.1.* Все грани кроме внешней будут ориентированы по часовой стрелке.

## 11.7. Поток в планарном графе

Величину  $\max$  потока и  $\min$  разреза между вершинами  $s$  и  $t$  одной грани легко найти. Берём такую укладку, что  $s$  и  $t$  на внешней грани, строим граф, где грани – вершины, ищем Дейкстрой путь-разрез между  $s$  и  $t$ . Время  $\mathcal{O}(n + \text{Dijkstra}(n)) = \mathcal{O}(n \log n)$ .

## 11.8. Литература

[Luca Vismara | graphbook]. Подробно про отрисовку графов.

[thomassen'2004]. Доказательство пружинной теоремы Татта, её физическое понимание.

[tarjan'1986]. Гаусс для планарных графов за  $n^{3/2}$  и не только.

[tarjan'1977]. Существование и построение за  $\mathcal{O}(n)$  планарного сепаратора.

[skopenkov]. Доказательство теоремы Куратовского.

[boyer'1999]. Короткий (2.5 страниц в 2 столбца) алгоритм проверки на планарность за  $\mathcal{O}(n)$ .

[Gauss'93]. Обобщение жадностей в Gauss Elimination для произвольных графов.